# 3.2 Biegung

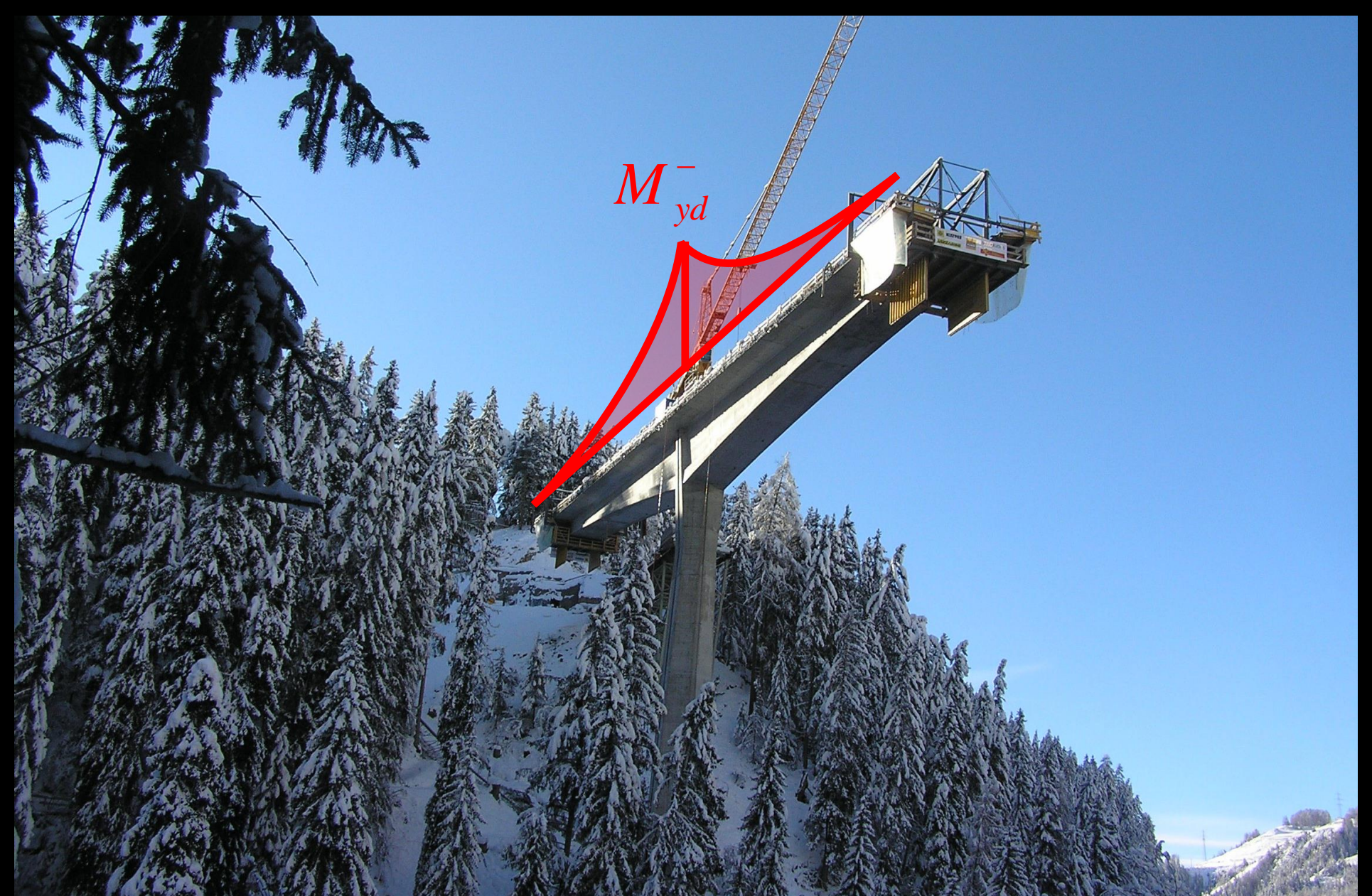
# Einfeldträger (positive Biegung / «sagging»)



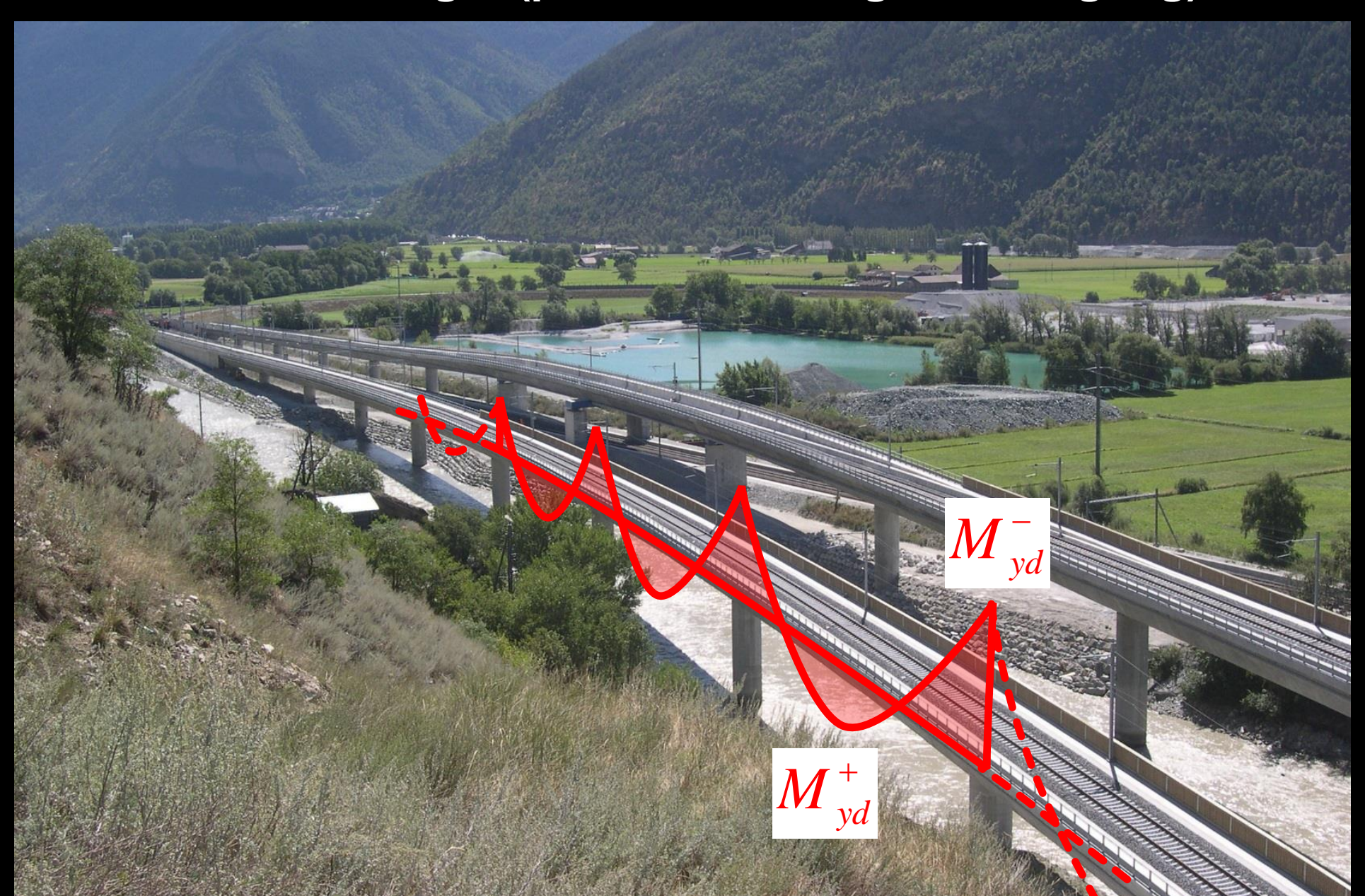
# Einfeldträger (positive Biegung / «sagging»)



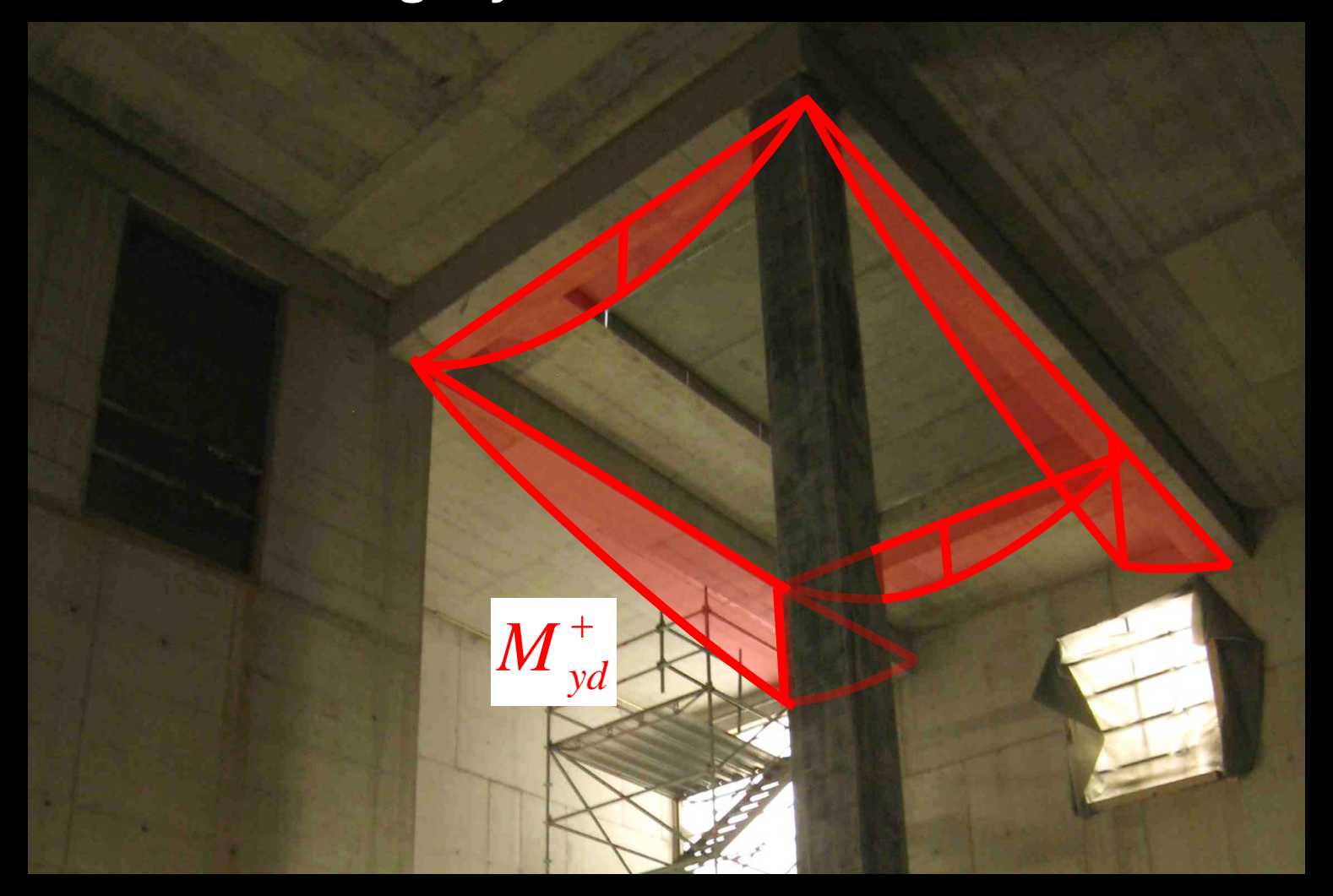
# Kragarm (negative Biegung / «hogging»)



# Durchlaufträger (positive und negative Biegung)

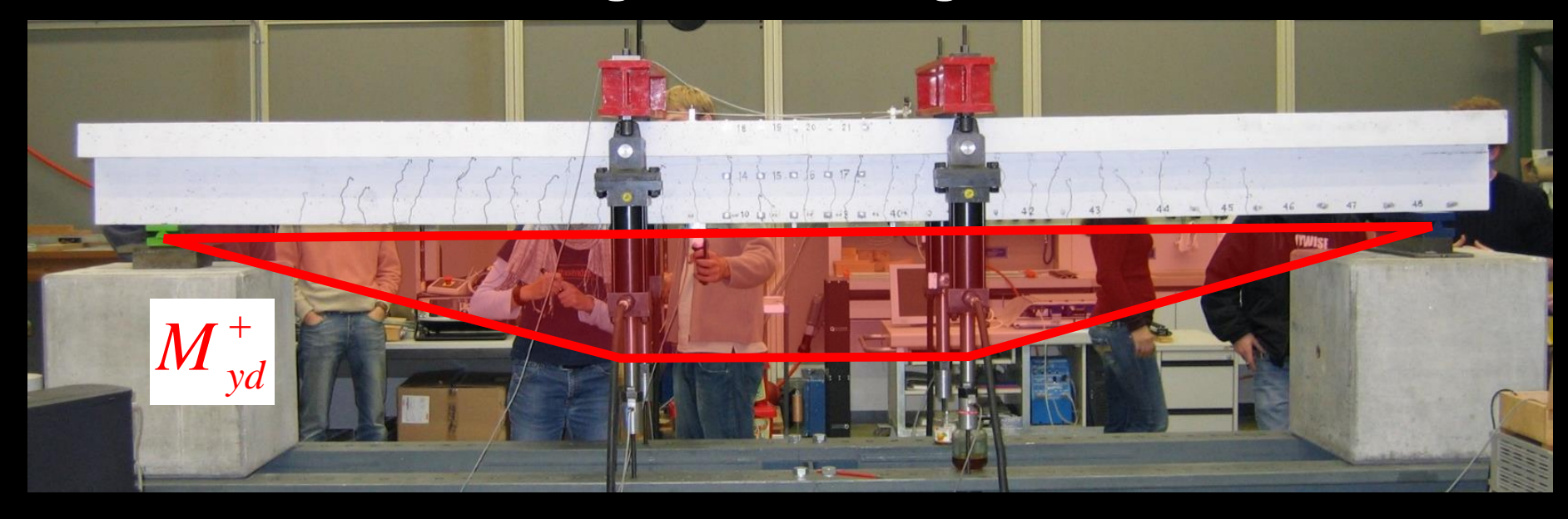


# Unterzugssystem bei Hochbaudecke

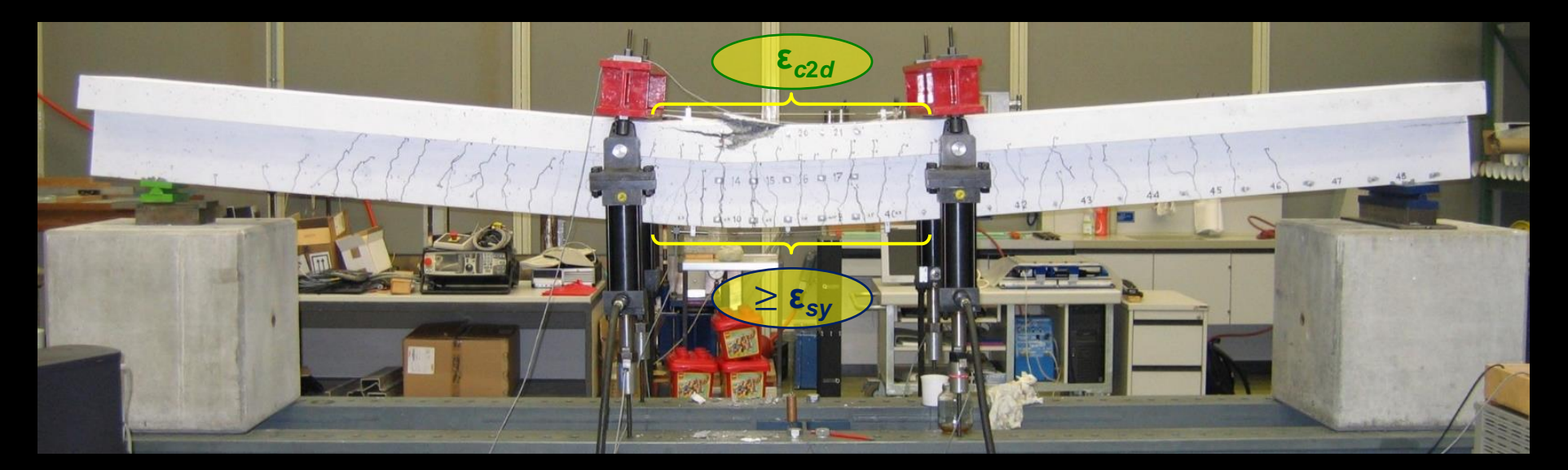


→ System von Einfeldträgern, mittiger Querträger auf zwei Längsträgern gelagert (vereinfacht als einfache Balken modelliert)

# **Zug- und Druckgurt**



Angestrebte Bruchart (duktil): Betonbruch während Stahlfliessen:



# Biegebeanspruchung – Allgemeines

[1], Seite 2.1

Reine oder vorherrschende Biegung: kommt in der Praxis sehr häufig vor

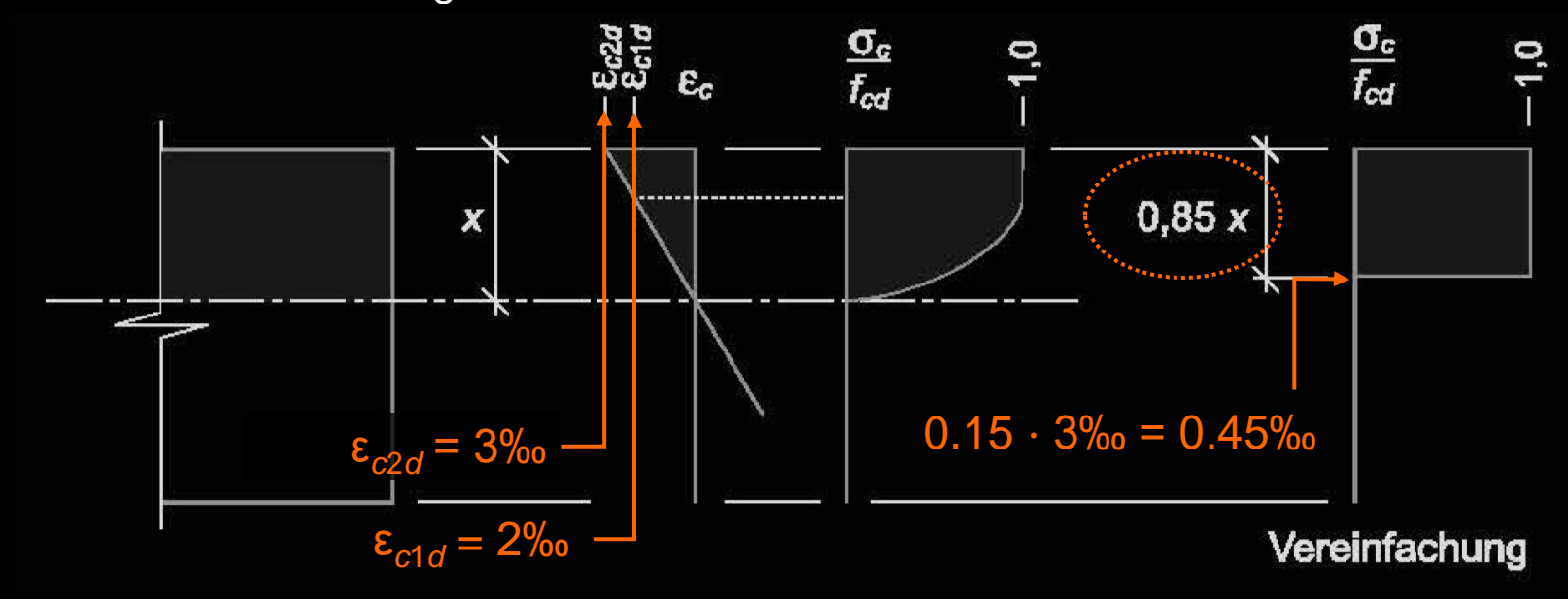
Annahmen bei Querschnittsanalyse für Tragsicherheitsnachweis (SIA 262, 4.3.2.3):

- Querschnitte bleiben eben und senkrecht zur Stabachse («Bernoulli», «Ebenbleiben des Querschnitts»).
- Bewehrung überträgt nur Zug- und Druckkräfte in ihrer Richtung.
- Zugfestigkeit des Betons wird beim Bruchwiderstand vernachlässigt.
   (Zugversteifung im Gebrauchszustand analog Normalkraft)
- σ-ε-Diagramme werden gemäss SIA 262, Fig. 12 und Tab. 8 (Beton) sowie Fig. 16 und Tab. 9 (Betonstahl) angenommen.

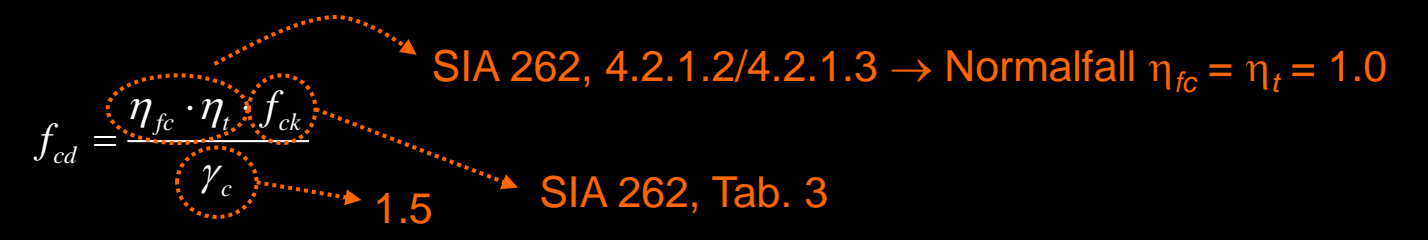
# Biegebeanspruchung – Allgemeines

#### Beton, σ-ε-Diagramm und Bemessungswert der Druckfestigkeit

SIA 262, Fig. 12 → siehe auch Vorlesung Materialverhalten!



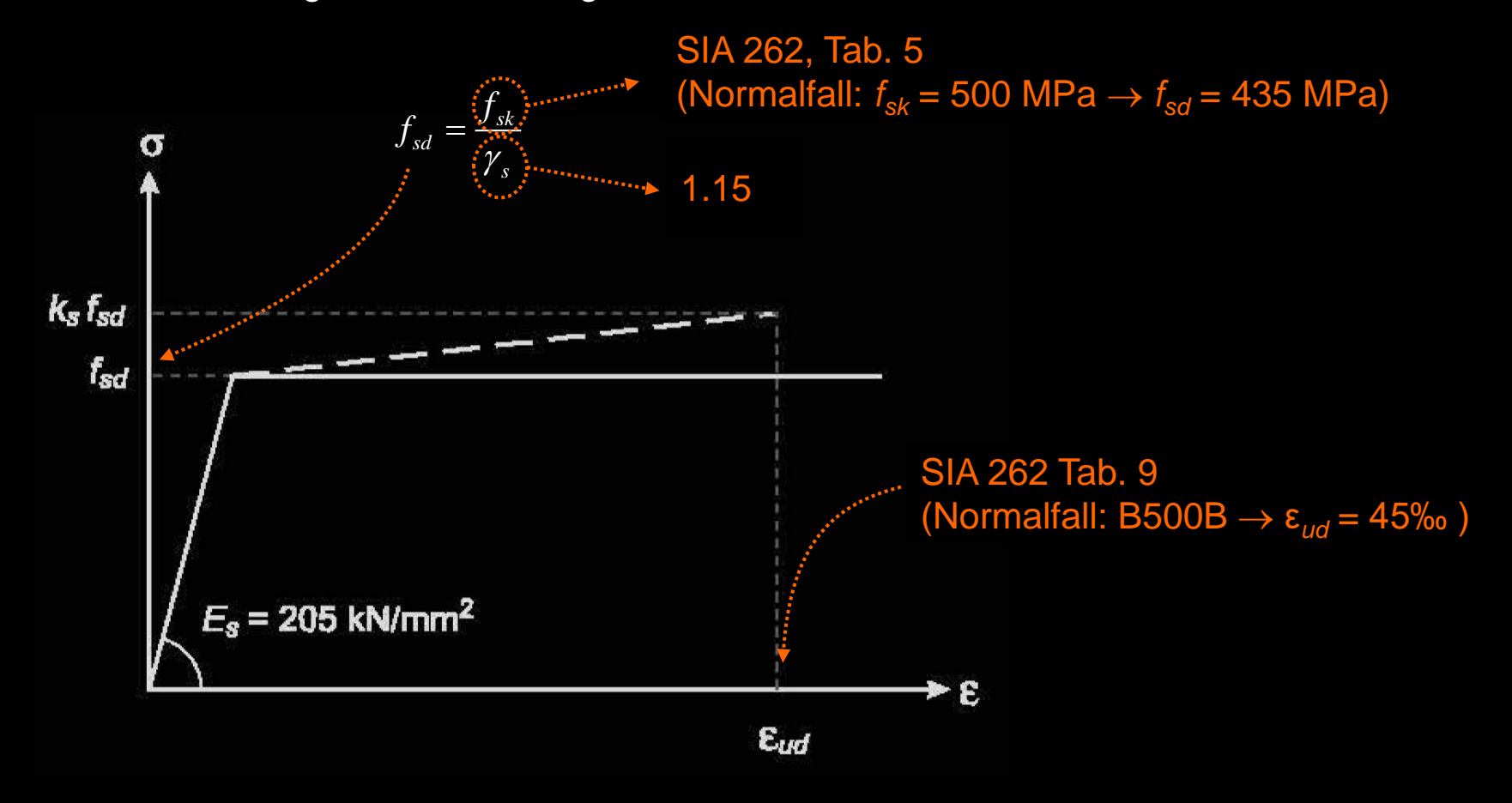
• SIA 262, 2.3.2.3 → Bemessungswert der Betondruckfestigkeit



# Biegebeanspruchung – Allgemeines

#### Betonstahl, σ-ε-Diagramm und Bemessungswert der Fliessgrenze

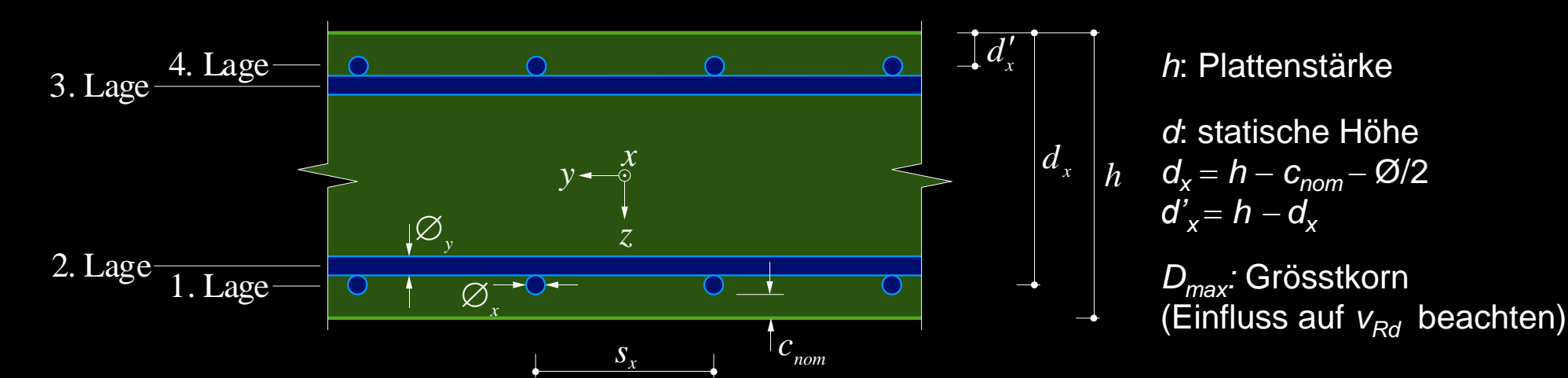
- SIA 262, Fig. 16 → siehe auch Vorlesung Materialverhalten!
- SIA 262, 2.3.2.5 → Bemessungswert der Fliessgrenze von Betonstahl



# Rechteckquerschnitte - Konstruktive Durchbildung

[1], Seite 2.2ff, SIA 262, Ziff. 5; Platten Ziff. 5.5.3 (z.B. Decken...)

- Platten üblicherweise orthogonal bewehrt in 4 Lagen, Haupttragrichtung = 1./4. Lage
   (→ maximaler Hebelarm; nicht immer eindeutig). Dicke Platten (h > 400 mm) verbügeln.
- Stablänge < 1'000 Ø (Handling); bei Grossprojekten u.U. Abklärung Lagerlängen grosser Ø
- Stösse in Zonen geringer Beanspruchung, Stosslänge ca. 50Ø (SIA 262, 5.2.5/5.2.6)

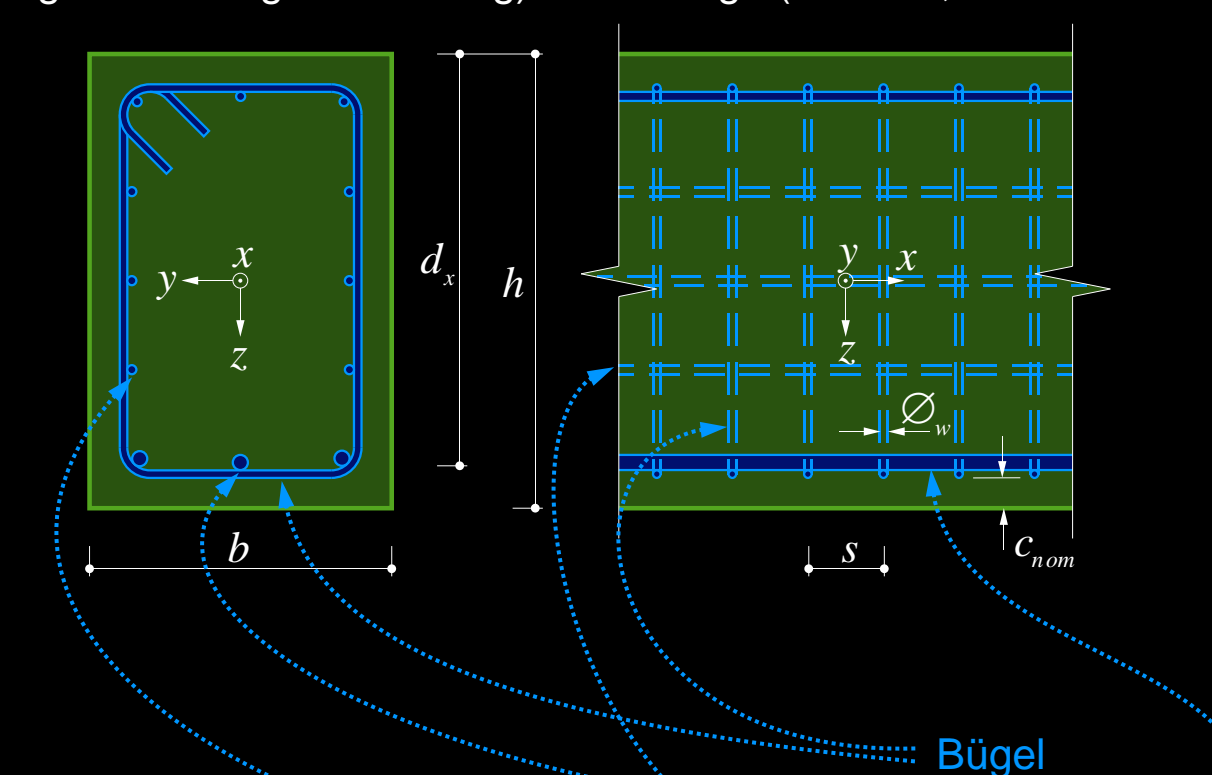


- Ø Stabdurchmesser (Querschnittstabelle): (6,8), 10, 12, ..., 20, 22, 26, 30, (34, 40) mm
- s Stababstand (siehe SIA 262, 5.2.3/5.5.3): üblich (75), 100, 125, 150, 200, 250, (300) mm
- c<sub>nom</sub> Bewehrungsüberdeckung (SIA 262, 5.2.2): ca. 20....60 mm (je nach Expositionsklasse)

# Rechteckquerschnitte - Konstruktive Durchbildung

[1], Seite 2.2ff, SIA 262, Ziff. 5; Balken Ziff. 5.5.3 (z.B. Unterzüge...)

- Balken sind zu verbügeln. Bügel (Abstand s < 25Ø) müssen Längszugbewehrung umfassen.
- Stösse (Bügel und Längsbewehrung): Stosslänge (ca. 50Ø, siehe SIA 262, 5.2.5).



Bügelbewehrungsgehalt  $\rho_w$  min. 0.2%,  $\rightarrow$  zweischnittige Bügel:

$$\rho_{w} = \frac{\pi \cdot \emptyset_{w}^{2}}{2 \cdot b \cdot s} \ge 0.2\%$$

NB: nach SIA 262 (2013) sind Bügelbewehrungsgehalte von ca. 0.1% ausreichend:

$$\rho_{w} \ge 0.1\% \sqrt{\frac{f_{ck}}{30}} \frac{500}{f_{sk}}$$

→ bei Neubauten in der Regel nicht sinnvoll (Robustheit)

 $d_x$ : statische Höhe

 $d_x = h - c_{nom} - \emptyset_w - \emptyset/2$ 

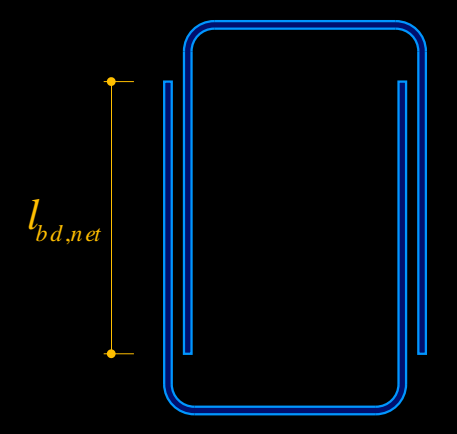
Haupt(biege)bewehrung (Tragsicherheit)

Konstruktive Längsbewehrung

### **Rechteckquerschnitte - Konstruktive Durchbildung**

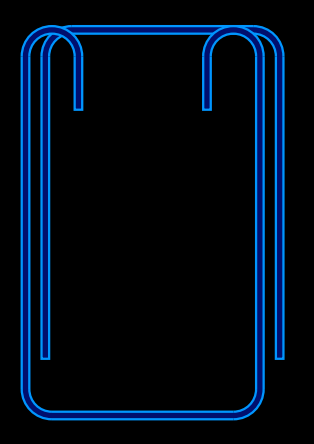
Alternative Bügelformen ([1], Seite 2.4)

(«zweischnittige» Bügel: zwei Bügeläste im Querschnitt)



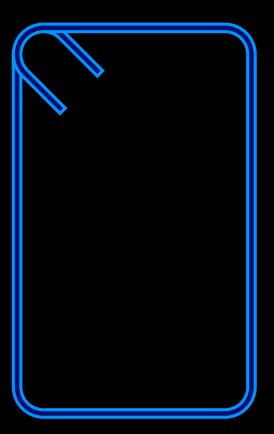
#### Steckbügelpaar

- + einfache Montage Längsbewehrung, keine Bewehrung im Weg, beide Bügel gleiche Position
- Stosslänge nur mit kleinen Ø gewährleistet (viele Bügel)
- Arbeitssicherheit (wenn unterer Bügel alleine steht)



#### **U-Bügel mit Endhaken**

- + Arbeitssicherheit (wenn unterer Bügel alleine steht)
- ± gleich wie Steckbügelpaar, aber evtl. Platzprobleme (Haken) bei Stössen / grossen Bewehrungsgehalten

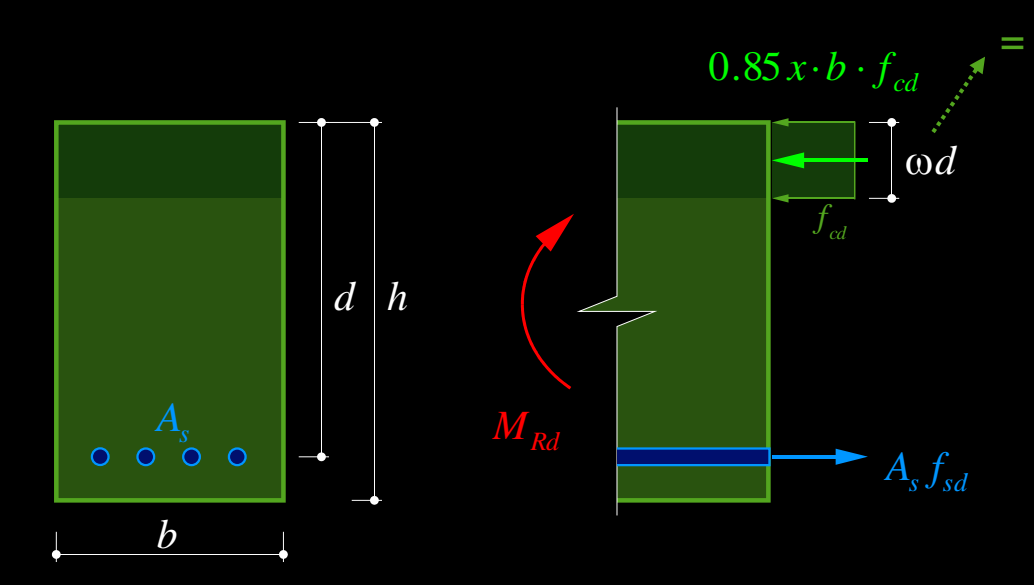


#### Geschlossene Bügel, mit 135° Endhaken

- + optimale statische Wirkung (Verankerung)
- Längsbewehrung muss eingefädelt werden, bei langen Balken und dicker Bewehrung fast unmöglich
- → beschränkt praxistauglich

# **Biegewiderstand – Rechteckquerschnitte**

#### [1], Seite 2.4, Keine Bewehrung auf Biegedruckseite (Normalfall für den Tragsicherheitsnachweis in der Praxis)



#### **Iterative Ermittlung der Bewehrung:**

1. Annahme z. B.  $z_i \approx 0.9d \rightarrow A_{s,erf} \ge \frac{M_d}{0.9 \cdot d \cdot f}$ 

2. Bewehrung  $A_{s.eff} > A_{s.eff}$  wählen (Anzahl, Ø)

3. Kontrolle  $z_{eff} = d - \frac{A_{s,eff} f_{sd}}{2 \cdot b \cdot f_{sd}}, M_{Rd} = A_{s,eff} f_{sd} \cdot z_{eff}$ 

 $\rightarrow$  Iteration falls  $M_{Rd} < M_{d}$ 

= 0.85·x, siehe SIA 262, Fig. 12

A<sub>s</sub>: Querschnittsfläche Bewehrung

 $M_{Rd}$ : Bemessungswert Biegewiderstand

ω: mechanischer Bewehrungsgehalt

$$=A_{s}\cdot f_{sd}/(d\cdot b\cdot f_{cd})$$

#### Exakte Ermittlung von $M_{Rd}$ resp. $\omega_{erf}$ :

Gleichgewicht der Längskräfte:

$$A_s \cdot f_{sd} = \omega \cdot d \cdot b \cdot f_{cd}$$

Hebelarm der inneren Kräfte:  $z = d \cdot (1 - \omega/2)$ 

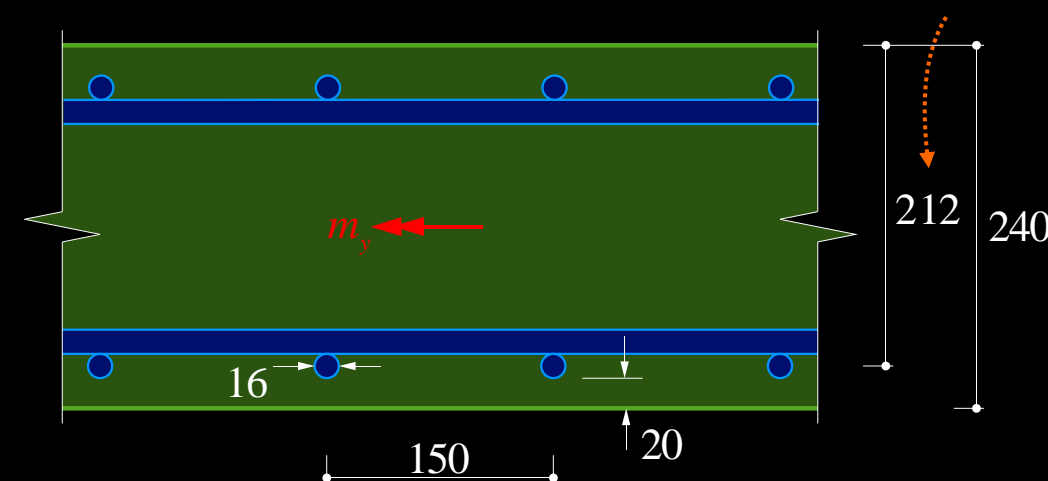
(«Biegenachweis»)

$$M_{Rd} = A_s f_{sd} d \left( 1 - \frac{\omega}{2} \right) = f_{cd} b d^2 \omega \left( 1 - \frac{\omega}{2} \right) \ge M_d$$

Aufgelöst nach 
$$\omega$$
:  $\omega_{erf} = 1 - \sqrt{1 - \frac{2 \cdot M_d}{b \cdot d^2 \cdot f_{cd}}}$ 

# Biegewiderstand – Beispiel Stahlbetonplatte

#### [1], Seite 2.5



d = 240-20-16/2 = 212 mm

- Stahlbetonplatte, h = 240 mm
- Beton C25/30  $\rightarrow f_{cd} = 16.5 \text{ MPa}$
- Betonstahl B500B  $\rightarrow f_{sd} = 435 \text{ MPa}$
- $-c_{nom} = 20 \text{ mm}$

Genaue Berechnung des Biegewiderstandes:

$$a_s = \frac{\emptyset^2 \cdot \pi}{4 \cdot s} = \frac{16^2 \cdot \pi}{4 \cdot 0.15} = 1'340 \,\text{mm}^2/\text{m}$$
  $\rho = \frac{a_s}{d} = \frac{1'340}{212 \cdot 1'000} = 0.63\%$ 

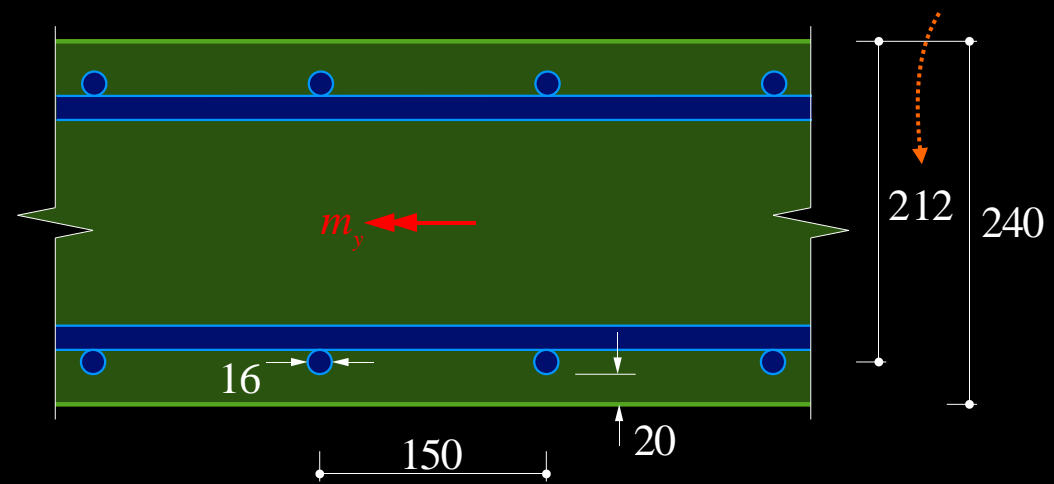
$$\rho = \frac{a_s}{d} = \frac{1'340}{212 \cdot 1'000} = 0.63\%$$

$$\omega = \frac{a_s \cdot f_{sd}}{d \cdot 1'000 \,\text{mm/m} \cdot f_{cd}} = \frac{1'340 \cdot 0.435}{212 \cdot 1'000 \cdot 0.0165} = \frac{583 \,\text{kN/m}}{3'498 \,\text{kN/m}} = 0.167$$

$$m_{Rd} = f_{cd} \cdot d^2 \cdot \omega \cdot (1 - \omega / 2) = 0.0165 \cdot 212^2 \cdot 0.167 \cdot (1 - 0.084) = 113.3 \text{ kNm/m}$$

# Biegewiderstand – Beispiel Stahlbetonplatte

#### [1], Seite 2.5



d = 240-20-16/2 = 212 mm

- Stahlbetonplatte, h = 240 mm
- Beton C25/30  $\rightarrow f_{cd} = 16.5 \text{ MPa}$
- Betonstahl B500B  $\rightarrow f_{sd} = 435 \text{ MPa}$
- $c_{nom}$  = 20 mm

Annahme Hebelarm der inneren Kräfte  $z \approx 0.9 \cdot d$  resp.  $1-\omega/2 \approx 0.9$  (in der Regel konservativ)

Vereinfachte Berechnung des Biegewiderstandes:

$$m_{Rd} \approx a_s \cdot f_{sd} \cdot 0.9 \cdot d = 1'340 \cdot 0.435 \cdot 0.9 \cdot 0.212 = 111.2 \text{ kNm/m}$$

111.2 / 113.3 = 0.982 → Fehler < 2% (sichere Seite)

Kontrolle der Annahme 
$$z = 0.9d$$

$$\begin{cases} 0.85 \cdot x = \frac{a_s \cdot f_{sd}}{f_{cd}} = \frac{1'340 \cdot 0.435}{16.5} = \frac{583 \text{ kN/m}}{16.5 \text{ MPa}} = 35.3 \text{ mm} \\ \rightarrow z = 212 - 35.3 / 2 = 194.4 \text{ mm} > 0.9 \cdot 212 = 190.8 \text{ mm} \rightarrow \text{i.O.} \end{cases}$$

# Zulässige Nutzlast – Beispiel Stahlbetonplatte

#### Siehe [1], Seite 2.6

- Einfeldrige Stahlbetonplatte, *h* = 300 mm, *l* = 7.5 m
- Beton C25/30  $\to f_{cd} = 16.5 \text{ MPa}$
- Betonstahl B500B, Ø18/150  $\rightarrow$   $f_{sd}$  = 435 MPa
- $c_{nom} = 30$  mm,  $d = h c_{nom} \emptyset/2 = 261$  mm
- Gesucht: Zulässige Nutzlast  $q_{adm}$

#### Lösung:

$$a_s = \frac{\emptyset^2 \cdot \pi}{4 \cdot s} = \frac{18^2 \cdot \pi}{4 \cdot 0.15} = \frac{1'696 \,\text{mm}^2/\text{m}}{4 \cdot 0.15}$$

$$a_s f_{sd} = 0.435 \cdot 1'696 = 737.8 \,\text{kN/m}$$

$$m_{Rd} \approx a_s \cdot f_{sd} \cdot 0.9 \cdot d = 173.3 \,\mathrm{kNm/m}$$

$$x = \frac{a_s f_{sd}}{0.85 f_{cd}} = \frac{737.8}{0.85 \cdot 16.5} = 53 \text{ mm}, \ \omega = \frac{f_{sd} \cdot a_s}{f_{cd} \cdot d} = 0.171$$

$$m_{Rd} = d^2 f_c \cdot \omega \cdot (1 - \omega / 2) = 176.1 \text{kNm/m}$$

NB: 
$$x/d = 53/261 = 0.2 < 0.35 \rightarrow Duktilität i.O.$$

$$g_d = 1.35 \cdot 0.3 \cdot 25 = 10.13 \text{ kN/m}^2$$
 $q_d = 1.5 \cdot q_{adm}$ 
 $m_d$ 

$$m_{d,\text{max}} = \frac{(q_d + g_d) \cdot l^2}{8} = \frac{(1.5 \cdot q_{adm} + g_d) \cdot l^2}{8}$$

$$m_{d \text{max}} = m_{Rd} \rightarrow q_{adm} = \left(\frac{8 \cdot m_{Rd}}{l^2} - g_d\right) / 1.5$$

$$\rightarrow q_{adm} = \left(\frac{8.173.3}{7.5^2} - 10.13\right) / 1.5 = 9.7 \text{ kN/m}^2$$

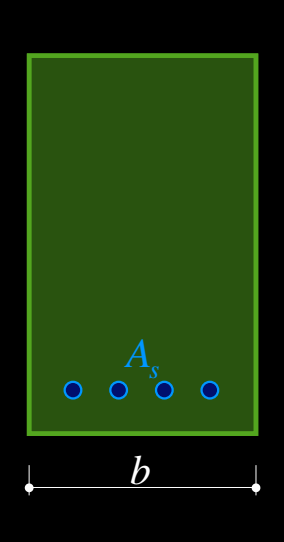
Näherung (konservativ)

$$\rightarrow q_{adm} = \left(\frac{8.176.1}{7.5^2} - 10.13\right) / 1.5 = 9.9 \text{ kN/m}^2$$

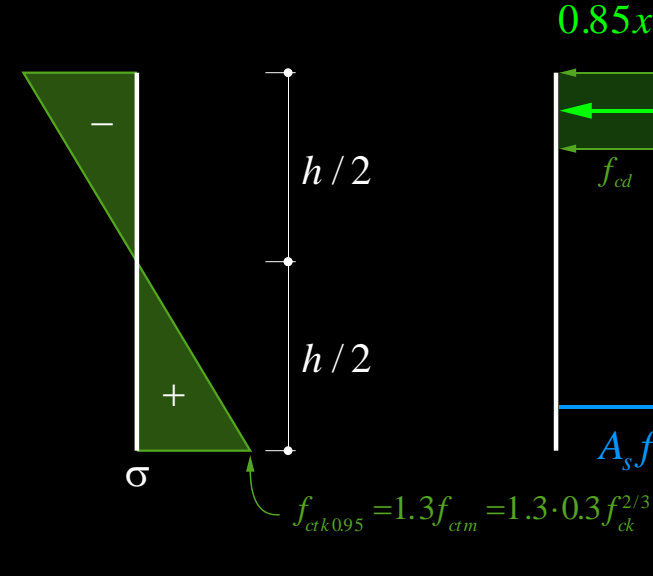
«exakte» Lösung

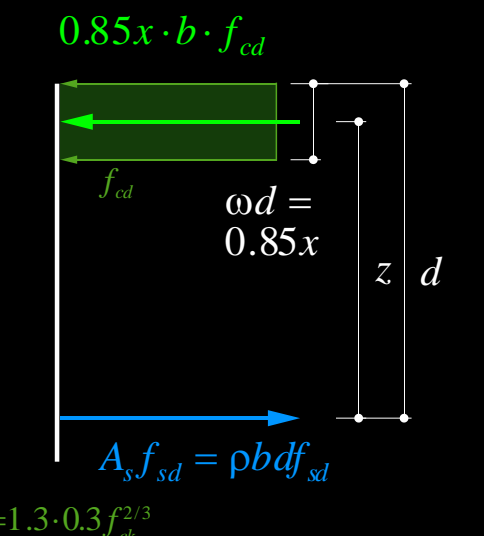
# **Biegung – Mindestbewehrung**

[1], Seite 2.10









#### Mindestbewehrungsgehalt für Biegung allgemein

(Vermeidung eines Sprödbruchs bei Rissbildung):  $M_{Rd} \ge M_r$ 

Analytische Lösung für Rechteckquerschnitte

$$M_r = \frac{bh^2}{6} \cdot 1.3 f_{ctm} \rightarrow \omega_{min} = 1 - \sqrt{1 - \frac{h^2 1.3 f_{ctm}}{3d^2 f_{cd}}}, \, \rho_{min} = \omega_{min} \frac{f_{cd}}{f_{sd}}$$

Näherung für Rechteckquerschnitte mit  $z_{eff} \approx 0.9d \approx 0.8h$ 

$$M_{r} = \frac{bh^{2}}{6} \cdot 1.3 f_{ctm}, \quad M_{Rd} = 0.9 dA_{s} f_{sd} = \frac{bh^{2}}{6} \cdot 1.3 f_{ctm} \quad \rightarrow \quad A_{s} \geq \frac{1.3 \cdot bh^{2} f_{ctm}}{6 \cdot 0.9 df_{sd}}, \quad \rho_{\min} = 0.24 \frac{h^{2} f_{ctm}}{d^{2} f_{sd}} \approx 0.3 \frac{f_{ctm}}{f_{sd}}, \quad \omega_{\min} \approx \frac{0.135}{f_{ck}}$$

Beton	C20/25	C30/37	C50/60
d = 0.8 h	0.057	0.050	0.051
	0.0017	0.0023	0.0039
d = 0.9 h	0.045	0.040	0.040
	0.0014	0.0018	0.0031
Näherung	0.050	0.043	0.037
	0.0015	0.0020	0.0028

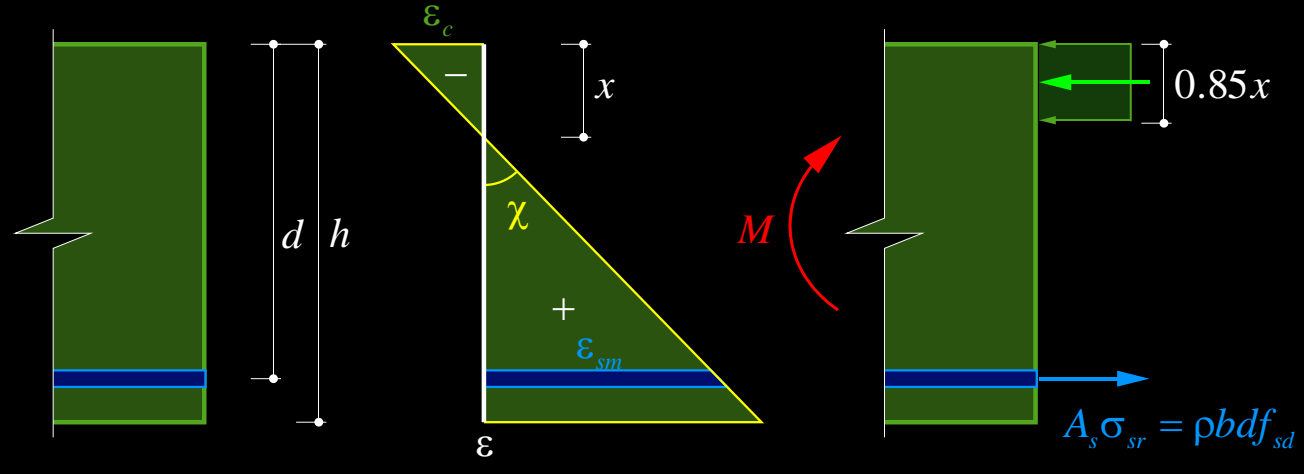
$$\rho_{\min} = 0.24 \frac{h^2 f_{ctm}}{d^2 f_{sd}} \approx 0.3 \frac{f_{ctm}}{f_{sd}}, \quad \omega_{\min} \approx \frac{0.135}{f_{ck}^{1/3}}$$

# **Biegung – Versagensarten**

Geometrie

Dehnungsebene (mittlere Dehnungen)

Spannungen am Rissquerschnitt



Krümmung bei Bruch (Mass für Duktilität):

$$\chi = \frac{\varepsilon_{sm} - \varepsilon_c}{d} = \frac{\varepsilon_{sm}}{d - x} = \frac{|\varepsilon_c|}{x}$$

(wegen Verbund ist  $\varepsilon_{sm} < \sigma_{sr} / E_s$ , Ermittlung von

 $\varepsilon_{sm} \rightarrow \text{Zuggurtmodell})$ 

Grundsätzlich sind folgende Versagensarten möglich:

• Sprödbruch bei Rissbildung: (sehr spröd, keine Vorankündigung)

 $M_{Rd} < M_r$ 

unbedingt vermeiden (→ Mindestbewehrung)

- Bewehrung reisst, bevor Beton bricht: (duktil, Ankündigung durch breite Risse)
- $\begin{aligned} \boldsymbol{\varepsilon}_{sr} &= \boldsymbol{\varepsilon}_{ud} \\ \left| \boldsymbol{\varepsilon}_{c} \right| &< \boldsymbol{\varepsilon}_{c2d} \end{aligned}$

bei kleinen  $\rho$  und Ø resp. gutem Verbund, ok

- Beton bricht, während Bewehrung fliesst: (duktil, Ankündigung durch Risse)
- $f_{sd}/E_s \le \varepsilon_{sr} < \varepsilon_{ud}$   $|\varepsilon_c| = \varepsilon_{c2d}$

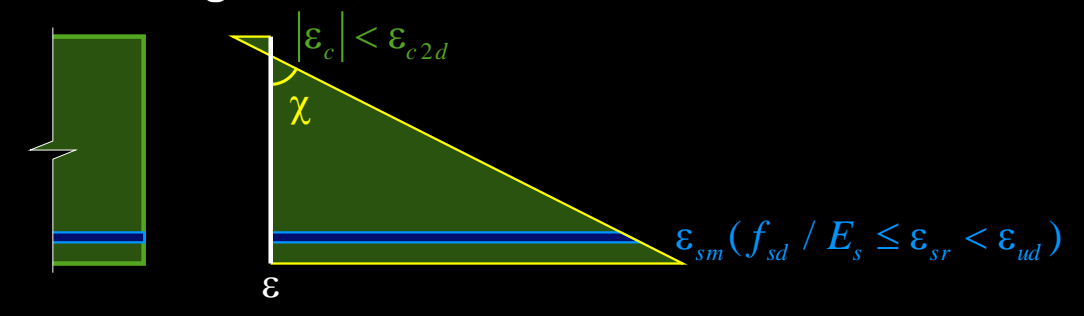
häufigste Bruchart, in der Regel anstreben

- Beton bricht, bevor Bewehrung fliesst: (spröd, geringe Ankündigung)
- $\varepsilon_{sr} < f_{sd} / E_s$   $|\varepsilon| = \varepsilon_{sd}$

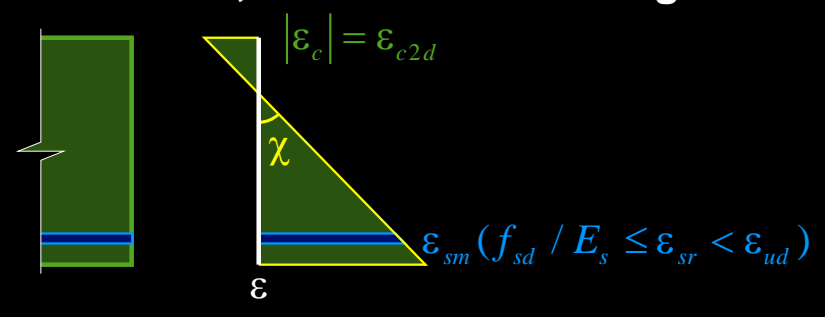
vermeiden (Abmessungen erhöhen, ggf. Umschnürung)

# Biegung – Versagensarten

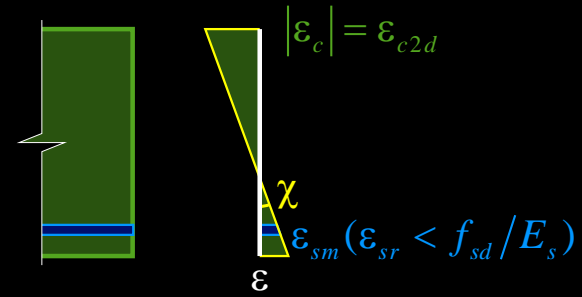
- Bewehrung reisst, bei Rissbildung
- Bewehrung reisst, bevor Beton bricht



Beton bricht, während Bewehrung fliesst



Beton bricht, bevor Bewehrung fliesst

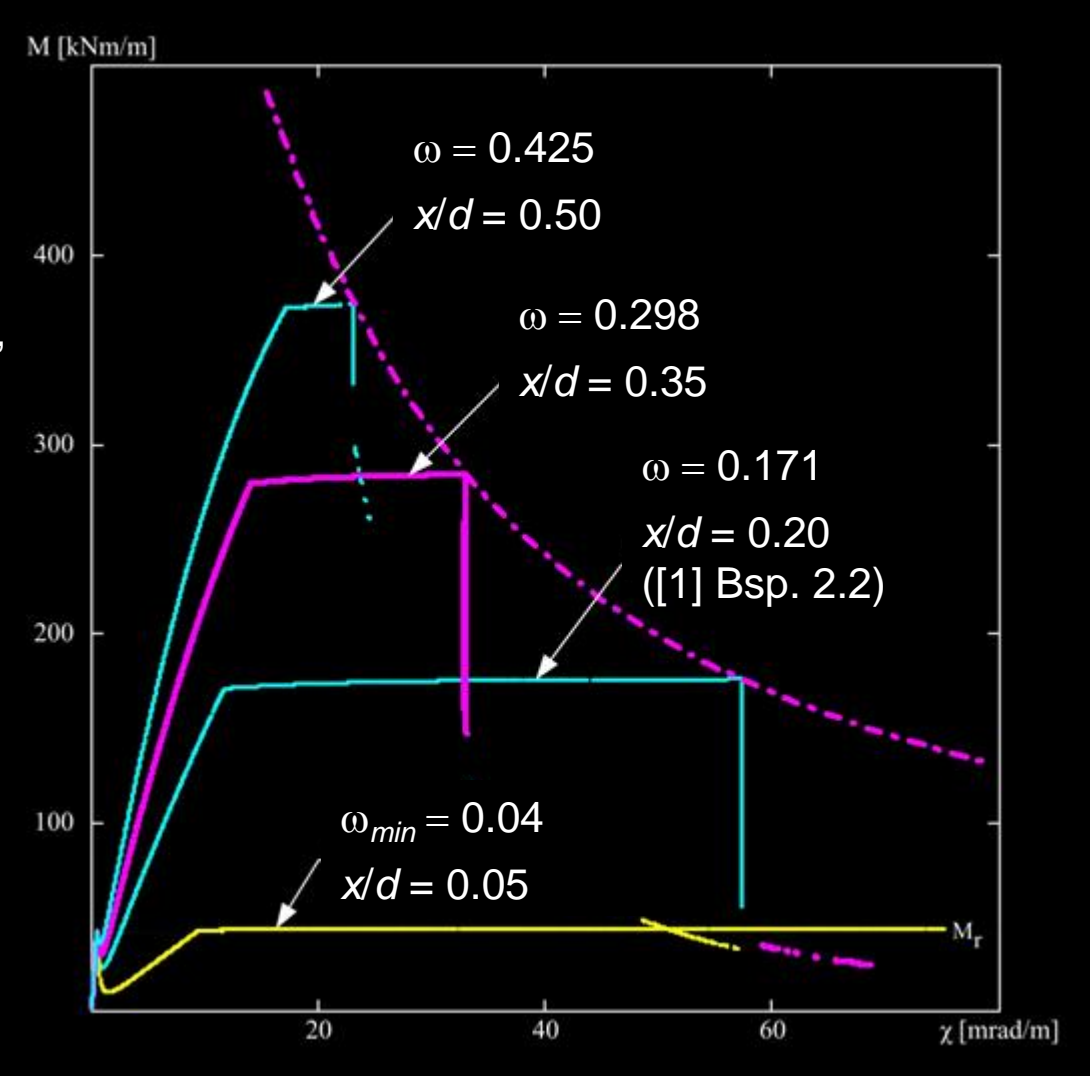


- → SIA 262: Vermeidung von Sprödbrüchen durch Mindestbewehrung (für normale Verhältnisse:  $\rho_{min} \approx 0.2...0.3\%$ )
- Bewehrungsgehalt nimmt zu
- Höhe der Druckzone nimmt zu
- Stahldehnung nimmt ab
- Bruchkrümmung nimmt ab
- Duktilität nimmt ab
- → SIA 262: Gewährleistung ausreichender Duktilität durch Begrenzung der Druckzonenhöhe:

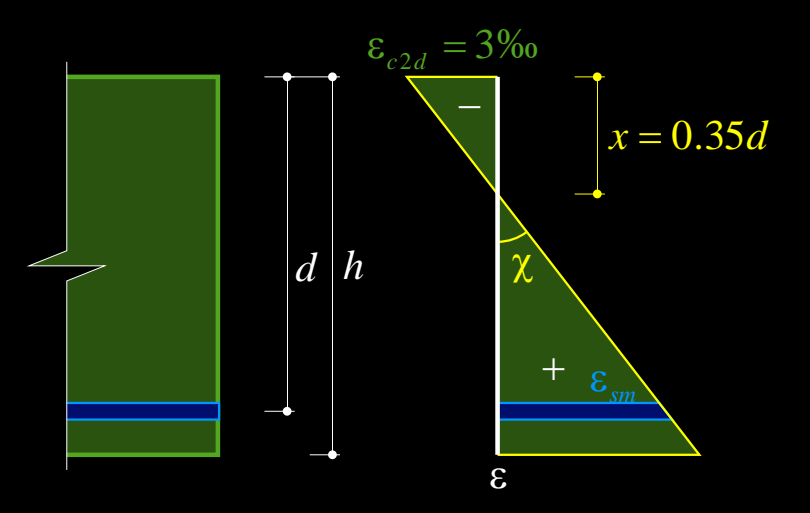
$$x/d \le 0.35 \ (\rho_{max} \approx 1.4 \ \%)$$
  
 $x/d \le 0.50 \ (\rho_{max} \approx 2.0 \ \%)$   
 $(\rho_{max} : normale \ Verhältnisse)$ 

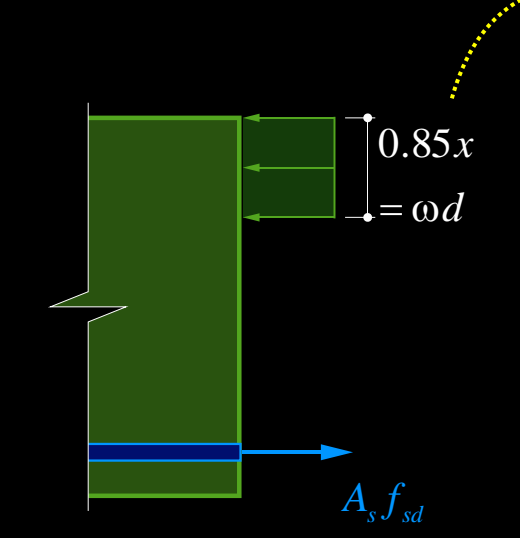
Momenten-Krümmungs-Diagramme (M- $\chi$ ) für Beispiel 2.2 aus [1] mit verschiedenen Bewehrungsgehalten

- → Versagen durch Betonbruch begrenzt die Duktilität
- $\rightarrow$  Mit Begrenzung x/d < 0.35 resp. x/d < 0.50 fliesst Bewehrung noch, bevor der Beton bricht
- $\rightarrow$  Versagen durch Reissen der Bewehrung nicht untersucht (bei Mindestbewehrung zu erwarten); Berücksichtigung erfordert Beziehung  $\sigma_{sr}(\varepsilon_{sm})$ 
  - → Zuggurtmodell



#### Begrenzung der Druckzonenhöhe nach SIA 262





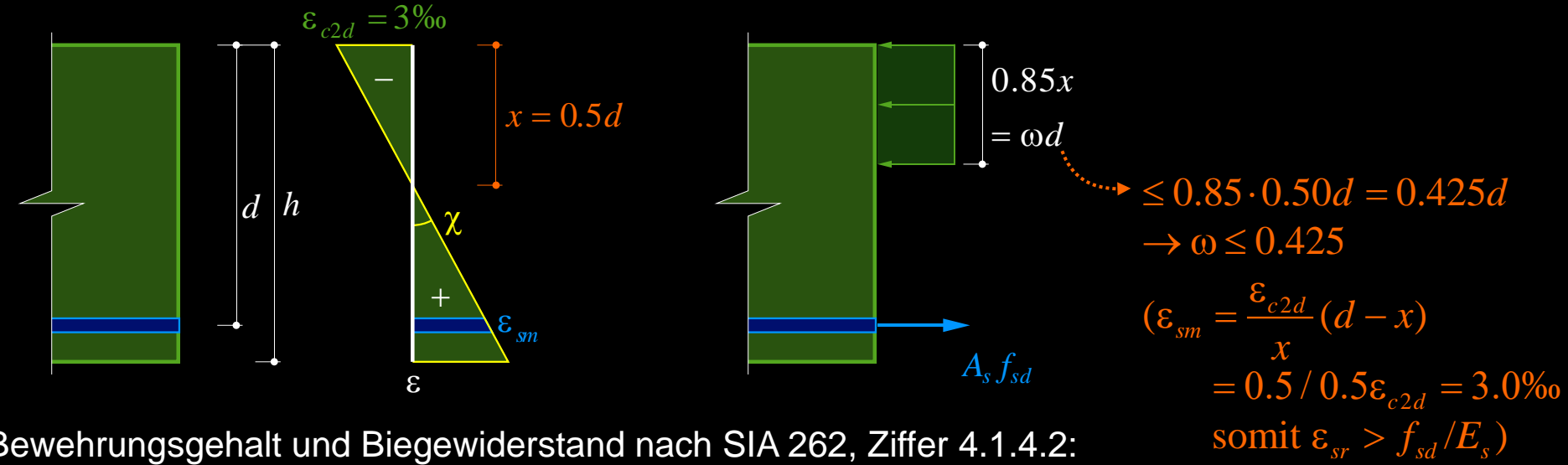
 $\begin{array}{l}
\delta \leq 0.85 \cdot 0.35d = 0.298d \\
\rightarrow \omega \leq 0.298 \\
(\varepsilon_{sm} = \frac{\varepsilon_{c2d}}{x} (d - x) \\
= 0.65 / 0.35 \cdot \varepsilon_{c2d} \approx 5.6\% \\
\text{somit } \varepsilon_{sr} \gg f_{sd} / E_s)
\end{array}$ 

Maximaler Bewehrungsgehalt und Biegewiderstand nach SIA 262, Ziffer 4.1.4.2: (für vorwiegend auf Biegung beanspruchte Bauteile)

• x/d ≤ 0.35: Schnittgrössenumlagerungen **ohne** Nachweis des Verformungsvermögens

$$x/d \le 0.35 \to \omega \le 0.298 \to M_{Rd} = bd^2 f_{cd} \omega (1 - \omega/2) \le 0.253 \cdot bd^2 f_{cd}$$

#### Begrenzung der Druckzonenhöhe nach SIA 262

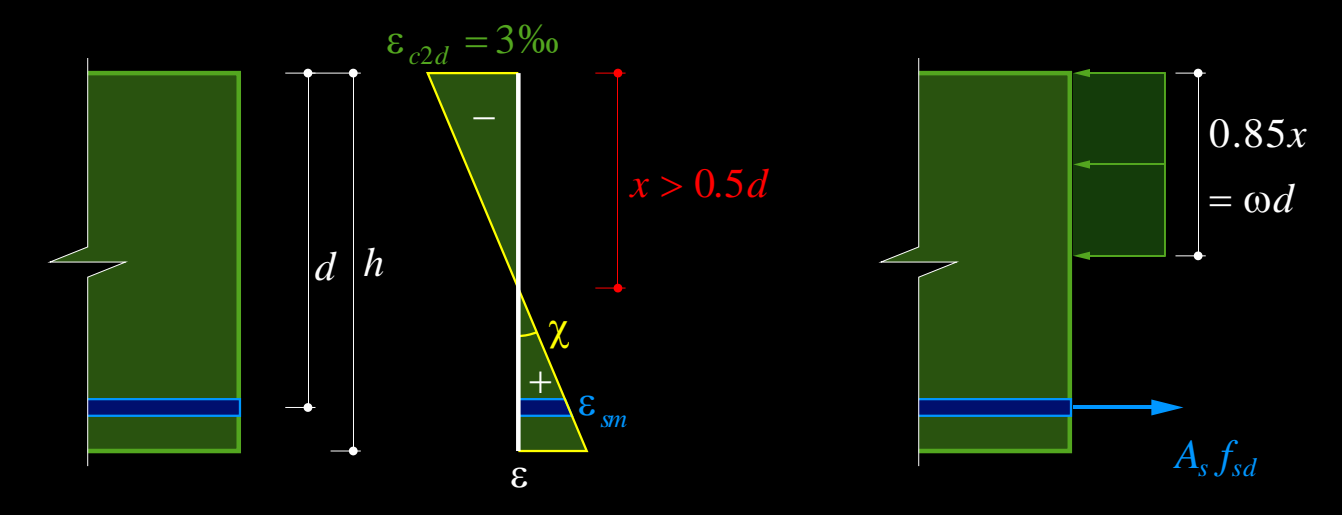


Maximaler Bewehrungsgehalt und Biegewiderstand nach SIA 262, Ziffer 4.1.4.2: (für vorwiegend auf Biegung beanspruchte Bauteile)

• 0.35 ≤ x/d ≤ 0.5: Schnittgrössenumlagerungen **mit** Nachweis des Verformungsvermögens

$$x/d \le 0.50 \to \omega \le 0.425 \to M_{Rd} = bd^2 f_{cd} \omega (1 - \omega/2) \le 0.335 \cdot bd^2 f_{cd}$$

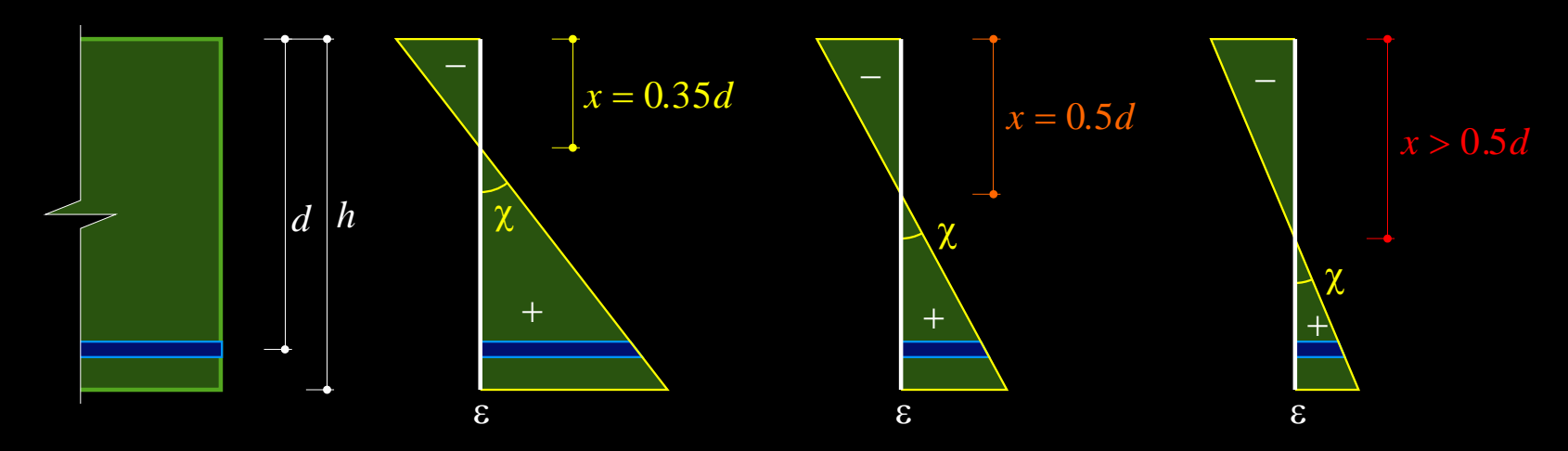
#### Begrenzung der Druckzonenhöhe nach SIA 262



Maximaler Bewehrungsgehalt und Biegewiderstand nach SIA 262, Ziffer 4.1.4.2: (für vorwiegend auf Biegung beanspruchte Bauteile)

• x/d > 0.50: ist zu vermeiden

#### Begrenzung der Druckzonenhöhe nach SIA 262



Maximaler Bewehrungsgehalt und Biegewiderstand nach SIA 262, Ziffer 4.1.4.2: (für vorwiegend auf Biegung beanspruchte Bauteile)

- $x/d \le 0.35$ : Schnittgrössenumlagerungen **ohne** Nachweis des Verformungsvermögens  $x/d \le 0.35 \to \omega \le 0.298 \to M_{Rd} = bd^2 f_{cd} \omega (1-\omega/2) \le 0.253 \cdot bd^2 f_{cd}$
- 0.35  $\leq x/d \leq$  0.5: Schnittgrössenumlagerungen **mit** Nachweis des Verformungsvermögens  $x/d \leq 0.50 \rightarrow \omega \leq 0.425 \rightarrow M_{Rd} = bd^2 f_{cd} \omega (1-\omega/2) \leq 0.335 \cdot bd^2 f_{cd}$
- x/d > 0.50: ist zu vermeiden

Rotationsbedarf  $\Theta_{pu,req}$  (Näherung, Beispiel Zweifeldträger)

Allgemein sind Verformungsvermögen und Verformungsbedarf gekoppelt.

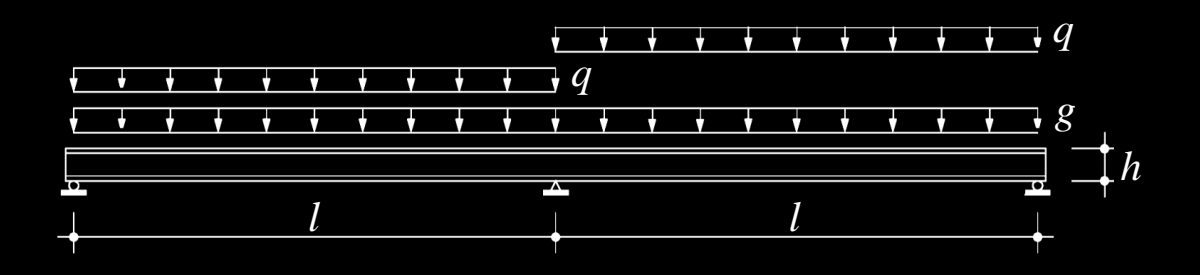
Nur für moderate Umlagerungen kann die Wechselwirkung vernachlässigt werden.

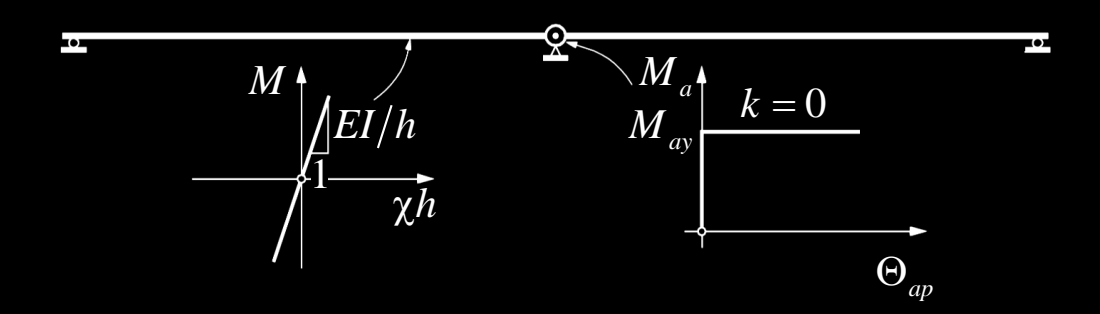
Zusätzliche Vereinfachungen:

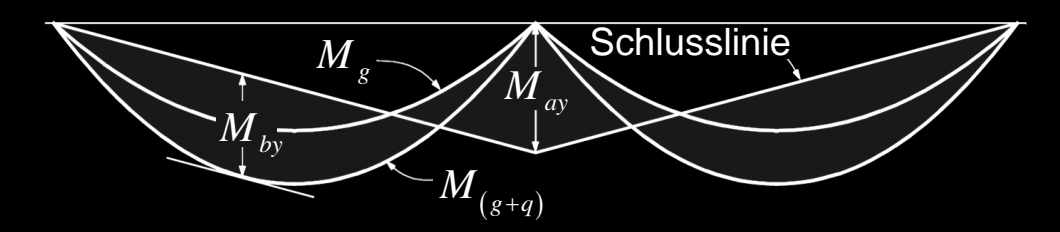
- Biegesteifigkeit konstant
- *M*-⊕ starr-ideal plastisch (keine Verfestigung im plastischen Gelenk)

Damit entspricht der Rotationsbedarf  $\Theta_{pu,req}$  des Gelenks beim Zwischenauflager dem Auflagerdrehwinkel der beiden Trägerhälften, die nach dem Erreichen von  $M_{ay}$  (bei  $q = q_y$ ) als einfache Balken betrachtet werden können:

$$\Theta_{pu,req} = \frac{\left(q - q_y\right)l^3}{12EI}$$

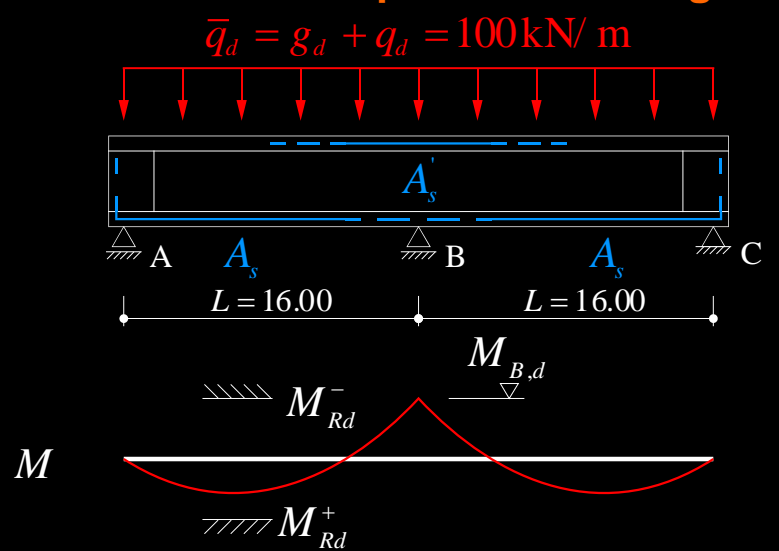




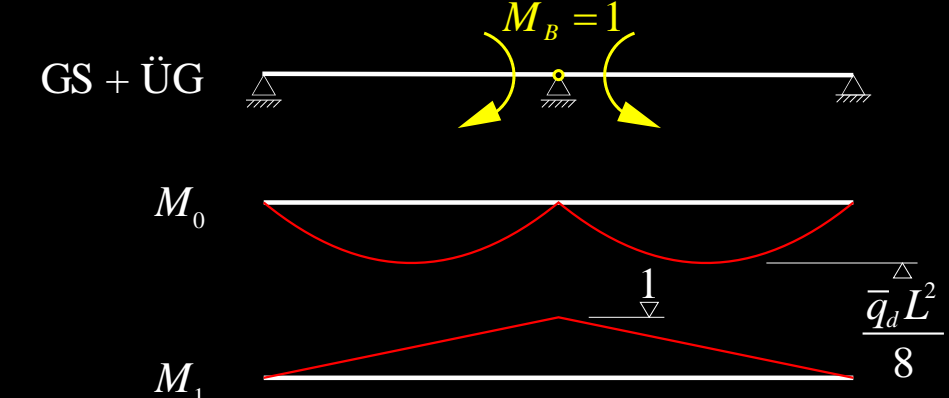


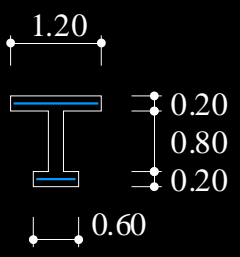
(Zweifeldträger, erstes plastisches Gelenk beim Zwischenauflager, Verformungsbedarf für Volllast)

#### Rotationsbedarf – Beispiel Zweifeldträger



Moment über Zwischenauflager





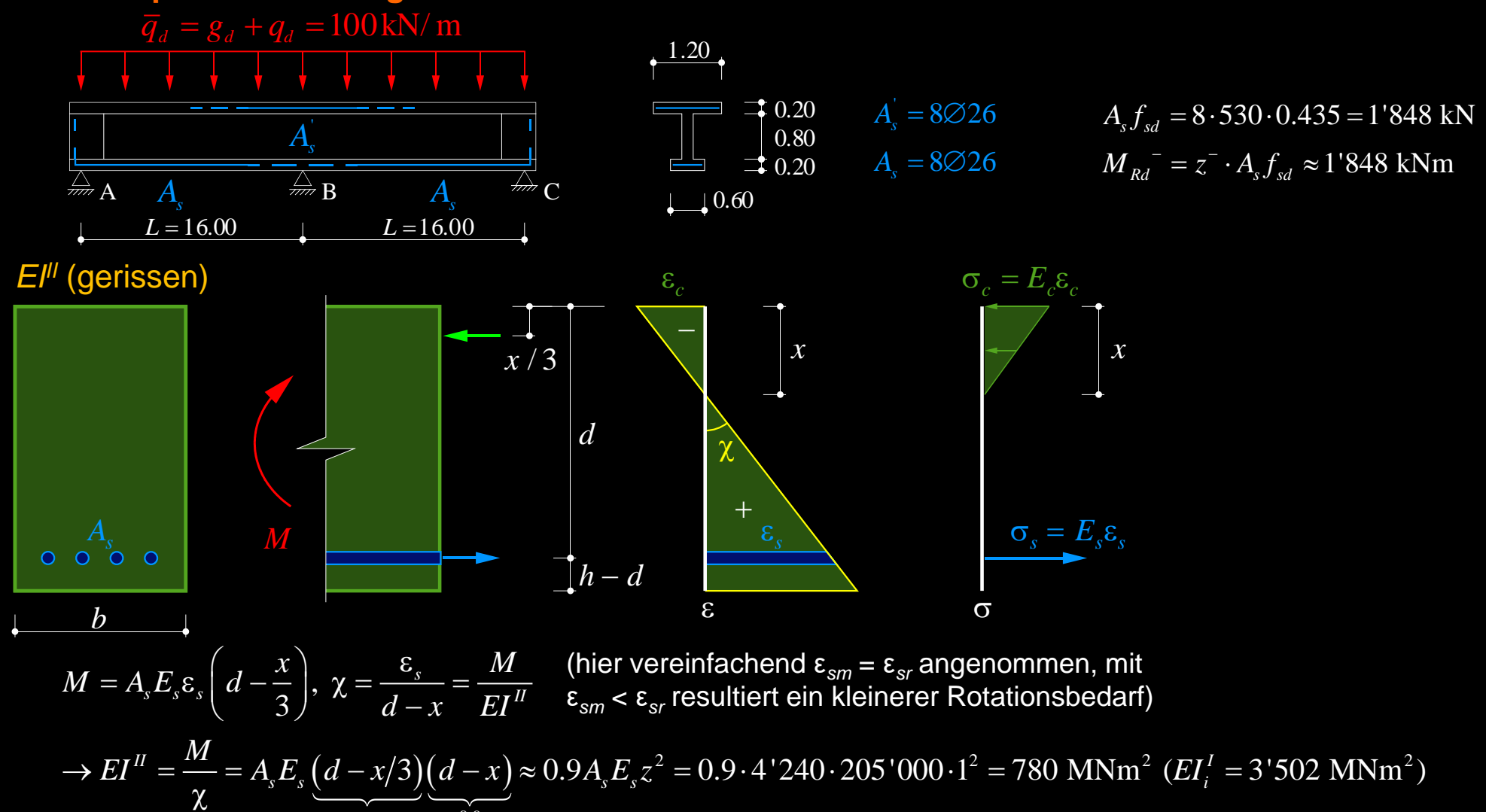
0.20 
$$A_s = 8 \otimes 26$$
  $A_s f_{sd} = 8.530 \cdot 0.435 = 1'848 \text{ kN}$   
0.80  $A_s = 8 \otimes 26$   $M_{Rd}^- = z^- \cdot A_s f_{sd} \approx 1'848 \text{ kNm}$ 

#### Kraftmethode

$$\Theta_{B0} = \int \frac{M_0 M_1}{EI} = 2 \cdot \frac{\overline{q}_d L^2}{8} \cdot \left( -\frac{L}{3EI^+} \right) = -\frac{\overline{q}_d L^3}{12EI^+} 
\Theta_{B1} = \int \frac{M_1^2}{EI} = 2 \cdot 1 \cdot 1 \cdot \frac{L}{3EI^-} = \frac{2L}{3EI^-} 
\Theta_B = \Theta_{B0} + M_B \Theta_{B1} = 0 
\rightarrow M_B = -\frac{\Theta_{B0}}{\Theta_{B1}} = \frac{\overline{q}_d L^2}{8} \frac{EI^-}{EI^+} = \alpha_r \frac{\overline{q}_d L^2}{8} \le \frac{\overline{q}_d L^2}{8} \text{ (i.d.R.)}$$

Da meist  $EI^- < EI^+$  ist (Rissbildung beginnt über B), findet ein Teil der Schnittkraftumlagerungen bereits vor Fliessbeginn statt (dadurch wird der plastische Rotationsbedarf reduziert  $\rightarrow$  günstig!)

#### Rotationsbedarf – Beispiel Zweifeldträger



#### Rotationsbedarf – Beispiel Zweifeldträger

#### Fliessbeginn

$$\alpha_{r} \frac{\overline{q}_{d} L^{2}}{8} = M_{Rd}^{-} \rightarrow \overline{q}_{dy} = \frac{8M_{Rd}^{-}}{\alpha_{r} L^{2}} = \frac{1}{\alpha_{r}} \frac{8 \cdot 1'848}{256}$$

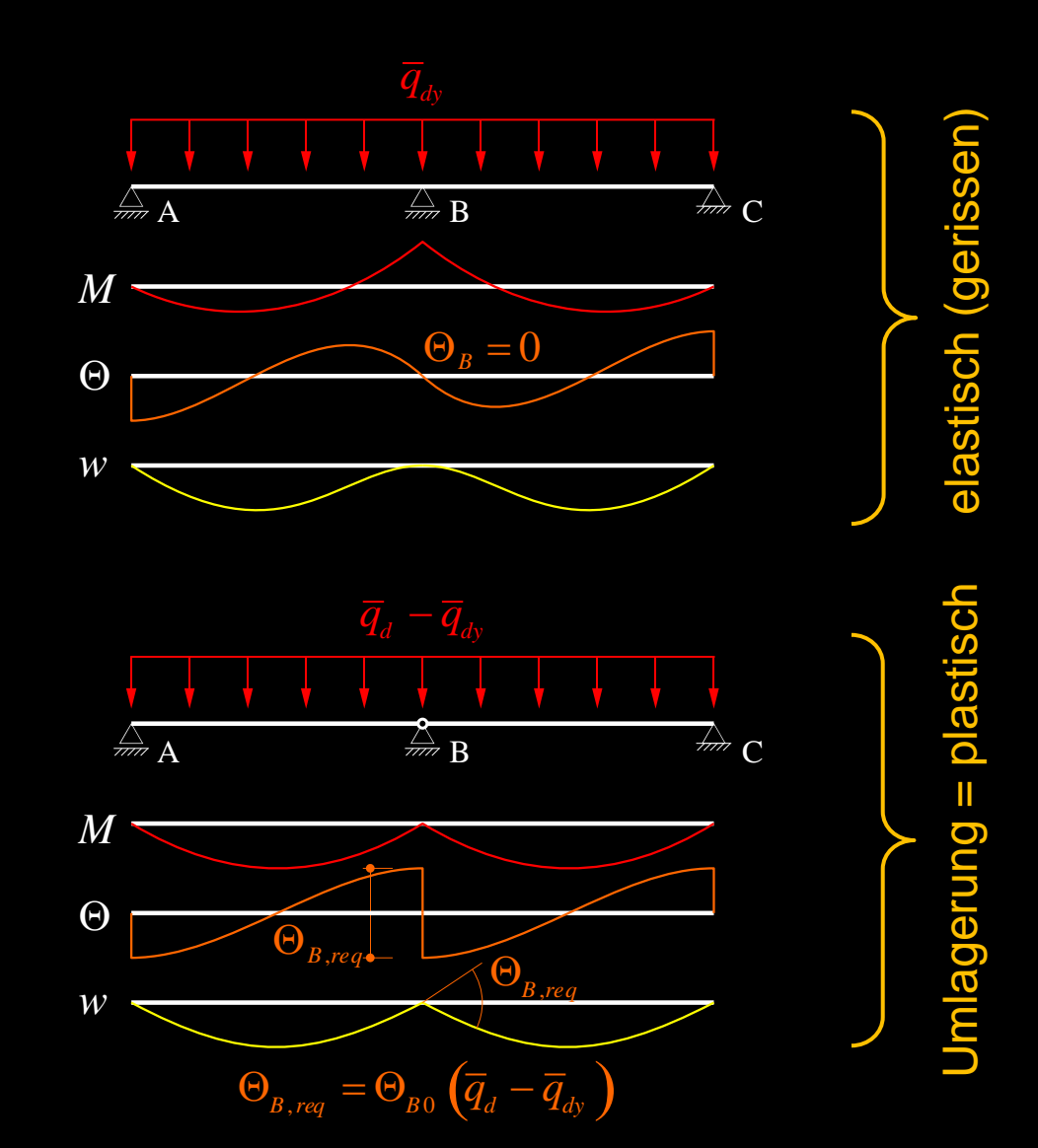
$$= \frac{1}{\alpha_{r}} 57.8 \text{ kN/m}$$

$$\rightarrow \overline{q}_{d} - \overline{q}_{dy} = 100 - \frac{1}{\alpha_{r}} 57.8 \text{ kN/m} = 42.2 \text{ kN/m} \ (\alpha_{r} = 1.0)$$

$$= 27.8 \text{ kN/m} \ (\alpha_{r} = 0.8)$$

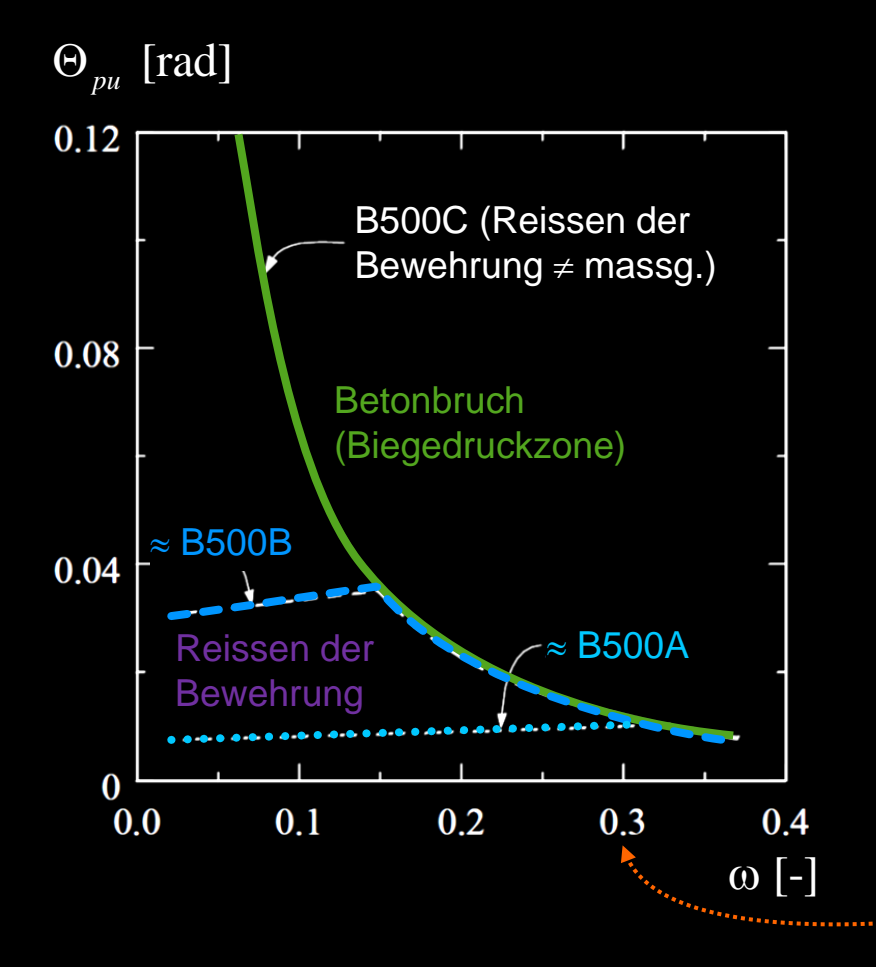
$$\Theta_{B,req} = (\overline{q}_d - \overline{q}_{dy}) \frac{L^3}{12EI} = \frac{42.2 \cdot 16^3}{12 \cdot 780 \cdot 10^3} \frac{\text{kNm}^2}{\text{kNm}^2}$$
= 18.5 mrad (\alpha\_r = 1)
= 12.2 mrad (\alpha\_r = 0.8)

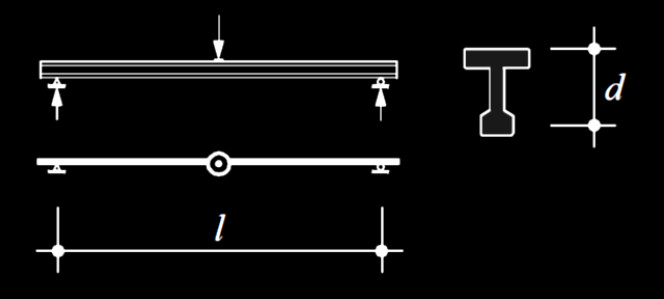
Nach Erreichen von  $M_{Rd}^-$ : zwei Einfeldträger für Zusatzbelastung  $\overline{q}_d - \overline{q}_{dy}$  mit entsprechender Relativverdrehung der Trägerenden über B (siehe GS+ÜG in Folie 28)



#### Beispiel: Detaillierte Untersuchung des Verformungsvermögens (siehe SB III)

Plastischer Gelenkwinkel in Funktion von ω; Duktilitätsklassen Betonstahl A-C (2003)





Grundlagen für die Berechnungen:

$$f_y = 500 \text{ MPa}$$
  $l/d = 20$   
 $E_s = 200 \text{ GPa}$   $\theta = 45 ^{\circ}$   
 $f_c = 30 \text{ MPa}$   $\varnothing = 20 \text{ mm}$   
 $\varepsilon_{cu} = 5 \%$   $s_{rm} = 150 \text{ mm}$ 

 $\omega$  = 0.298 (x/d = 0.35): Verformungsvermögen deutlich geringer als bei kleinen  $\omega$ 

#### Rotationsvermögen $\Theta_{pu}$ vereinfacht (siehe auch [1], p. 2-32ff)

Beschränkung der plastischen Rotation infolge Betonstahl (Reissen der Bewehrung):

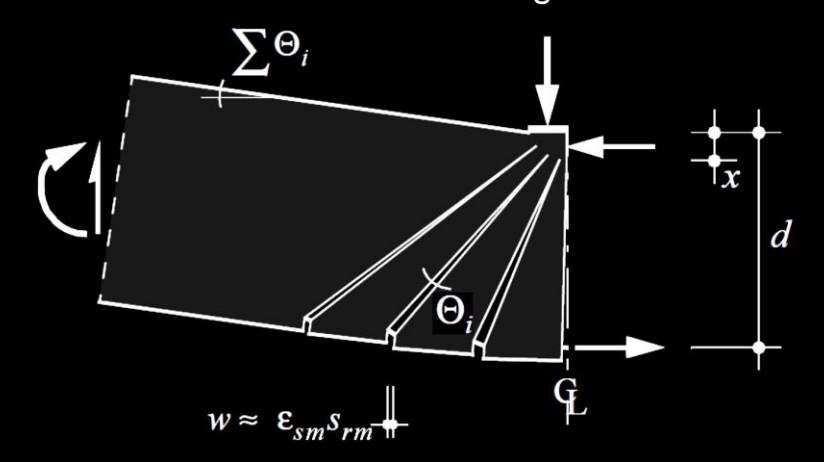
$$\Theta_{\mathit{pus}} = L_{\mathit{pl}} \cdot \left( \frac{\varepsilon_{\mathit{smu}}}{d-x} \right) \frac{\varepsilon_{\mathit{smy}}}{d-x} \quad \text{Krümmung bei Fliessbeginn} \\ \text{Krümmung beim Reissen der Bewehrung}$$

Beschränkung der plastischen Rotation infolge Beton (Erreichen Bruchstauchung):

$$\Theta_{puc} = L_{pl} \left( \underbrace{\frac{\varepsilon_{c2d}}{x}}_{d-x} \underbrace{\frac{\varepsilon_{smy}}{d-x}}_{d-x} \right)$$
 Krümmung bei Fliessbeginn Krümmung bei Betonbruch

Rotation pro Riss: 
$$\Theta_i \approx \frac{\varepsilon_{sm} S_{rm}}{d - x}$$

Plastische Gelenkrotation = Summe der plastischen Rotationen aller Risse ab Fliessbeginn



- Plastische Gelenklänge, abhängig von Belastungskonfiguration und Geometrie: Bereich, in  $L_{pl}$  welchem die Gurtbewehrung fliesst (ightarrow Gurtkraftverlauf i.A. aus Spannungsfeld ermitteln) Näherung:  $L_{nl} \approx 2d$ , genauere Ermittlung siehe Vorlesung «Advanced Structural Concrete»

$$\sigma_{sr} = f_{t} \qquad \qquad \varepsilon_{sr} \leftrightarrow \varepsilon_{sm}$$

$$\rightarrow \text{Zuggurtmode}$$

 $\begin{array}{ll} \epsilon_{smu} & \text{Mittlere Stahldehnung beim Erreichen von} & \epsilon_{sr} = \epsilon_{ud} & \sigma_{sr} = f_t \\ \epsilon_{smy} & \text{Mittlere Stahldehnung beim Erreichen von} & \epsilon_{sr} = \frac{f_s}{E} & \sigma_{sr} = f_s \end{array} \qquad \begin{array}{ll} \epsilon_{sr} \leftrightarrow \epsilon_{sm} \\ \rightarrow \epsilon_{sr} \leftrightarrow \epsilon_{sm} \\ \rightarrow \epsilon_{sr} \leftrightarrow \epsilon_{sm} \end{array}$ 

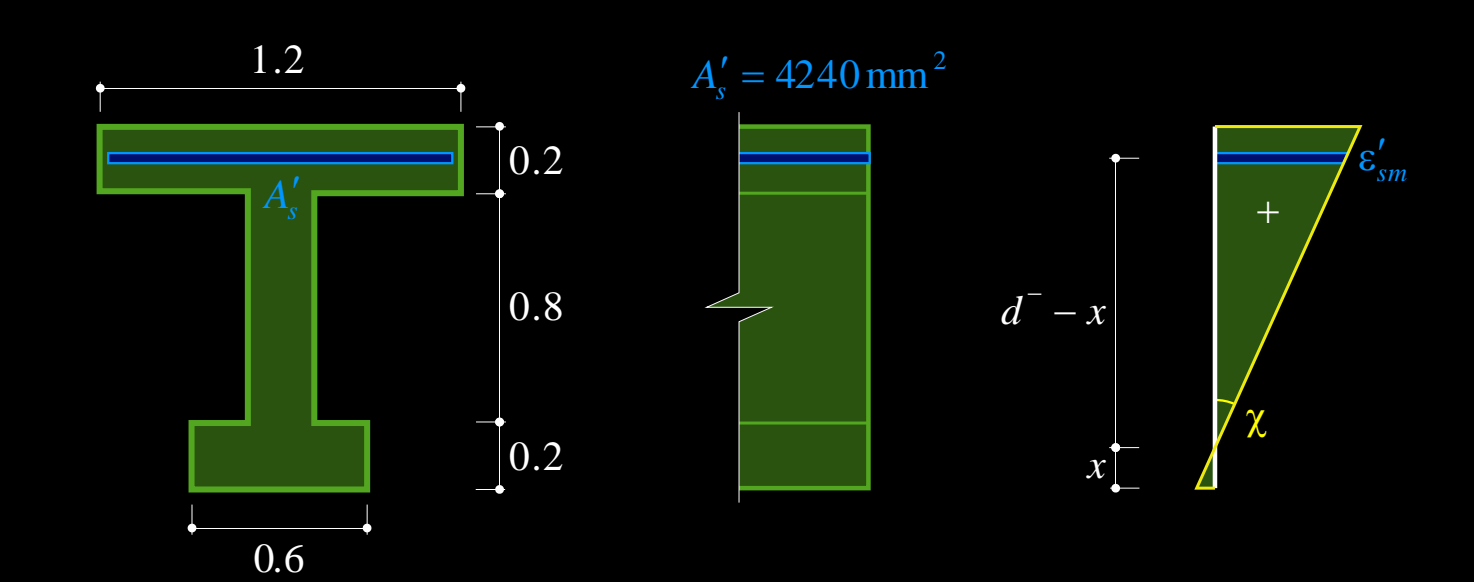
$$\sigma_{sr} = f_s$$

#### Rotationsbedarf ↔ Rotationsvermögen vereinfacht – Beispiel Zweifeldträger

• C30/37:

$$f_{cd} = 20 \,\text{MPa}, f_{ctm} = 2.9 \,\text{MPa}$$

•  $d^- \approx 1.1 \text{ m}, A'_s f_{sd} = 1'848 \text{ kN}$  $\Rightarrow x = \frac{1'848}{0.85 \cdot 0.6 \cdot 20} = 181 \text{ mm}$  $d^{-} - x = 919 \text{ mm}$ 



#### Rotation im Bruchzustand

$$\Theta_{puc} = L_{pl} \cdot \left(\frac{\varepsilon_{cu}}{x} - \frac{\varepsilon_{smy}}{d^{-} - x}\right)$$

$$\Theta_{pus} = L_{pl} \cdot \left(\frac{\varepsilon_{smu}}{d^{-} - x} - \frac{\varepsilon_{smy}}{d^{-} - x}\right)$$

$$\approx \frac{f_{s}/E_{s}}{d^{-} - x} = 2.3 \text{ mrad/m}$$

$$\approx \frac{f_{s}/E_{s}}{d^{-} - x} = 2.3 \text{ mrad/m}$$

nit 
$$\frac{\varepsilon_{smy}}{d^- - x}$$
 = Krümmung bei Fliessbeginn,  $L_{pl}$  = plastische Länge = ca.  $2d$   $\approx \frac{f_s/E_s}{d^- - x} = 2.3 \, \mathrm{mrad/m}$ 

#### Rotationsbedarf ↔ Rotationsvermögen vereinfacht – Beispiel Zweifeldträger

#### Rotation im Bruchzustand

#### Betonbruch

$$\Theta_{puc} = L_{pl} \cdot \left(\frac{\varepsilon_{cu}}{x} - \frac{\varepsilon_{smy}}{d^{-} - x}\right) \approx 2 \cdot 1.10 \cdot \left(\frac{0.003}{0.181} - 0.0023\right) = 14.3 \frac{\text{mrad}}{\text{m}} \cdot 2.2 \text{ m} = 31.4 \text{ mrad}$$

$$\to \Theta_{puc} > \Theta_{B,reg} \to \text{OK}$$

#### Stahlreissen

grobe Annahme: 
$$\epsilon_{smu} \approx 0.5\epsilon_{ud} = \begin{cases} 22.5\% \text{ (B500B)} \\ 32.5\% \text{ (B500C)} \end{cases}$$
 (geschätzte Abminderung der Bruchdehnung infolge Zugversteifung – siehe hinten)

$$\Theta_{pus} = L_{pl} \cdot \left(\frac{\varepsilon_{smu}}{d^{-} - x} - \frac{\varepsilon_{smy}}{d^{-} - x}\right) = \begin{cases} 2 \cdot 1.10 \cdot \left(\frac{0.0225}{0.919} - 0.0023\right) = 22.2 \frac{\text{mrad}}{\text{m}} \cdot 2.2 \text{ m} = 48.8 \text{ mrad (B500B)} \\ 2 \cdot 1.10 \cdot \left(\frac{0.0325}{0.919} - 0.0023\right) = 33.1 \frac{\text{mrad}}{\text{m}} \cdot 2.2 \text{ m} = 72.7 \text{ mrad (B500C)} \end{cases}$$

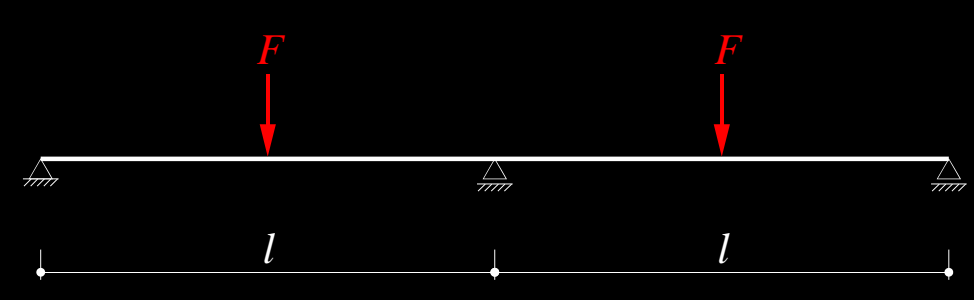
$$\to \Theta_{pus} > \Theta_{B,reg} \to \text{OK}$$

Damit wäre der Nachweis des Verformungsvermögens erbracht.

Aber: Ist die Annahme von  $L_{pl}$ ,  $\varepsilon_{smu}$  in Ordnung?  $\rightarrow$  siehe Vorlesung «Advanced Structural Concrete»

# Verhalten unter Biegung – Duktilität

#### Statisches System:



Querschnitt so ausbilden, dass dieser ein duktiles Verhalten aufweist

Mechanismus:

1
2/1 1

Verbügelung (statisch / Mindestbewehrung), damit keine vorzeitigen Schubversagen auftreten!

Die Bemessung erfolgt in der Regel auf Basis des unteren Grenzwertsatzes der Plastizitätstheorie, obschon weder Beton noch Bewehrung ideal plastisch sind.

Bemessung und konstruktive Durchbildung müssen daher eine ausreichende Duktilität gewährleisten. Nur dann können bei der Ermittlung des Tragwiderstands Zwängungen vernachlässigt werden, und es kann von einem duktilen Versagen (Verformungen, Ankündigung) ausgegangen werden.

- → unter Einhaltung bestimmter Regeln sind Schnittkraftumlagerungen nach SIA 262 ohne weiteres zulässig (andernfalls ist eine Kontrolle der Verformungsvermögens erforderlich, siehe Vorlesung «Advanced Structural Concrete»)
- $\rightarrow$  für Biegung insbesondere zu beachten:  $\rho_{min}$  aus Bedingung  $M_{Rd} > M_r$  (kein Sprödbruch bei Rissbildung)

ρ<sub>max</sub> aus Bedingung, dass der Stahl fliesst, bevor die Betondruckzone versagt

### Verhalten unter Biegung – Duktilität

#### **Auszug aus Norm SIA 262, 4.1.4.2** → **Duktilität**

- 4.1.4.2 Methoden der Plastizitätstheorie
- 4.1.4.2.1 Die Methoden der Plastizitätstheorie eignen sich zur Schnittgrössenermittlung für den Grenzzustand der Tragsicherheit.
- 4.1.4.2.2 Die Tragwerksanalyse soll im Allgemeinen nach dem unteren Grenzwertsatz der Plastizitätstheorie (statische Methode) vorgenommen werden. Dabei ist von einem Gleichgewichtszustand der inneren und äusseren Kräfte auszugehen, der die statischen Randbedingungen erfüllt und die Fliessbedingungen nirgends verletzt.
- 4.1.4.2.3 Ein Vorgehen nach dem oberen Grenzwertsatz der Plastizitätstheorie (kinematische Methode) ist dann zulässig, wenn durch Erfahrung bekannt ist, dass sich die angenommenen Mechanismen im Bruchzustand tatsächlich einstellen können.
- 4.1.4.2.4 Ein duktiles Verhalten ist durch konstruktive Massnahmen (z.B. Verbügelung der Biegedruckzone), die Wahl der Baustoffe und das Einlegen einer Mindestbewehrung sicherzustellen.
- 4.1.4.2.5 Schnittgrössen statisch unbestimmter, vorwiegend auf Biegung beanspruchter Bauteile, die nach Ziffer 4.1.4.1 ermittelt wurden, können unter Einhaltung der Gleichgewichtsbedingungen und unter Beachtung von Ziffer 4.1.4.2.4 ohne rechnerischen Nachweis des Verformungsvermögens umgelagert werden, wenn:
  - die bezogene Druckzonenhöhe den Wert x/d = 0.35 nicht überschreitet
  - Betonstahl der Klassen B oder C und Beton der Klassen ≤ C 50/60 verwendet wird.

Für die Ermittlung der Druckzonenhöhe *x* gelten die Idealisierungen gemäss Ziffer 4.2.1; eine allenfalls vorhandene Druckbewehrung darf in Rechnung gestellt werden.

4.1.4.2.6 Falls die Bedingungen der Ziffer 4.1.4.2.5 nicht eingehalten werden, ist ein rechnerischer Nachweis des plastischen Verformungsvermögens zu erbringen. Werte von x/d > 0,5 sind zu vermeiden.

# Verhalten unter Biegung – Verformungsvermögen

Duktilität = plastisches Verformungsvermögen – bei richtiger Bemessung und konstruktiver Durchbildung sehr gross



Versuchsträger von Dr. Viktor Sigrist (Direktor der Hochschule Luzern – Technik & Architektur) in der Bauhalle HIF



Reussbrücke Wassen Unwetter 1987

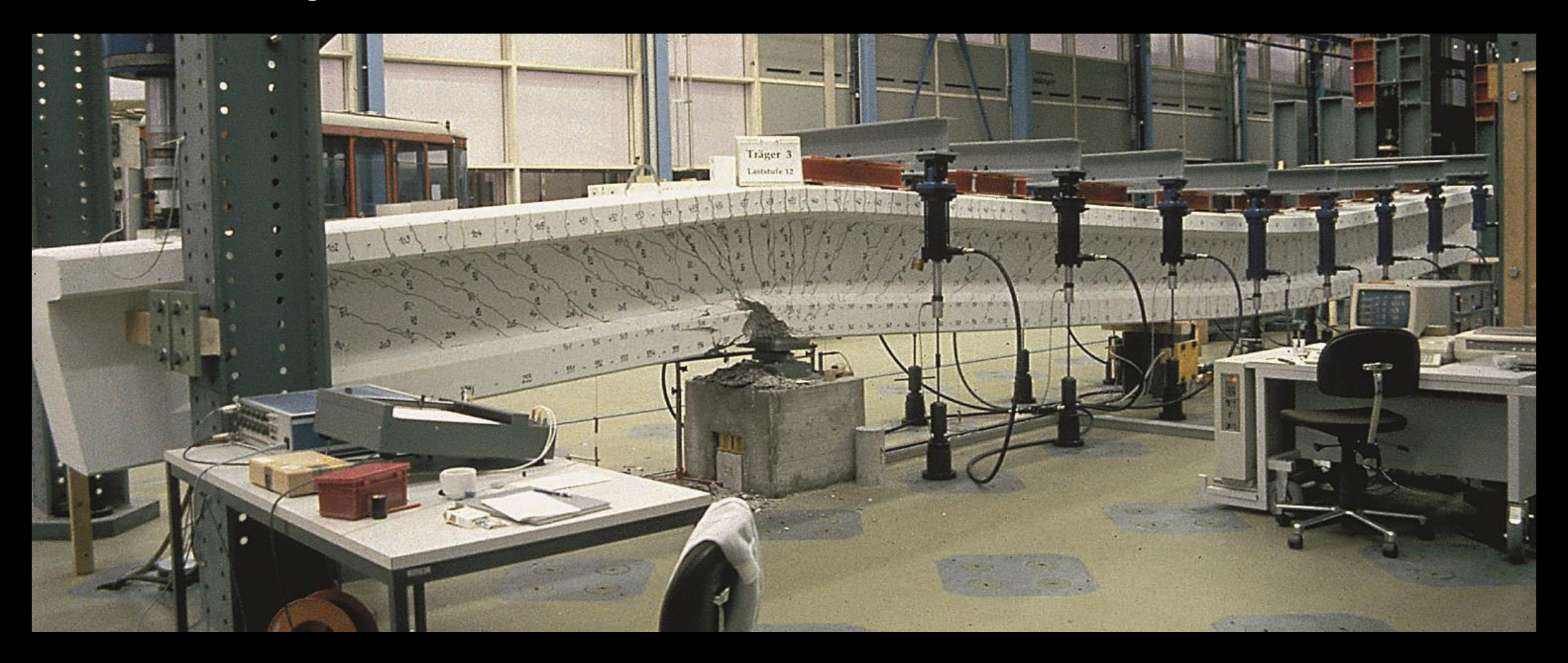
- → Unterkolkung Stütze
- → grosse Verformungen
- → kein Kollaps
- → erfolgreich repariert

(siehe z.B. Beiträge im SIA, Heft 25/1989)



# Verhalten unter Biegung – Verformungsvermögen

#### Versuch Dr. Viktor Sigrist



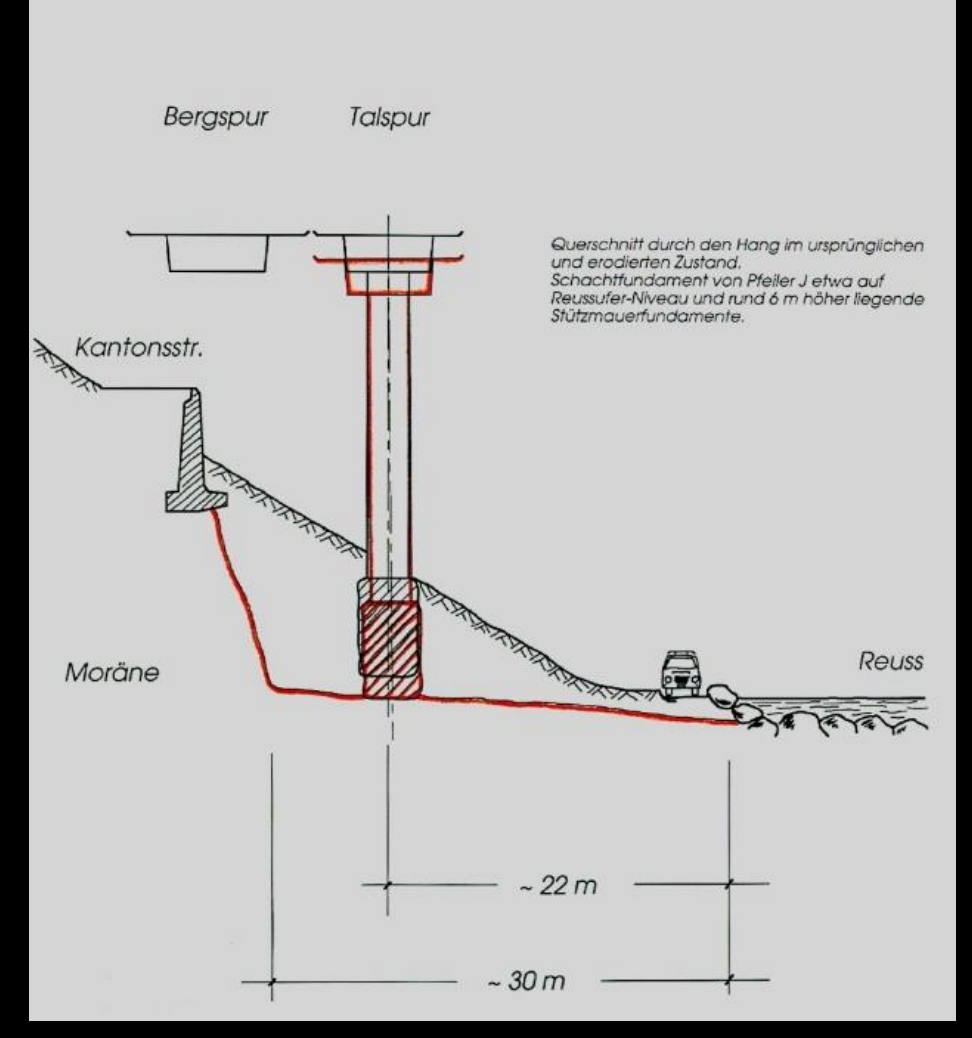
# Verhalten unter Biegung – Verformungsvermögen

Reussbrücke Wassen (Baujahr 1972) im Juli 1987



Reussbrücke Wassen – Schäden infolge Hochwasser (24./25. August 1987)





Reussbrücke Wassen – Schäden infolge Hochwasser (24./25. August 1987)



**Reussbrücke Wassen – Reparaturarbeiten** 



Reussbrücke Wassen – Reparaturarbeiten

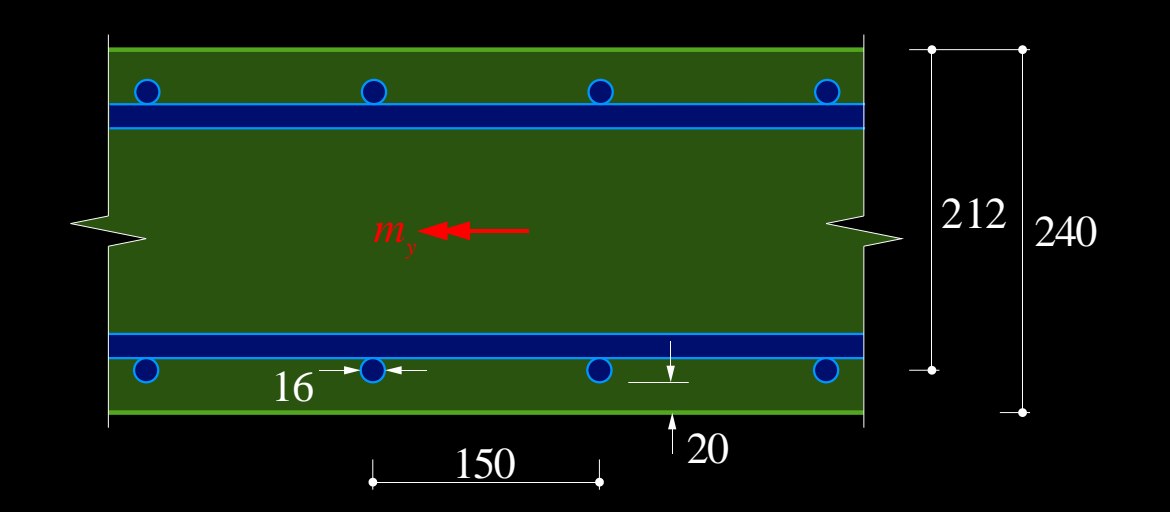


#### Siehe auch [1], Seite 2.4ff

- Die Bewehrung auf Biegedruckseite wird bei der Vorbemessung normalerweise nicht berücksichtigt (Einfluss auf Tragwiderstand für normale Verhältnisse gering).
- Die Berücksichtigung ist im Ausführungsprojekt bei grossen Bewehrungsgehalten sinnvoll. Heute ist dies mit Querschnittsprogrammen einfach möglich (Handrechnung ist relativ aufwändig, die früher eingesetzten Tabellenwerke sind nicht mehr zeitgemäss).
- In der Regel wird nur eine konstruktive Bewehrung auf der Druckseite vorgesehen, keine eigentliche Druckbewehrung (unwirtschaftlich: Beton ist günstiger (mehr als Verhältnis  $f_{sd} / f_{cd}$ ), zudem wird  $f_{sd}$  auf Höhe der Druckbewehrung oft nicht erreicht).
- In speziellen Fällen (z. Bsp. begrenzte Bauhöhe verfügbar) ist eine Druckbewehrung sinnvoll. Sie ist gegen Ausknicken zu sichern (Bügel).
- Eine Umschnürungsbewehrung ist wirksamer als eine Druckbewehrung. Zudem kann damit auch die Bruchdehnung des Betons erhöht werden → günstig für Duktilität.
- Eine konstruktive Bewehrung auf der Biegedruckseite ist sinnvoll, um die Langzeitverformungen zu begrenzen (Beton entzieht sich durch Kriechen der Last, Druckkräfte werden auf Bewehrung umgelagert, dadurch geringere Zunahme der Verformungen als ohne Druckbewehrung).

#### Beispiel, Platte mit Bewehrung auf Biegedruckseite

1. Abschätzung  $m_{Rd}$  ohne Berücksichtigung der Druckbewehrung (siehe Folie 14-15)



Stahlbetonplatte 
$$h = 240 \text{ mm}$$

Beton C25/30 
$$f_{cd} = 16.5 \text{ MPa}$$

$$E_{cm} = 32 \text{ GPa}$$

Betonstahl B500B 
$$f_{sd} = 435 \text{ MPa}$$

$$E_{\rm s} = 205 \, {\rm GPa}$$

$$c_{nom} = 20 \text{ mm}$$

$$a_s = \frac{\cancel{O}^2 \cdot \pi}{4 \cdot s} = \frac{16^2 \cdot \pi}{4 \cdot 0.15} = 1'340 \,\text{mm}^2/\text{m}$$

Konservativ (sichere Seite), da  $0.9 \cdot d = 0.191 \text{ m} < z_{eff} = 0.194 \text{ m}$ 

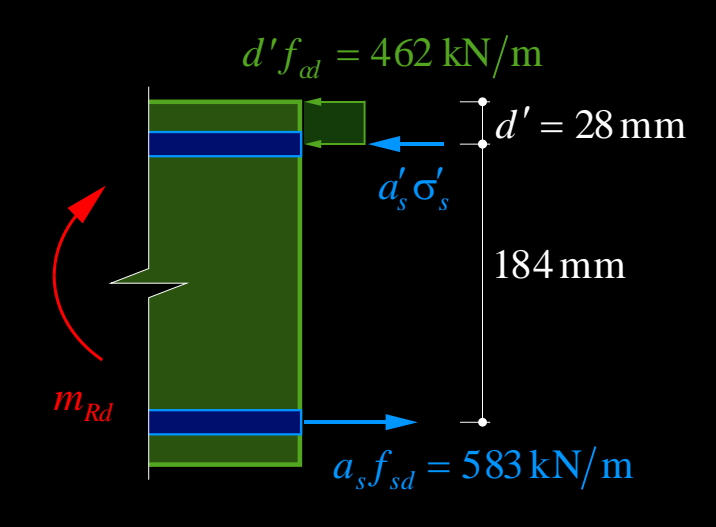
$$m_{Rd} \approx a_s \cdot f_{sd} \cdot 0.9 \cdot d = 1'340 \cdot 0.435 \cdot 0.9 \cdot 0.212 = 111.2 \text{ kNm/m}$$
  
 $m_{Rd} = f_{cd} \cdot d^2 \cdot \omega \cdot (1 - \omega / 2) = 16.5 \cdot 212^2 \cdot 0.167 \cdot (1 - 0.084) = 113.3 \text{ kNm/m}$ 

(Abschätzung, ohne Druckbewehrung)

("genaue" Lösung, ohne Druckbewehrung)

#### Beispiel, Platte mit Bewehrung auf Biegedruckseite

2. Starr-ideal plastische Berechnung (keine Dehnungsbegrenzung)



Lage der Neutralachse auf der Höhe von a'<sub>s</sub>

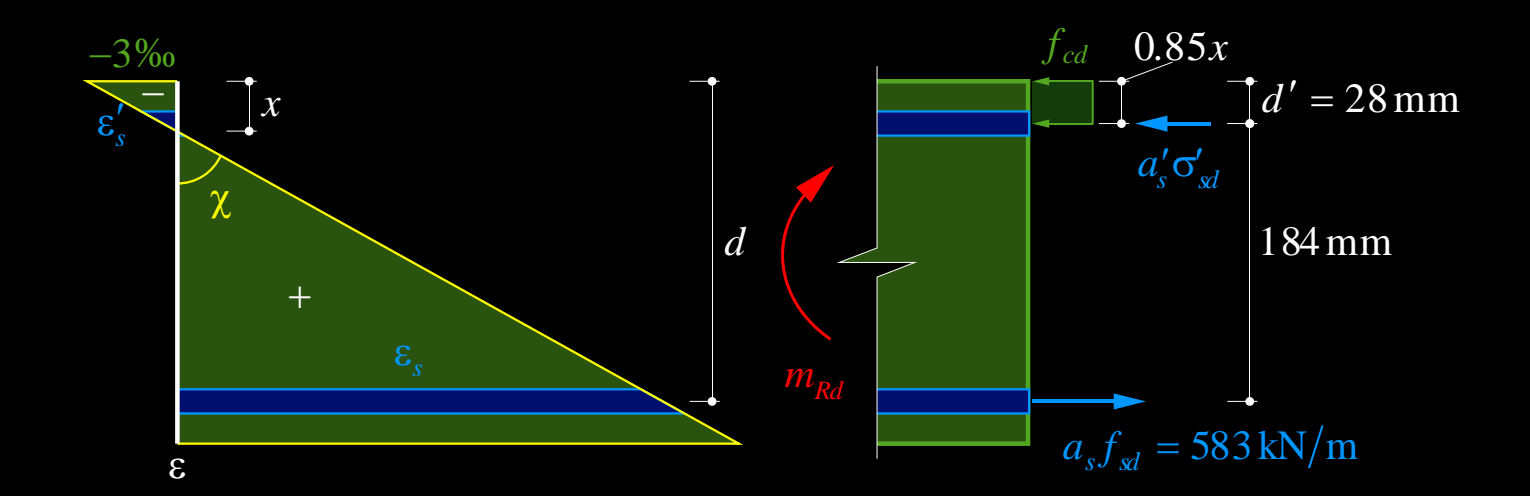
Starr-ideal plastisch, somit  $-f_{sd} \le \sigma'_s \le f_{sd}$ 

$$-a'_s \sigma'_s = 583 - 462 = 121 \text{kN/m} \text{ (GGW)}$$

$$m_{Rd} \approx 0.184 \cdot 583 + \frac{0.028}{2} \cdot 462 = 113.7 \,\text{kNm/m}$$

#### Beispiel, Platte mit Bewehrung auf Biegedruckseite

3. Berechnung nach SIA 262 (mit Dehnungsbegrenzung)



$$\chi' = 28 \,\text{mm}$$
 $\chi = \frac{0.003}{x}, \ \varepsilon'_s = 0.003 \cdot (1 - \frac{d'}{x})$ 

GGW:

$$a_s f_{sd} - 0.85x \cdot f_{cd} - a_s' E_s \varepsilon_s' = 0$$

(Annahme:  $d' \leq x$ )

GGW ergibt quadratische Gleichung für  $x \to x = 32.9 \,\text{mm} > d'$  (Annahme i.O.) daraus  $\varepsilon'_s = 0.44$  ‰,  $\sigma'_s = 91$  MPa,  $\sigma'_s a'_s = 122 \,\text{kN/m}$ ,  $\varepsilon_s = 16.4$  ‰  $m_{Rd} = 0.212 \cdot 583 - 0.028 \cdot 122 - \frac{0.85 \cdot 0.033}{2} \cdot 461 = 113.7 \,\text{kNm/m}$ 

Duktilitätsbedingung: x / d = 0.16 < 0.35 i.O.

#### Beispiel, Platte mit Bewehrung auf Biegedruckseite

#### Vergleich:

- 1. Abschätzung  $m_{Rd}$  ohne Berücksichtigung der Druckbewehrung
- 2. Starr-ideal plastische Berechnung (keine Dehnungsbegrenzung)
- 3. Berechnung nach SIA 262 (mit Dehnungsbegrenzung)

"Genaues" Resultat mit Berücksichtigung der Druckbewehrung:  $m_{Rd,3} = 113.7 \text{ kNm/m} \rightarrow \text{aufwändig zu rechnen, i.A. mit Querschnittsprogrammen}$ 

 $m_{Rd,1} = 113.3 \text{ kNm/m} \approx m_{Rd,3} \rightarrow \text{für Praxis i.A. ausreichend, kleine Abweichung}$   $m_{Rd,2} = 113.7 \text{ kNm/m} \approx m_{Rd,3} \rightarrow \text{Annahme starr-ideal plastisches Verhalten unüblich}$ 

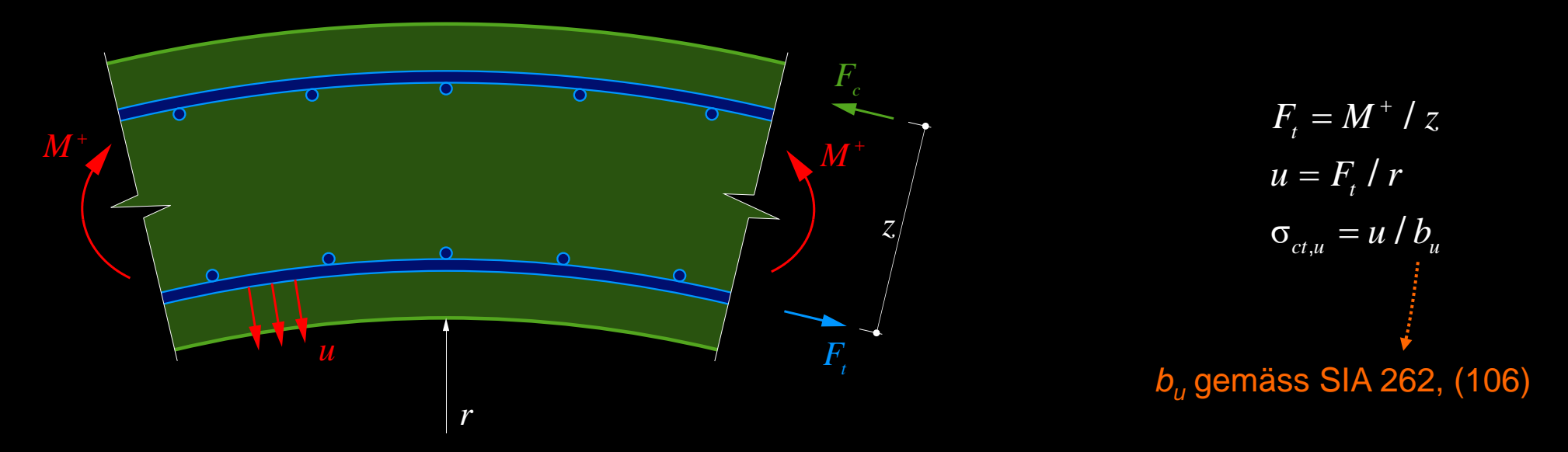
Fast gleich, weil neutrale Achse sehr nahe der für ideal-plastische Verhältnisse angenommenen (bei d'), i.A. grössere Unterschiede!

NB: Falls Druckbewehrung für Tragsicherheit notwendig → Abmessungen zu knapp gewählt, nur in Ausnahmen sinnvoll.

NB: Bewehrung auf Biegedruckseite kann auch auf Zug belastet sein. Das ist der Fall, wenn x < d' (siehe [1], Seite 2.8).

## Biegung im Aufriss gekrümmter Träger – Umlenkkräfte

#### Beispiel: Tunnelgewölbe unter positivem Ringbiegemoment



Bei positivem Moment (Zug auf Innenseite) besteht die Gefahr, dass die innere Bewehrung ausgerissen wird, da die Zugbewehrung ( $F_t$ ) Umlenkkräfte (u) erzeugt  $\rightarrow$  Aufnahme durch Überdeckungsbeton  $\rightarrow$  Zugspannungen im Beton ( $\sigma_{ct,u}$ )

Nachweis gemäss SIA 262, Ziff. 5.2.7.1: 
$$\sigma_{ct,u} \leq \frac{1}{3} \frac{f_{ctk,0.05}}{\gamma_c}$$
 wenn nicht erbracht  $\rightarrow$  Verbügelung

NB: Bei negativen Ringbiegemomenten erzeugen die Umlenkkräfte Querdruck

#### **Elastisches Querschnittsverhalten**

#### Elastisches Querschnittsverhalten im Zustand I und II

(früher: «elastische Festigkeitslehre», «n-Theorie»)

- Biegesteifigkeit kann mit der Theorie der aus linear elastischen Werkstoffen aufgebauten Verbundquerschnitte bestimmt werden (siehe Baustatik)
  - → E-Modul jeder Faser des Querschnitts über Wertigkeit n auf E-Modul des Betons bezogen (im Zustand II: Beton in Zugzone n=0)
- In Zustand I genügt meist die näherungsweise Berücksichtigung des reinen Betonquerschnitts (Erhöhung durch Bewehrung ca. 10...20%)
- Allgemeine Ermittlung der Querschnittswerte:

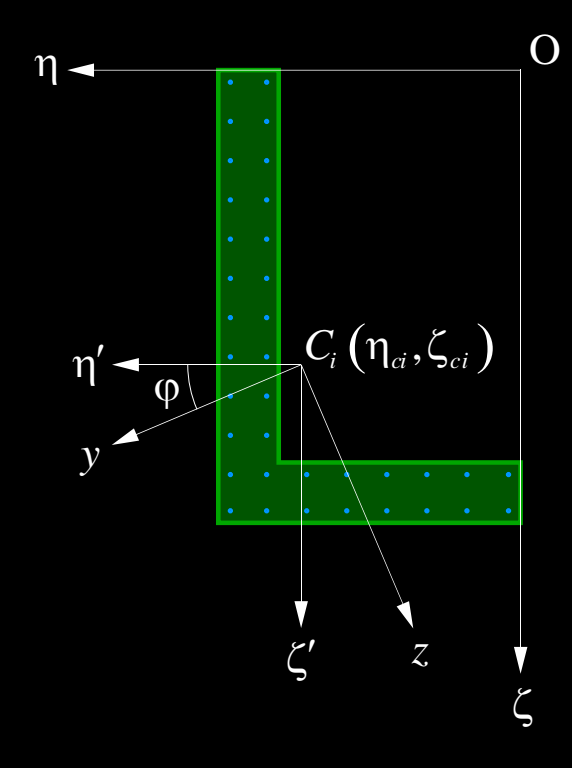
Wertigkeit und ideelle Querschnittsfläche: 
$$n(\eta, \zeta) = \frac{E(\eta, \zeta)}{E_c}$$
,  $A_i = \iint n \cdot dA$ ,

Schwerpunkt in 
$$(\eta, \zeta)$$
:  $\eta_{ci} = \frac{\iint \eta \cdot n \cdot dA}{A_i}, \zeta_{ci} = \frac{\iint \zeta \cdot n \cdot dA}{A_i}$ 

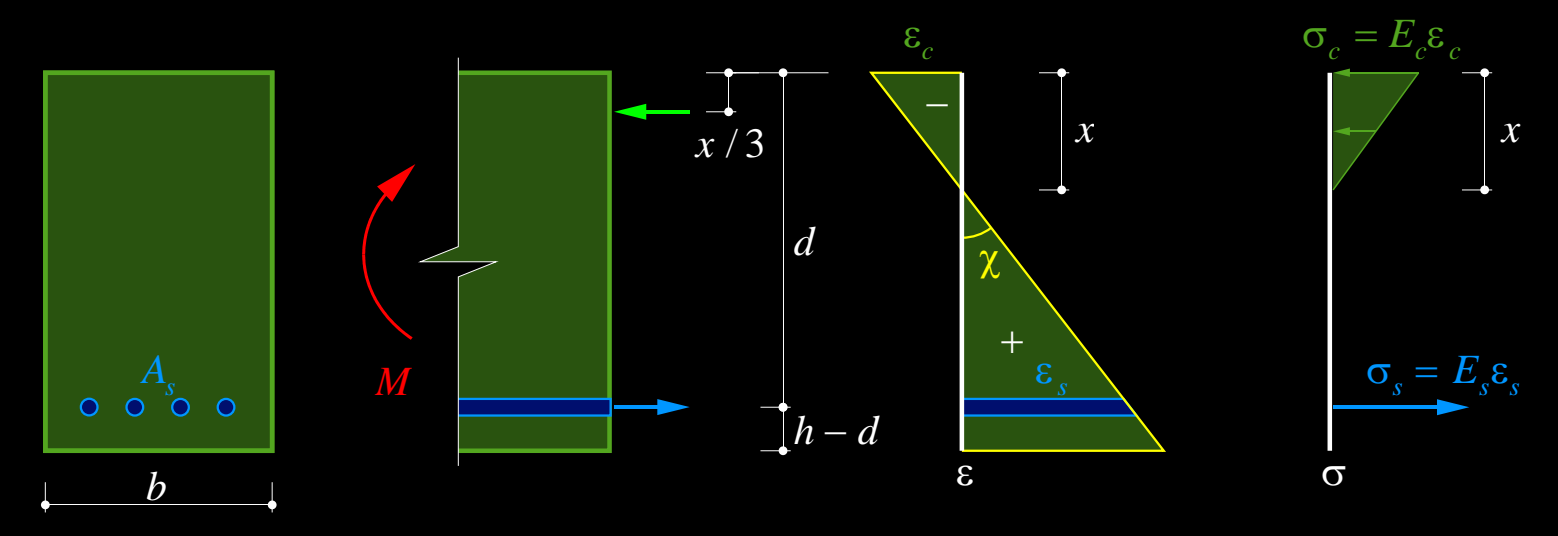
Flächenträgheitsmomente in 
$$(\eta', \zeta')$$
:  $I_{\eta'i} = \iint \zeta'^2 n \cdot dA$ ,  $I_{\zeta'i} = \iint \eta'^2 n \cdot dA$ ,  $C_{\eta'\zeta'i} = -\iint \eta' \zeta' \cdot n \cdot dA$ 

Hauptrichtungen 
$$(y, z)$$
 mit  $C_{yzi} = 0$ :  $\tan 2\varphi = \frac{2 \cdot C_{\eta'\zeta'i}}{I_{\eta'i} - I_{\zeta'i}}$ 

ightarrow Flächenträgheitsmomente des ideellen Querschnitts:  $I_{yi} = \int \int z^2 n \cdot dA$ ,  $I_{zi} = \int \int y^2 n \cdot dA$ 

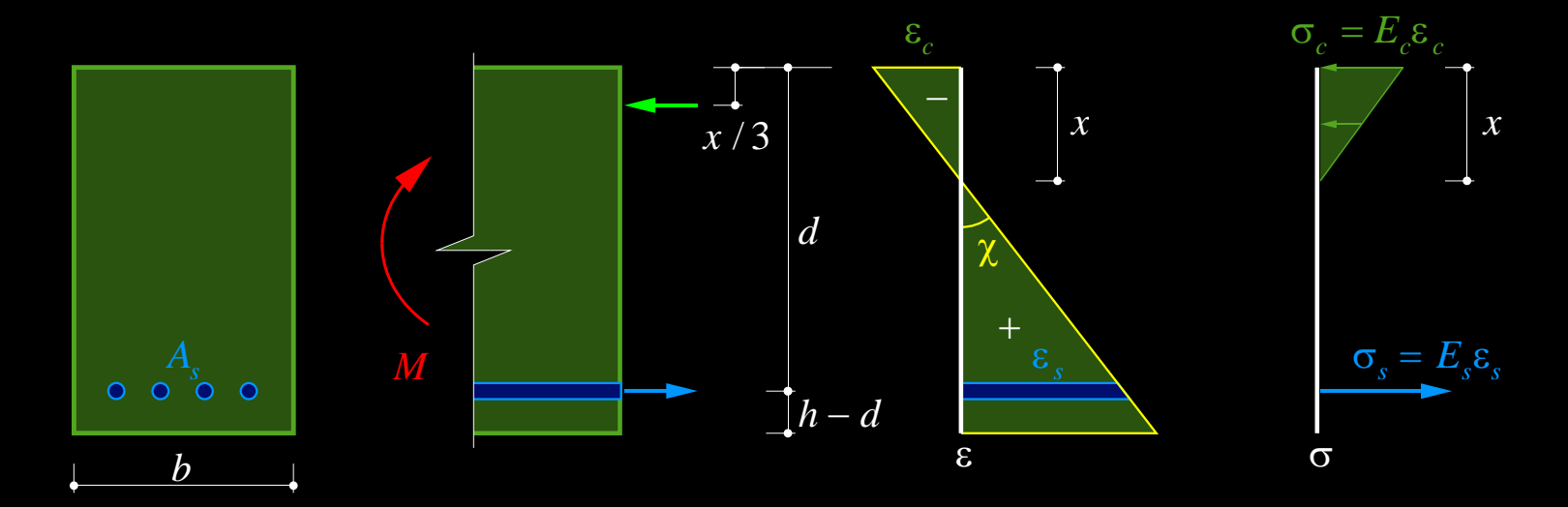


#### Elastisches Querschnittsverhalten im Zustand I und II



- Ermittlung im Zustand II analog Zustand I, aber Wertigkeit des Betons in der Zugzone = 0
- Für allgemeine Querschnitte umständlich → Querschnittsprogramme
   (früher wurden umfangreiche Tabellenwerke dafür verwendet, nicht mehr zeitgemäss)
- Für Rechteckquerschnitte mit und ohne Druckbewehrung können die Steifigkeit im Zustand I und Zustand II sowie die Spannungen in Beton und Bewehrung geschlossen angegeben werden (im Zustand II ist eigentlich  $\sigma_{sr} > E_s \, \varepsilon_{sm} \rightarrow$  steiferes Verhalten  $\rightarrow$  Zuggurtmodell)
- Querschnittssteifigkeit unabhängig von Beanspruchung (d.h. effektiv Querschnittswerte)
- Anwendung: Ermittlung von Spannungen für Ermüdungsnachweise (und Gebrauchszustand)

#### Elastisches Querschnittsverhalten im Zustand II, ohne Druckbewehrung



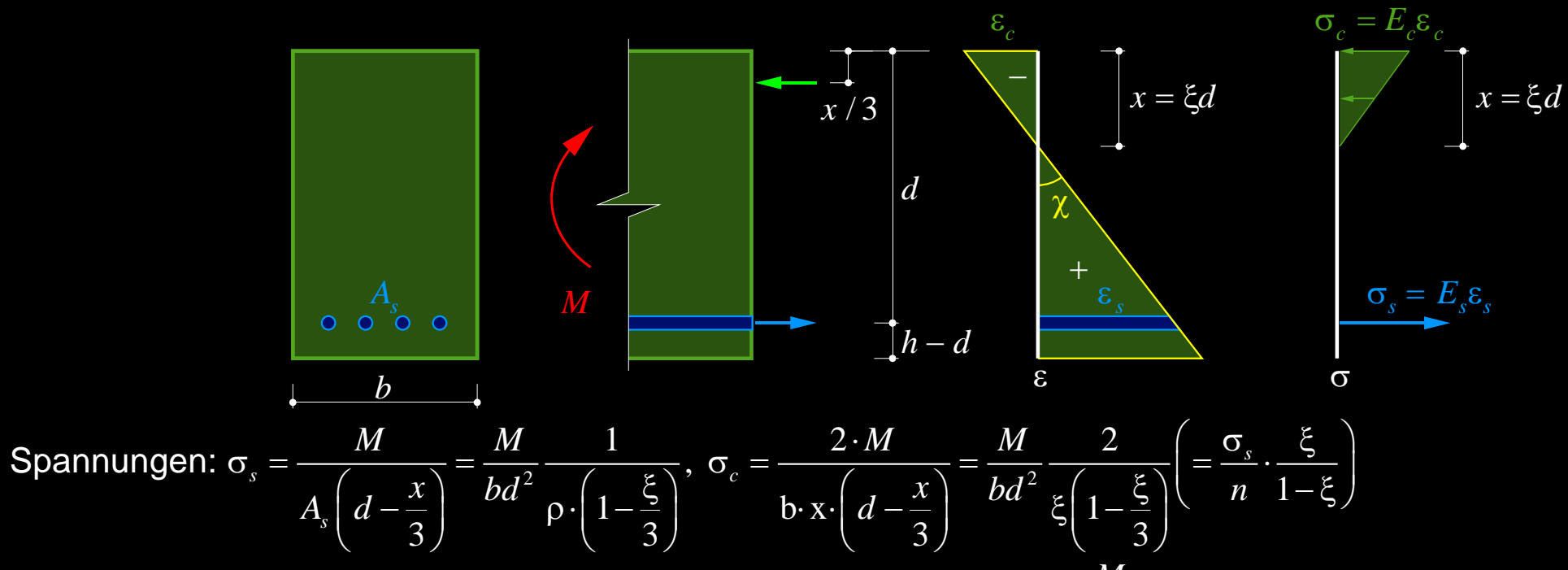
Ebenbleiben, linear elastisches Verhalten: 
$$\varepsilon_s = \frac{d-x}{x} |\varepsilon_c|$$
,  $\sigma_s = \frac{E_s}{E_c} \frac{(d-x)}{x} |\sigma_c|$ 

Druckzonenhöne (aus N = 0): 
$$\frac{x}{2}b \cdot |\sigma_c| = A_s \cdot \sigma_s = \rho \cdot b \cdot d \cdot \frac{(d-x)}{x} \frac{E_s}{E_c} |\sigma_c| \rightarrow \frac{x}{2} = n \cdot \rho \cdot d \cdot \frac{(d-x)}{x} \rightarrow x^2 + 2 \cdot n \cdot \rho \cdot d \cdot x - 2 \cdot n \cdot \rho \cdot d^2 = 0$$

$$\rightarrow \qquad x = d \frac{-2 \cdot n \cdot \rho + \sqrt{4 \cdot n^2 \rho^2 + 8 \cdot n \cdot \rho}}{2} \qquad \rightarrow \qquad \frac{x}{d} = \xi = \sqrt{n^2 \rho^2 + 2 \cdot n \cdot \rho} - n \cdot \rho \qquad \text{mit} \qquad \rho = \frac{A_s}{bd}, \ n = \frac{E_s}{E_c}$$

$$\Rightarrow x = d \frac{-2 \cdot n \cdot \rho + \sqrt{4 \cdot n^2 \rho^2 + 8 \cdot n \cdot \rho}}{2} \qquad \Rightarrow \qquad \frac{x}{d} = \xi = \sqrt{n^2 \rho^2 + 2 \cdot n \cdot \rho} - n \cdot \rho \qquad \text{mit} \qquad \rho = \frac{A_s}{bd}, \ n = \frac{E}{E}$$

#### Elastisches Querschnittsverhalten im Zustand II, ohne Druckbewehrung

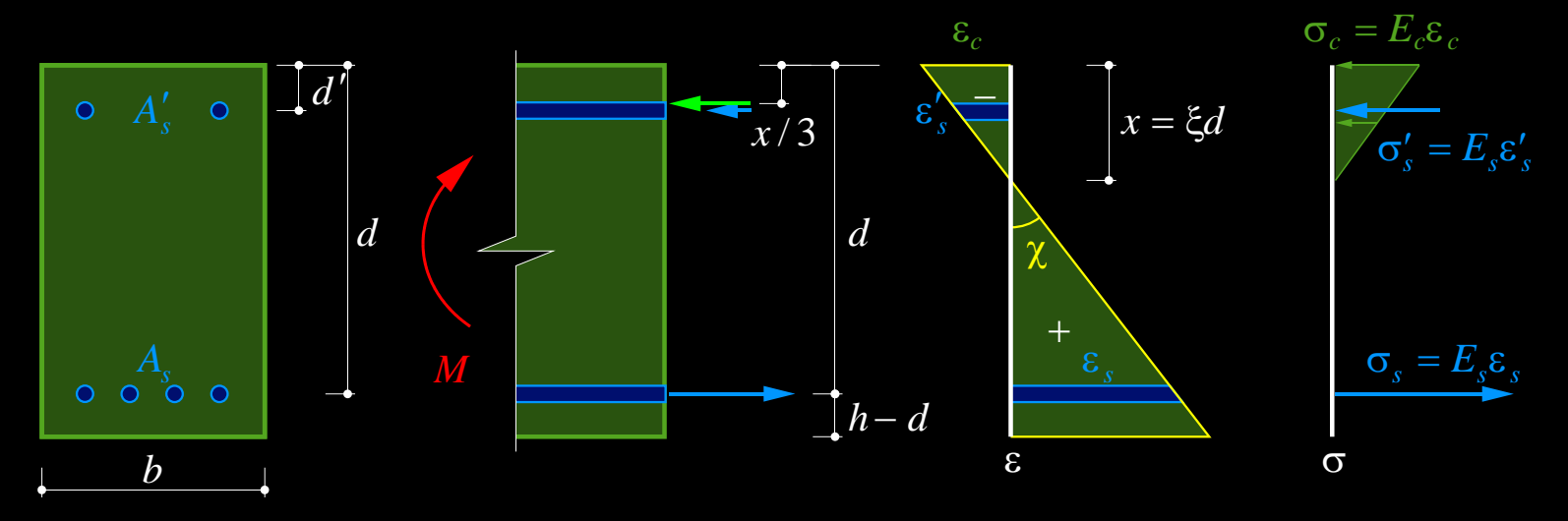


(Vergleich: Beton-Randspannungen im ungerissenen Zustand:  $\sigma_c = 6 \frac{M}{bd^2}$ )

Krümmung und Biegesteifigkeit: 
$$\chi = \frac{\varepsilon_s}{d-x}$$
,  $M = A_s \cdot \sigma_s \cdot \left(d - \frac{x}{3}\right) = A_s E_s (d-x) \left(d - \frac{x}{3}\right) \chi$ 

$$\Rightarrow \qquad EI^{II} = A_s E_s (d-x) \left(d - \frac{x}{3}\right) = A_s E_s \cdot d^2 (1-\xi) \left(1 - \frac{\xi}{3}\right) \qquad \text{mit} \qquad \xi = \frac{x}{d} = \sqrt{n^2 \rho^2 + 2 \cdot n \cdot \rho} - n \cdot \rho$$

#### Elastisches Querschnittsverhalten im Zustand II, mit Druckbewehrung



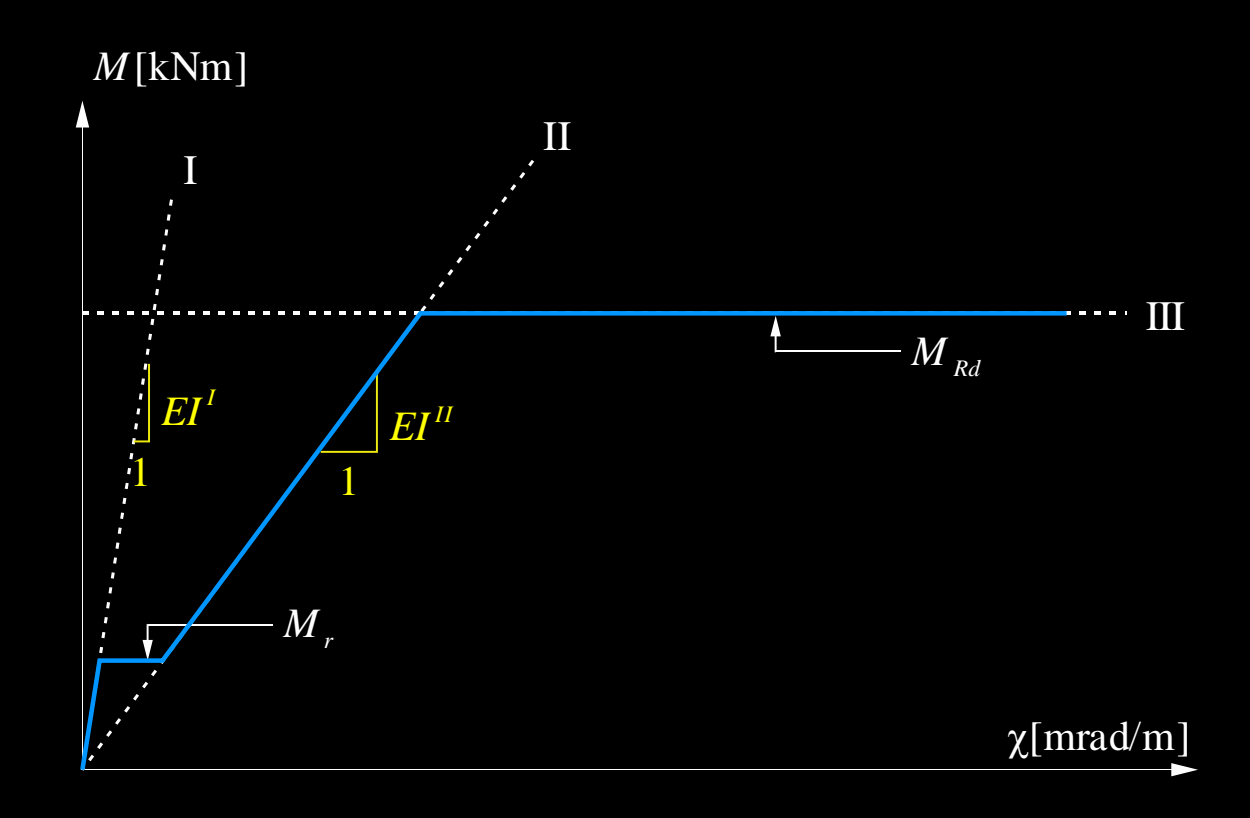
Analoge Herleitung wie ohne Druckbewehrung (Annahme x > d), siehe [1] Seite 2.15:

Druckzonenhöne (aus 
$$N=0$$
): 
$$\frac{x}{d} = \xi = \sqrt{\left[n \cdot \rho + \rho'(n-1)\right]^2 + 2\left[n \cdot \rho + \frac{d'}{d}\rho'(n-1)\right]} - \left[n \cdot \rho + \rho'(n-1)\right]$$
Spannungen: 
$$\sigma_s = \frac{M}{bd^2} \frac{1}{\rho \cdot \left(1 - \frac{\xi}{3}\right) + \rho'\left(\frac{\xi}{3} - \frac{d'}{d}\right)\left(\frac{\xi - d'/d}{1 - \xi}\right)}, \quad \sigma'_s = \sigma_s \cdot \frac{\xi - d'/d}{1 - \xi}, \quad \sigma_c = \frac{\sigma_s}{n} \cdot \frac{\xi}{1 - \xi}$$

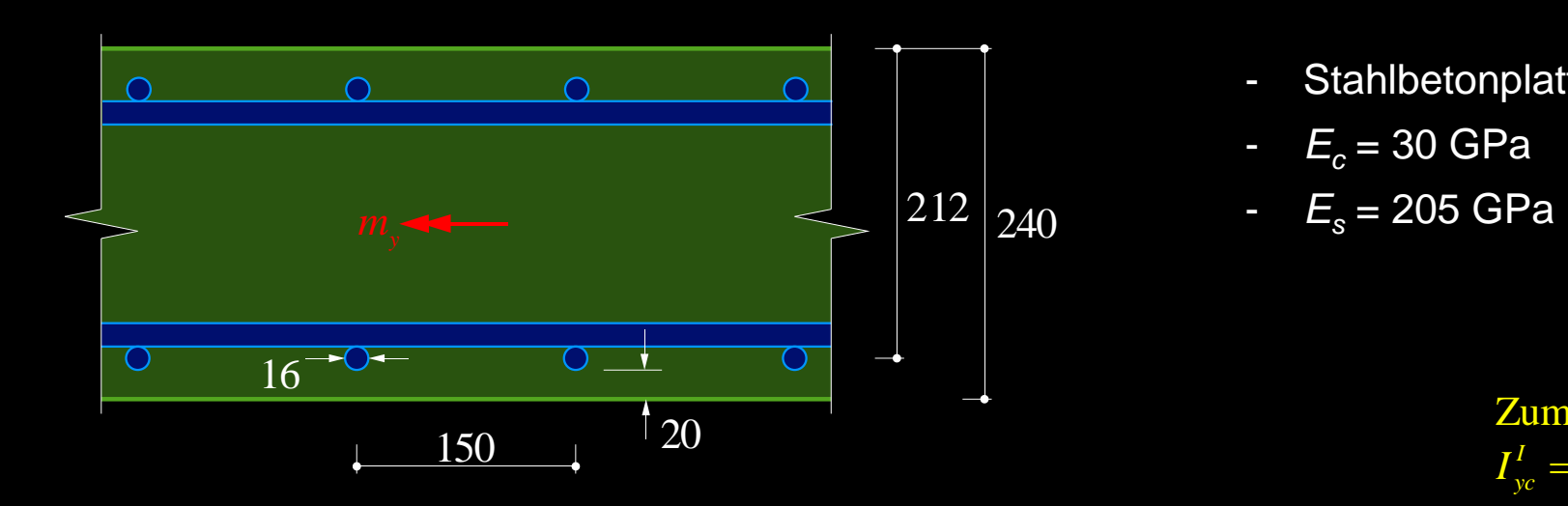
Biegesteifigkeit: 
$$EI^{II} = A_s E_s (d-x)^2 + A_s' (E_s - E_c) (x - d')^2 + \frac{b \cdot x^3 E_c}{3}$$
 mit  $\rho = \frac{A_s}{bd}$ ,  $\rho' = \frac{A_s'}{bd}$ ,  $n = \frac{E_s}{E_c}$ 

## Elastische Biegesteifigkeit – *M*-χ-Diagramm

#### **Elastisches Querschnittsverhalten – Momenten-Krümmungs-Verhalten**



#### Beispiel ([1], 2.13f), Biegesteifigkeit einer Platte (ohne Berücksichtigung der Druckbewehrung)



- Stahlbetonplatte, h = 240 mm

Zum Vergleich:

 $\rightarrow I_{vi}^I = 1.06 \cdot I_{vc}^I$ 

 $I_{vc}^{I} = 1.15 \cdot 10^{9} \text{ mm}^{4}/\text{m}$ 

#### Zustand I

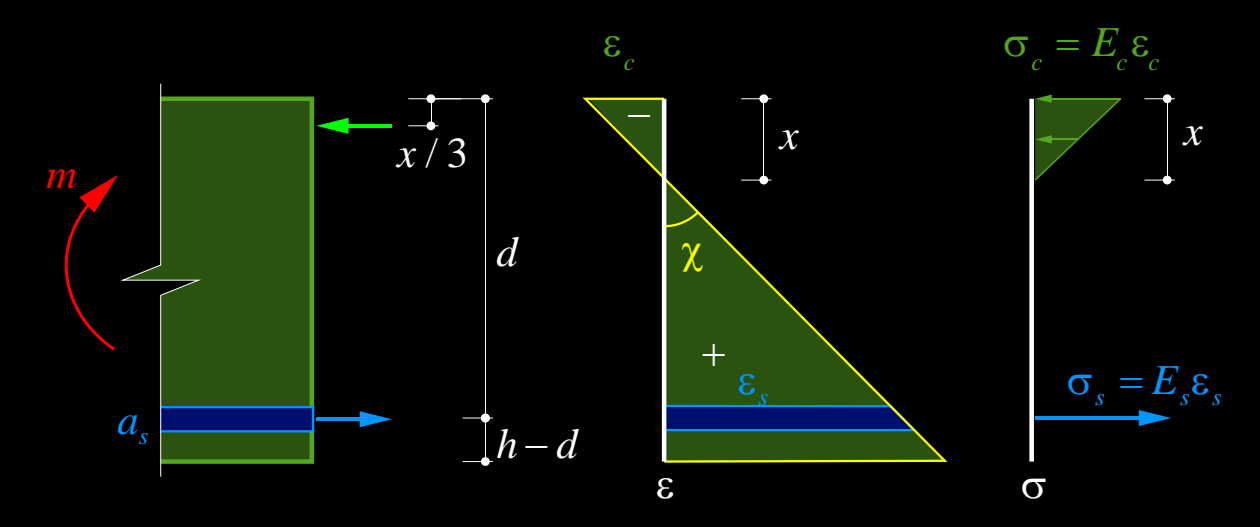
Ideelle Querschnittsfläche: 
$$A_i^I = 240 \cdot 1'000 + 1'340 \cdot \left(\frac{205}{30} - 1\right) = 247'817 \text{ mm}^2/\text{m}$$

Schwerpunkt: 
$$\zeta_C = \frac{120 \cdot 240 \cdot 1'000 + 212 \cdot 7'817}{247'817} = 122.9 \text{ mm}$$

Trägheitsmoment: 
$$I_{yi}^{I} = \frac{240^{3} \cdot 1'000}{12} + 240'000 \cdot (122.9 - 120)^{2} + 1340 \cdot \left(\frac{205}{30} - 1\right) \cdot (122.9 - 212)^{2} = 1.22 \cdot 10^{9} \text{ mm}^{4}/\text{m}$$

$$\rightarrow EI^I = E_c I_{vi} = 36.6 \,\mathrm{MNm^2/m}$$

Beispiel ([1], 2.13f), Biegesteifigkeit einer Platte (ohne Berücksichtigung der Druckbewehrung)



#### Zustand II

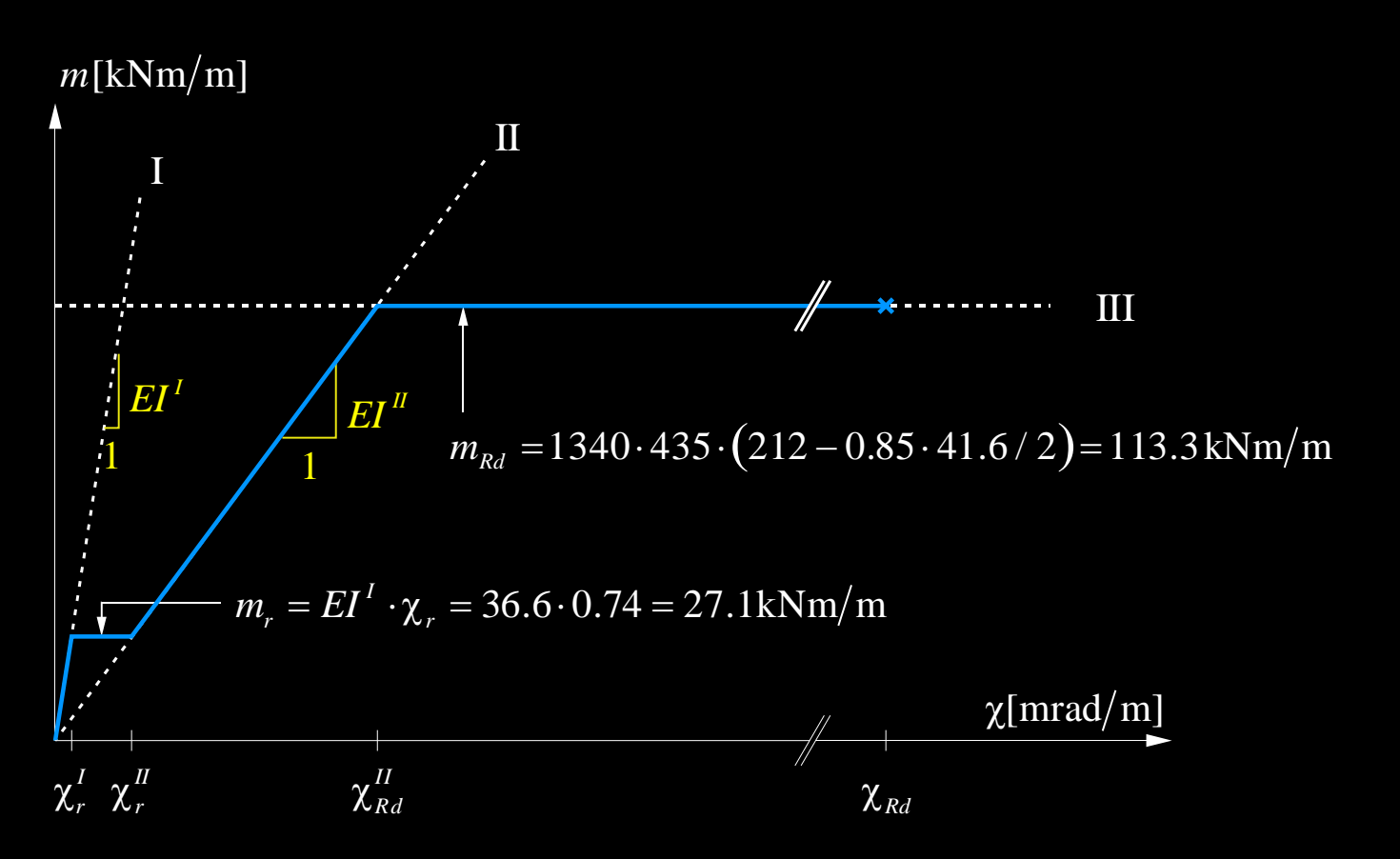
Geometrischer Bewehrungsgehalt: 
$$\rho = \frac{1'340}{212 \cdot 1000} = 0.63 \%$$

Druckzonenhöhe: 
$$x = 212 \cdot \left( \sqrt{(0.0063 \cdot 6.83)^2 + 2 \cdot 0.0063 \cdot 6.83} - 0.0063 \cdot 6.83 \right) = 53.8 \text{ mm}$$

$$\rightarrow EI^{II} = \frac{M}{\chi} = a_s E_s (d-x) \left(d-\frac{x}{3}\right) = 1340 \cdot 205'000 \cdot (212-53.8) \cdot \left(212-\frac{53.8}{3}\right) = 8.4 \text{ MNm}^2/\text{m} \approx 0.23 \cdot EI^{I}$$
Hebelarm der inneren Kräfte

## Elastische Biegesteifigkeit – *M*-χ-Diagramm

Beispiel ([1], 2.13f), Elastisches Querschnittsverhalten – Momenten-Krümmungs-Diagramm



$$EI^{II} = 8.4 \text{MNm}^2/\text{m}$$

$$\chi_r^I = \frac{f_{ctm}}{E_c (h - z_c)} = \frac{2.6}{30 \cdot 117.1} = 0.7 \frac{\text{mrad}}{\text{m}} = \frac{m_r}{EI^I}$$

$$\chi_r^{II} = \frac{m_r}{EI^{II}} = \frac{27.1}{8.4} = 3.2 \frac{\text{mrad}}{\text{m}}$$

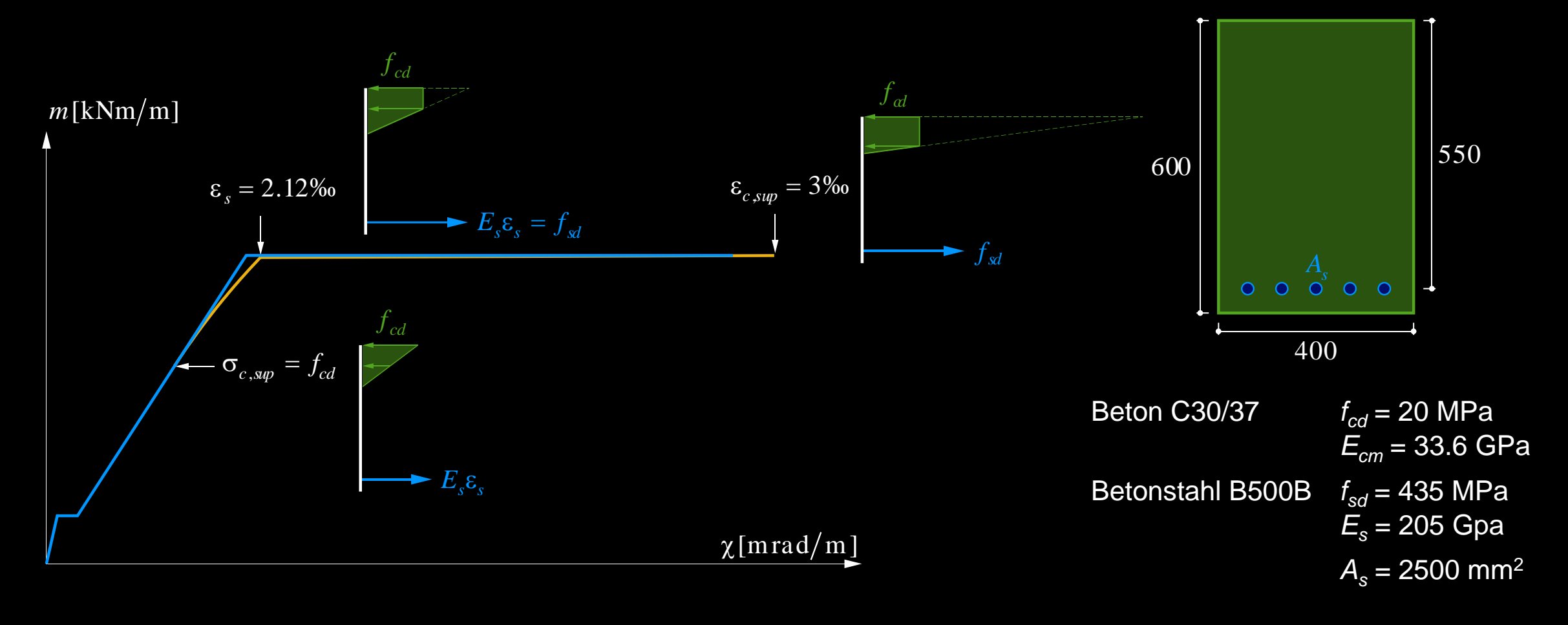
$$\chi_{Rd}^{II} = \frac{m_{Rd}}{EI^{II}} = \frac{113.3}{8.4} = 13.4 \frac{\text{mrad}}{\text{m}}$$

 $EI^{I} = 36.6 \text{MNm}^{2}/\text{m}$ 

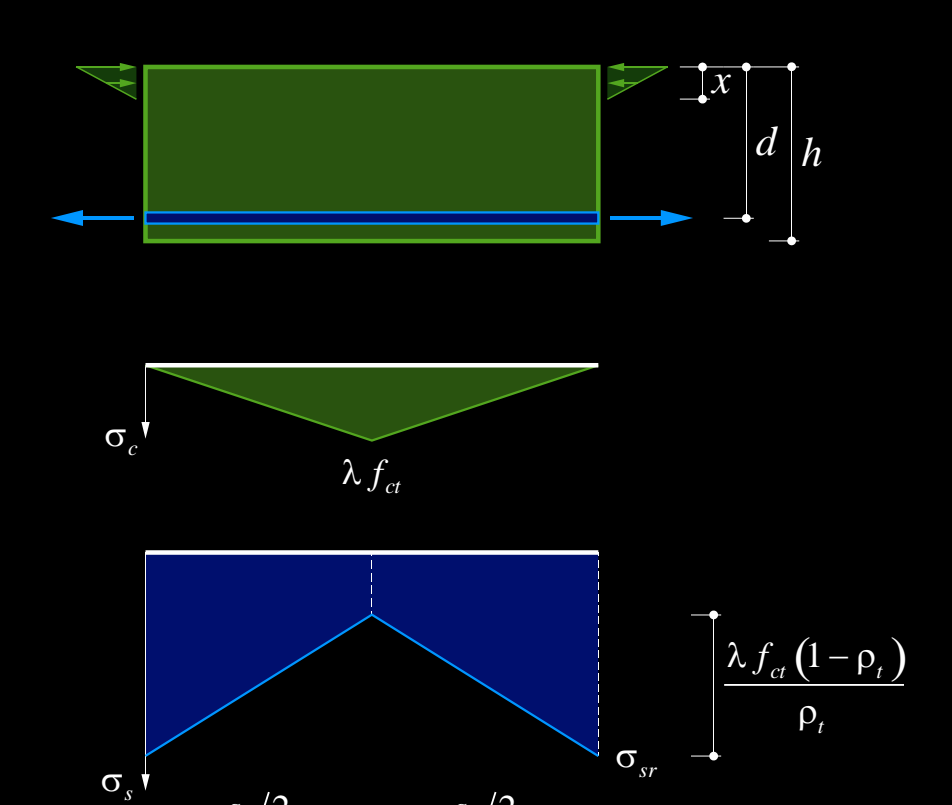
$$\chi_{Rd} = \frac{3\%}{x} = \frac{3\%}{0.0538} = 55.8 \frac{\text{mrad}}{\text{m}}$$

## Elastische Biegesteifigkeit – *M*-χ-Diagramm

Elastisches Querschnittsverhalten – Momenten-Krümmungs-Verhalten mit Berücksichtigung der Begrenzung der Betonspannungen auf  $f_{cd}$ 



#### [1], Seite 2.16f



**Zugversteifung** bei Biegebeanspruchung analog zu Verhalten unter reinem Zug:

- $\rightarrow$  bei Erreichen des Rissmoments  $M_r$  entstehen Risse im Abstand  $s_r$ , dazwischen wirkt Beton auf Zug noch mit
- → mittlere Stahldehnung und somit mittlere Krümmung reduziert

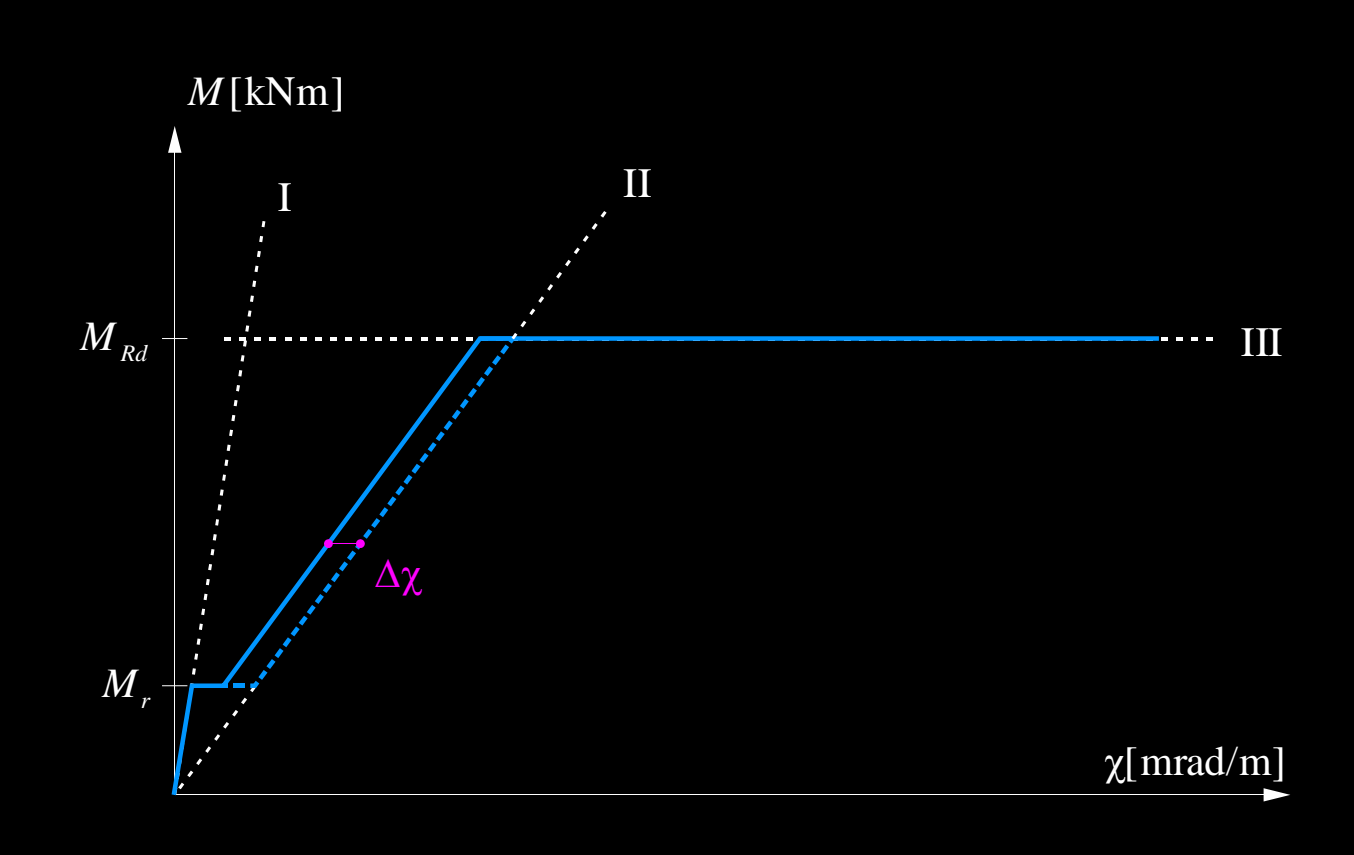
Mittlere Dehnungsreduktion (siehe Kap. 3.1):

$$\Delta \varepsilon = \frac{\lambda \cdot f_{ct} (1 - \rho_t)}{2 \cdot \rho_t E_s}$$

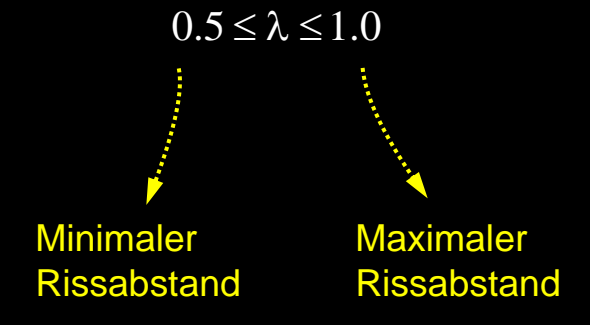
Mittlere Krümmungsreduktion (analog):

$$\chi = \frac{\varepsilon_s}{(d-x)} \to \Delta \chi = \frac{\Delta \varepsilon}{(d-x)} = \frac{\lambda \cdot f_{ct}(1-\rho_t)}{2 \cdot \rho_t E_s(d-x)}$$

[1], Seite 2.16f

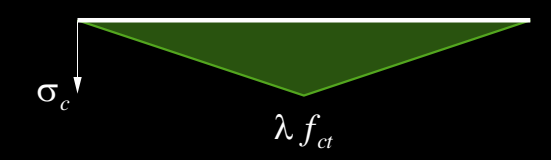


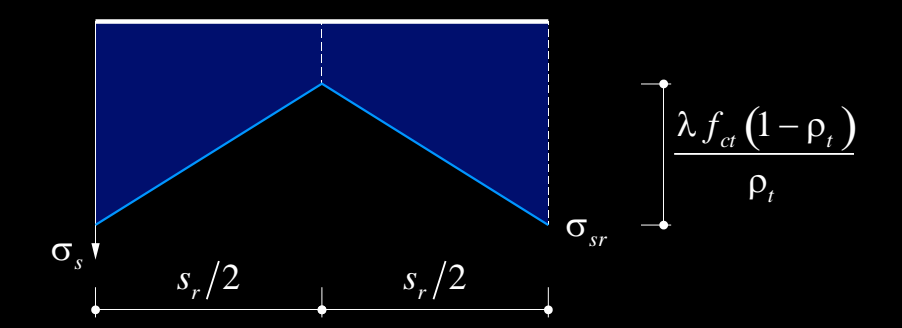
$$\Delta \chi = \frac{\lambda \cdot f_{ct}(1 - \rho_t)}{2 \cdot \rho_t E_s(d - x)}$$



#### [1], Seite 2.16f







Setzt man die Stahlspannung am Riss

$$\sigma_{sr0} = \frac{M_r(d-x)E_s}{EI^{II}}$$

beim Erreichen von  $M_r$  gleich der Spannung

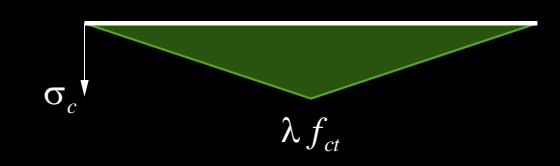
$$\sigma_{sr0} = f_{ct} \left( \frac{1}{\rho_t} + n - 1 \right)$$

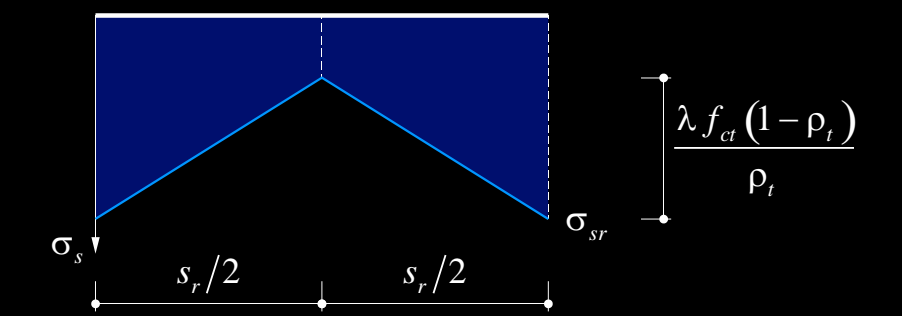
beim Reissen eines Zuggurtelements, resultiert der äquivalente Bewehrungsgehalt  $\rho_t$ :

$$\rho_t = \frac{1}{\frac{M_r(d-x)E_s}{f_{ct}EI^{II}} + 1 - r}$$

#### [1], Seite 2.16f







Krümmungsreduktion ( $\rho_t$  in Formel unten rechts auf Folie 59 rückeingesetzt):

$$\Delta \chi = \frac{\lambda \cdot f_{ct}(1 - \rho_t)}{2 \cdot \rho_t E_s(d - x)} = \frac{\lambda}{2} \left[ \frac{M_r}{EI^{II}} - \frac{f_{ct}}{E_c(d - x)} \right]$$

Rissabstände:

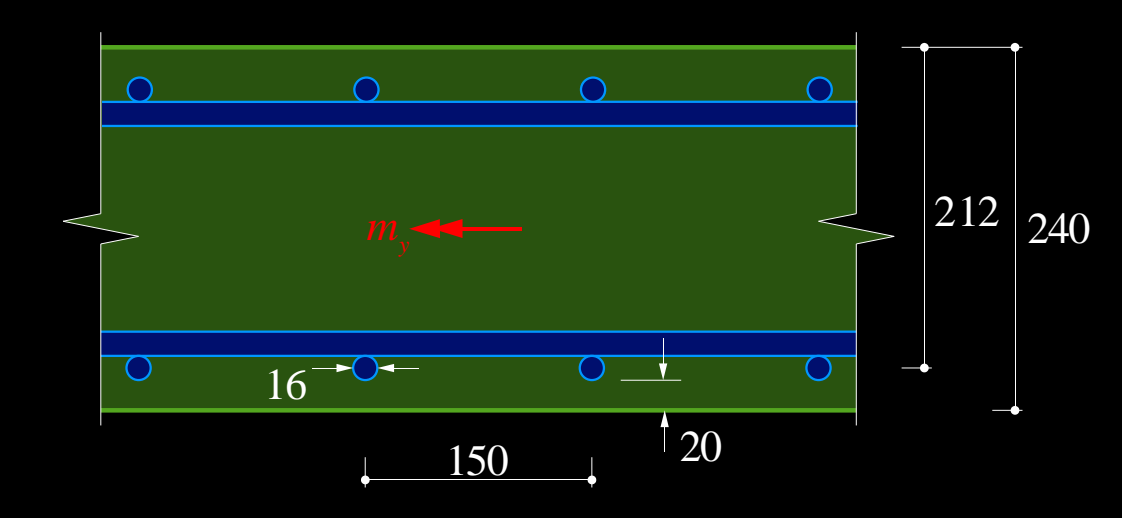
$$s_r = \lambda \cdot s_{r0}, \quad s_{r0} = \frac{\emptyset \cdot (1 - \rho_t)}{4 \cdot \rho_t}$$

Rissbreiten:

$$w_r = \frac{\lambda \cdot s_{r0} (2 \cdot \sigma_{sr} - \lambda \cdot \sigma_{sr0})}{2 \cdot E_s} \qquad (\sigma_{sr} \ge \sigma_{sr0})$$

mit 
$$\rho_t = \frac{1}{\frac{M_r(d-x)E_s}{f_{ct}EI^{II}} + 1 - n}$$

#### Beispiel ([1], 2.17), Stahlbetonplatte, h = 240 mm



Krümmungsreduktion:

$$\Delta \chi = \frac{\lambda}{2} \left[ \frac{m_r}{EI^{II}} - \frac{f_{ct}}{E_c(d-x)} \right]$$
$$= \begin{cases} 0.69 \text{ mrad/m}, \lambda = 0.5 \\ 1.38 \text{ mrad/m}, \lambda = 1.0 \end{cases}$$

Äquivalenter Bewehrungsgehalt:

$$\rho_t = 2.83 \%$$

$$\sigma_{sr0} = 2.6 \left( \frac{1}{0.028} + 6.83 - 1 \right) = 107 \text{ MPa}$$

$$s_{r0} = \frac{16 \cdot (1 - 0.028)}{4 \cdot 0.028} = 137 \text{ mm}$$

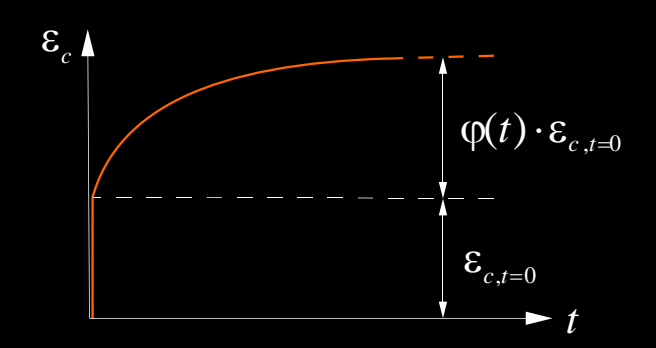
$$w_r = \frac{\lambda \cdot s_{r0} (2 \cdot \sigma_{sr} - \lambda \cdot \sigma_{sr0})}{2 \cdot E_s} \qquad (\sigma_{sr} \ge \sigma_{sr0})$$

$$\sigma_{sr} = \sigma_{sr0} \rightarrow 0.03 \text{ mm} \le w_r \le 0.04 \text{ mm}$$

$$\sigma_{sr} = f_{sd} \rightarrow 0.14 \text{ mm} \le w_r \le 0.25 \text{ mm}$$

[1], Seite 2.18f, SIA 262, Ziff. 3.1.2.6





Zunahme der Verformung bei konstanter Spannung

$$\varepsilon_{c}(t) = \varepsilon_{c,t=0}(1+\varphi(t))$$

Normalfall:

$$\varphi_{t=\infty} \cong 1.5...2.5$$

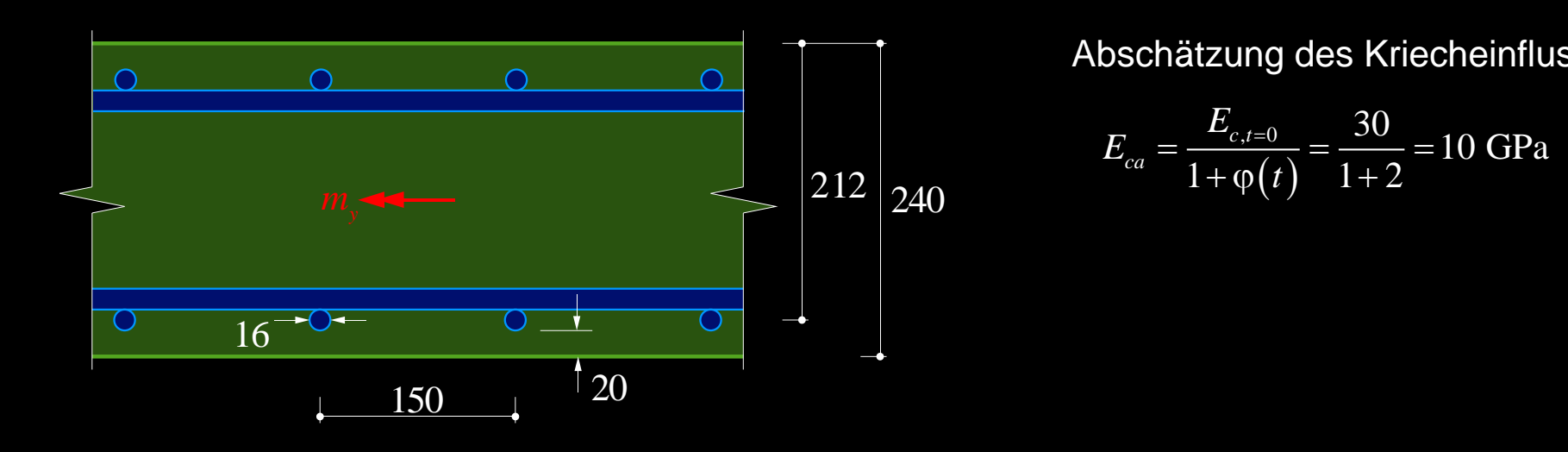
 Abschätzung des Kriecheinflusses über eine Abminderung des E-Moduls:

$$E_{ca} = \frac{E_{c,t=0}}{1 + \varphi(t)}$$

Berücksichtigung nach Theorie der Verbundquerschnitte

→ grosser Einfluss im Zustand I, weniger im Zustand II (aber nicht vernachlässigbar für z.B. Durchbiegungsberechnungen)

Beispiel ([1], 2.18f), Stahlbetonplatte, h = 240 mm (ohne Berücksichtigung Druckbewehrung)



Abschätzung des Kriecheinflusses für  $\varphi = 2$ 

$$E_{ca} = \frac{E_{c,t=0}}{1 + \varphi(t)} = \frac{30}{1+2} = 10 \text{ GPa}$$

#### Zustand I

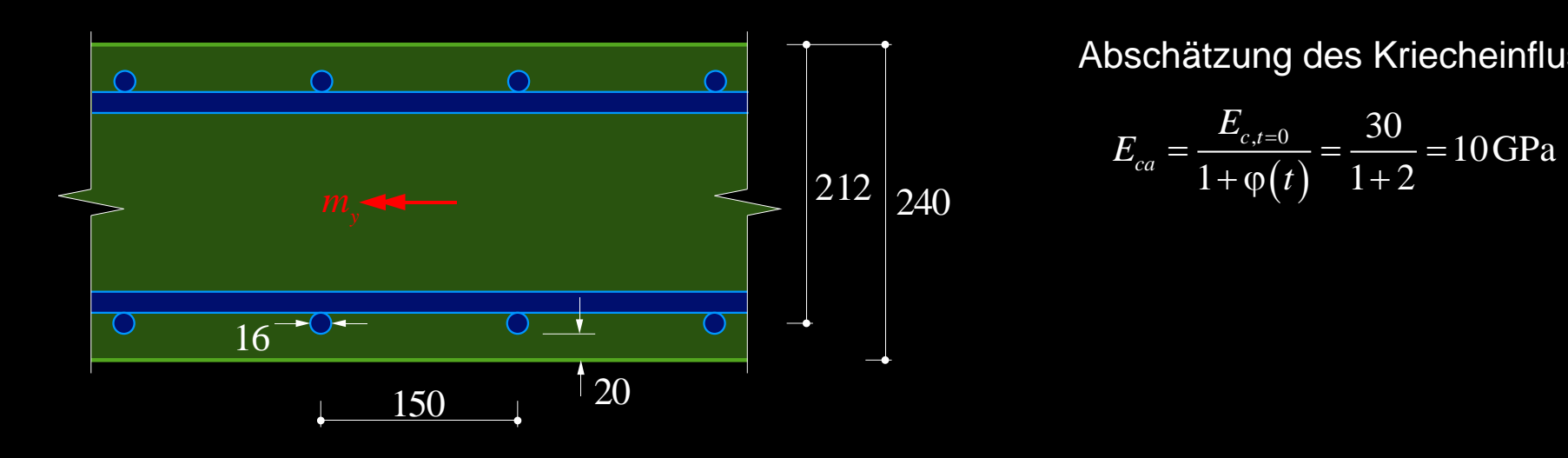
Ideelle Querschnittsfläche: 
$$A_i = 240 \cdot 1'000 + 1'340 \cdot \left(\frac{205}{10} - 1\right) = 266'130 \text{ mm}^2/\text{m}$$

Schwerpunkt: 
$$\zeta_C = \frac{120 \cdot 240 \cdot 1'000 + 212 \cdot 26'130}{266'130} = 129.0 \text{ mm}$$

Trägheitsmoment: 
$$I_{yi} = \frac{240^3 \cdot 1'000}{12} + 240'000 \cdot (129 - 120)^2 + 26'130 \cdot (129 - 212)^2 = 1.35 \cdot 10^9 \text{ mm}^4/\text{m}$$

$$\rightarrow EI_a^I = E_{ca}I_{vi} = 13.5 \text{ MNm}^2 / \text{m} = 0.37 EI^I$$

Beispiel ([1], 2.18f), Stahlbetonplatte, h = 240 mm (ohne Berücksichtigung Druckbewehrung)



Abschätzung des Kriecheinflusses für  $\varphi = 2$ 

$$E_{ca} = \frac{E_{c,t=0}}{1 + \varphi(t)} = \frac{30}{1 + 2} = 10 \,\text{GPa}$$

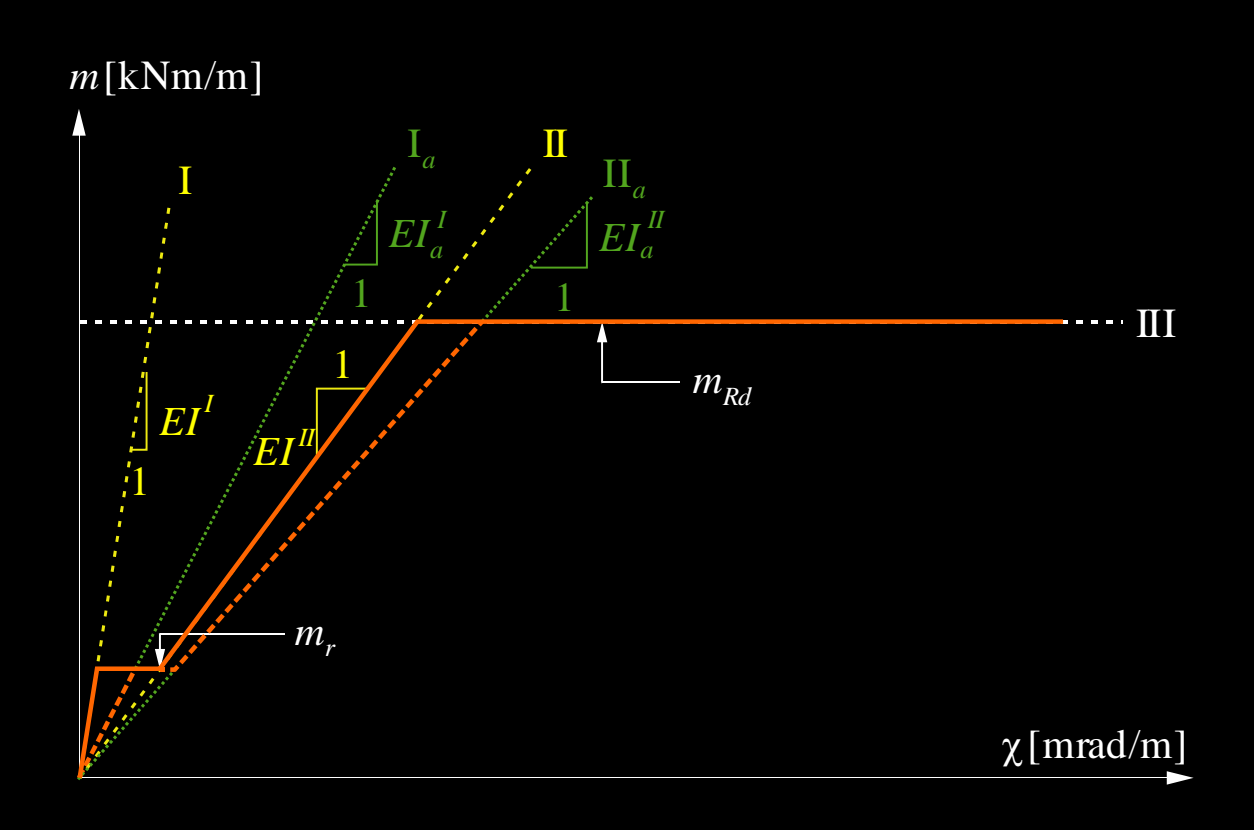
#### Zustand II

Geometrischer Bewehrungsgehalt: 
$$\rho = \frac{1'340}{212 \cdot 1'000} = 0.63 \%$$
,  $n = \frac{205}{10} = 20.5$ 

Druckzonenhöhe:  $x = 212 \cdot \left( \sqrt{(0.0063 \cdot 20.5)^2 + 2 \cdot 0.0063 \cdot 20.5} - 0.0063 \cdot 20.5 \right) = 83.8 \text{ mm}$ 

$$\rightarrow EI_a^{II} = \frac{M}{\chi} = a_s E_s (d-x) \left( d - \frac{x}{3} \right) = 1'340 \cdot 205'000 \cdot (212 - 83.8) \cdot \left( 212 - \frac{83.8}{3} \right) = 6.5 \text{ MNm}^2/\text{m} = 0.77 \cdot EI^{II}$$
Hebelarm der inneren Kräfte
$$\left( d - x \right) = \frac{\varepsilon_s}{\gamma}$$

Beispiel ([1], 2.18f), Momenten-Krümmungs-Diagramm





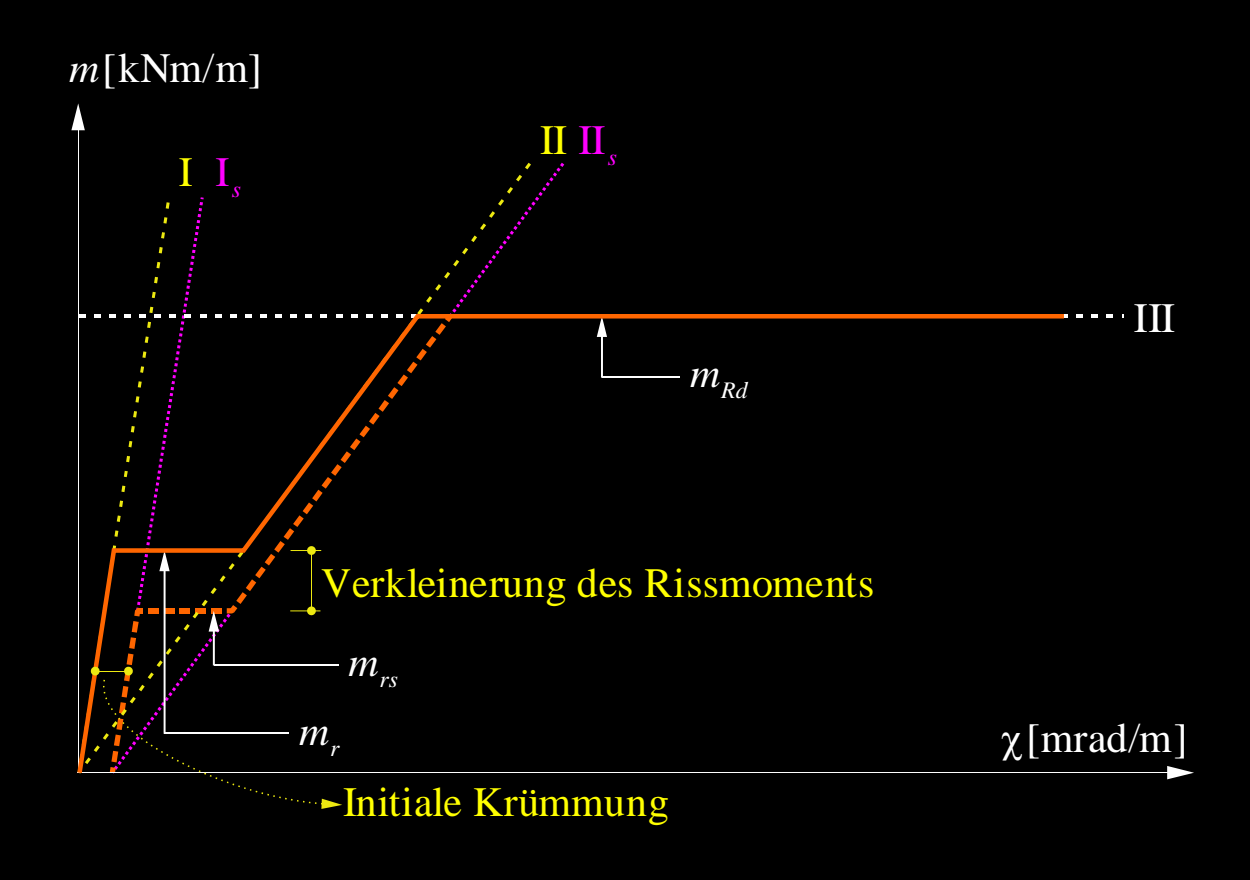
als im Zustand II

[1], Seite 2.19f, SIA 262, Ziff. 3.1.2.7

$$\varepsilon_{cs}(t) = \varepsilon_{cd}(t) + \varepsilon_{ca}(t)$$

- → Beton schwindet, Bewehrung schwindet nicht: Eigenspannungen in Stahlbetonbauteilen, bei statisch unbestimmten Systemen (innere) Zwängungen
  - $\rightarrow$  i.A. ergibt sich daraus eine initiale Krümmung (Verschiebung der Geraden I und II im M- $\chi$ -Diagramm)
  - → Verkleinerung des Rissmoments wegen Eigenspannungen
- → Beispiel siehe [1], Seite 2.20

[1], Seite 2.19f, SIA 262, Ziff. 3.1.2.7



#### Einfluss von Rissbildung, Zugversteifung, Kriechen und Schwinden

- 1. Grenzzustand der Gebrauchstauglichkeit
- → Im Gebrauchszustand sind Rissbildung, Zugversteifung, Kriechen und Schwinden grundsätzlich zu berücksichtigen. Sie beeinflussen die Steifigkeit im Zustand I (ungerissen) und II (gerissen-elastisch).
- → Mit einer Bewehrung auf der Biegedruckseite können die Kriechverformungen und der Schwindeinfluss im Zustand I und II reduziert werden.
- → Durchbiegungsberechnungen schlaff bewehrter Bauteile erfolgen in der Praxis, mit ausreichender Genauigkeit, unter Annahme eines gerissenen Querschnitts, unter Berücksichtigung des Kriechens (abgeminderter E-Modul). Die Zugversteifung und das Schwinden werden dabei meist vernachlässigt.
- 2. Grenzzustand der Tragsicherheit
- → Der Biegewiderstand (Zustand III) ist von Rissbildung, Zugversteifung, Kriechen und Schwinden weitgehend unabhängig (infolge Kriechen resultiert grundsätzlich auch im Grenzzustand der Tragsicherheit eine grössere Druckzonenhöhe = reduzierter Hebelarm = kleinerer Biegewiderstand unter ständigen Lasten. Ausser bei sehr hohem Anteil ständiger Lasten und grossen Bewehrungsgehalten kann dies jedoch vernachlässigt werden).
- 3. Grenzzustand der Ermüdung
- → Ermüdungsnachweise erfolgen auf Basis der Spannungen in Beton und Bewehrung im Zustand II (bei ungerissenen Querschnitten nicht massgebend).

#### Ermüdungsnachweise

[1], Seite 2.35ff, SIA 262, Ziff. 4.3.8

Bei Bahnbrücken, Fahrbahnplatten von Strassenbrücken, Kranbahnträgern, Maschinenfundamenten etc. können Ermüdungsprobleme auftreten. Ab 50'000 Spannungswechseln ist ein Ermüdungsnachweis für Beton und Bewehrung zu führen.

Ermüdungsnachweise erfolgen auf Basis der Spannungen in Beton und Bewehrung im Zustand II (bei ungerissenen Querschnitten nicht massgebend). Gegebenenfalls ist das nichtlineare Verhalten des Betons durch Anpassung der Wertigkeit n zu berücksichtigen.

Bei der konstruktiven Durchbildung ermüdungsgefährdeter Bauteile sind folgende Punkte zu beachten:

- → Schweissungen vermeiden (starke Reduktion der Ermüdungsfestigkeit insbesondere durch Punktschweissungen von Bewehrungskörben!)
- → Geschraubte Stösse vermeiden; wenn unumgänglich, reduzierte Ermüdungsfestigkeit beachten (Bahnbrücken: Zulassung durch SBB, sehr tiefe Dauerfestigkeiten)
- → Verankerungen und Kupplungen in Bereichen geringer Spannungswechsel anordnen
- → Querkraftbewehrung in Platten muss Längsbewehrung umfassen (Überdeckung beachten)

Bei Neubauten soll der Nachweis in der Regel aufgrund der Dauerfestigkeit erfolgen. Bei Bedarf kann eine genauere Untersuchung unter Berücksichtigung von Betriebslastfaktoren  $\lambda$  erfolgen ([1], Seite 2.35ff).

### **Ermüdungsnachweise**

[1], Seite 2.35ff, SIA 262, Ziff. 4.3.8

Der Nachweis der Ermüdungsfestigkeit der Bewehrung erfolgt auf Basis der ermüdungs-relevanten Spannungsdifferenzen  $\Delta \sigma_{sd} \left(Q_{fat}\right) = \sigma_{sd,\max} \left(Q_{fat}\right) - \sigma_{sd,\min} \left(Q_{fat}\right)$ , in der Form

$$\Delta\sigma(Q_{fat}) \leq 0.8\Delta\sigma_{sd,fat}$$
 (Dauerfestigkeit) resp.

$$\Delta \sigma_{sd} = \lambda \Delta \sigma_{sd} (Q_{fat}) \leq \Delta \sigma_{sd,fat}$$
 (Betriebsfestigkeit, mit Betriebslastfaktor  $\lambda$ )

In der Norm SIA 262, Tab. 13 finden sich Angaben zur rechnerischen Ermüdungsfestigkeit  $\Delta \sigma_{sd,fat}$ . Auswahl (Werte bei gebogenen Stäben in Funktion des Biegeradius abzumindern):

- gerade Stäbe  $\emptyset \le 20 \text{ mm}$ :  $\Delta \sigma_{sd, fat} = 145 \text{ MPa}$ 

- gerade Stäbe  $20 \le \emptyset \le 40 \text{ mm}$ :  $\Delta \sigma_{sd, fat} = 120 \text{ MPa}$ 

- vertikale Bügel  $\emptyset \le 16$  mm:  $\Delta \sigma_{sd,fat} = 135 \,\mathrm{MPa}$  (Biegeradius  $d_3$ )

- geschweisste Längsstösse:  $\Delta \sigma_{sd,fat} = 55 \,\mathrm{MPa}$ 

- mechanische Stabverbindungen:  $\Delta \sigma_{sd,fat} = 55 \,\mathrm{MPa}$  (SBB: nochmals tiefere Werte!)

Die Ermüdungsfestigkeit des Betons (aufnehmbare Schwingbreite) nimmt mit zunehmender Mittelspannung ab. Der Nachweis erfolgt daher aufgrund der maximalen und minimalen Spannungen ( $|\sigma_{cd}|_{max}$ ,  $|\sigma_{cd}|_{min}$ ) unter ermüdungsrelevanten Lasten (inkl. ständige Lasten!) in der Form (Darstellung im Goodman-Diagramm siehe [1], Seite 2.39):

$$|\sigma_{cd}|_{\text{max}} \le 0.5 \,\mathrm{k}_c \,f_{cd} + 0.45 \,\sigma_{cd}|_{\text{min}} \le 0.9 \,\mathrm{k}_c \,f_{cd}$$

# Ermüdungsnachweise

#### **Zustand II, elastisch**

(N.B. In Regel gerissen, obwohl  $M\left(Q_{fat}\right) < M_r$ , da  $M\left(Q_{\max}\right) > M_r$  Risse bleiben bestehen)

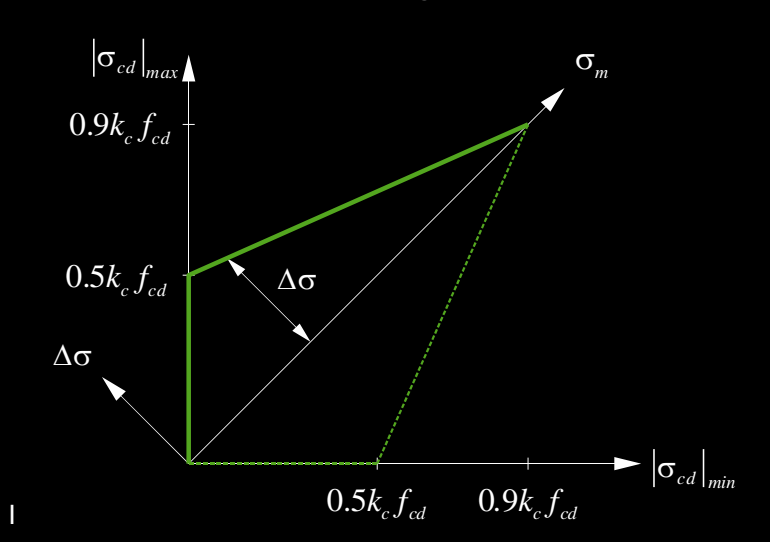
Druckzonenhöne: 
$$\frac{x}{d} = \sqrt{n^2 \rho^2 + 2 \cdot n \cdot \rho} - n \cdot \rho$$
 Spannungen:  $\sigma_s = \frac{M}{A_s \left(d - \frac{x}{3}\right)}$ ,  $\sigma_c = \frac{2 \cdot M}{b \cdot x \cdot \left(d - \frac{x}{3}\right)}$ 

wenn linear elastisch im gesamten Bereich bis  $\Delta \sigma_s \left( G, Q_{fat} \right)_{max}$  dann  $\Delta \sigma_{sd} \left( Q_{fat} \right) = \sigma_s \left( Q_{fat} \right)_{max} - \sigma_s \left( Q_{fat} \right)_{min}$  Selten zutreffend, evtl. bei Bauteilen mit hoher Vorspannung oder Druckkraft!

Beton: 
$$|\sigma_{cd}|_{max} \le 0.5 \, k_c \, f_{cd} + 0.45 \, |\sigma_{cd}|_{min} \le 0.9 \, k_c \, f_{cd}$$

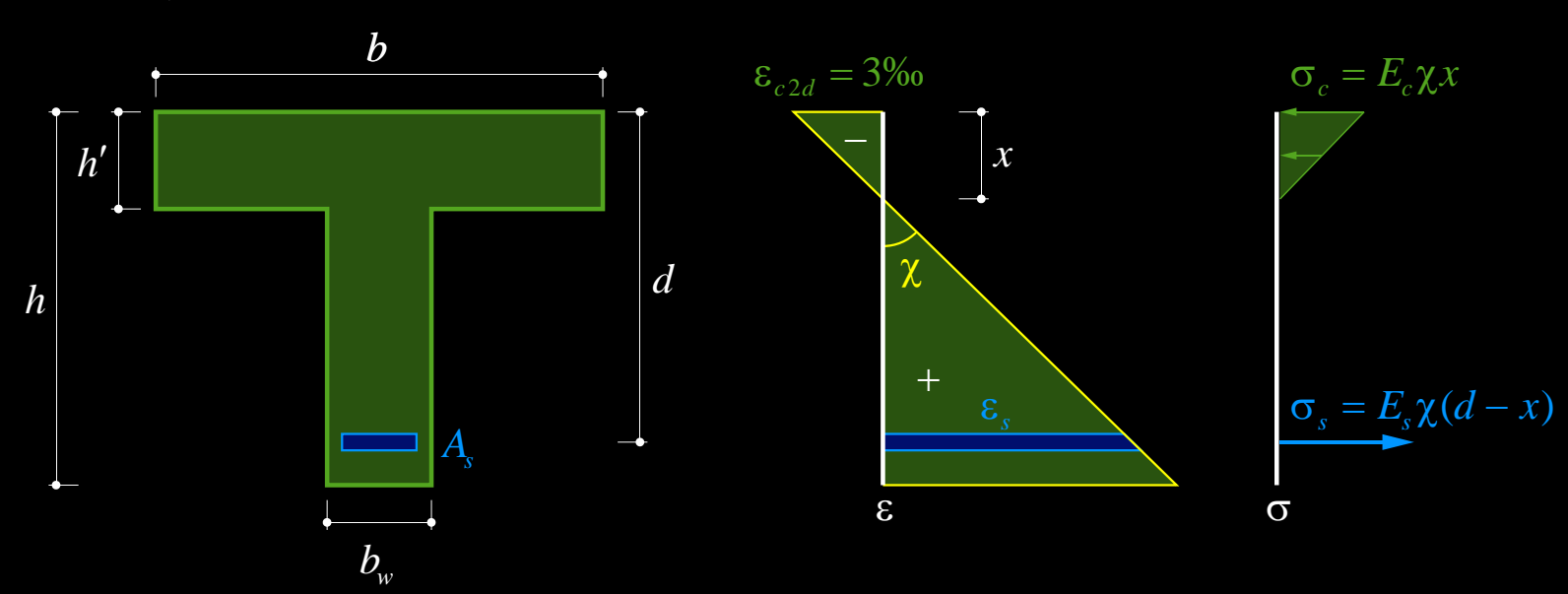
mit 
$$\left|\sigma_{cd}\right|_{\max} = \left|\Delta\sigma_{c}\left(G, Q_{fat}\right)\right|_{\max}$$
 $\left|\sigma_{cd}\right|_{\min} = \left|\Delta\sigma_{c}\left(G, Q_{fat}\right)\right|_{\min}$ 

#### Goodman-Diagramm



## Elastische Biegesteifigkeit – Plattenbalken

#### [1], Seite 2.24ff, **Plattenbalken**



Plattenbalken kommen in Praxis häufig vor (Unterzüge im Hochbau, Platte = Flansch):

- $\rightarrow$  Steg mit Breite  $b_w$  und Flansch mit Breite  $b > b_w$
- → <u>Zustand I</u>: analog Rechteckquerschnitt
- $\rightarrow$  Zustand II: für  $x \le h'$  analog Rechteckquerschnitt (Regelfall)
- → Zustand II: mit x > h': Formel für x und Ell siehe [1], 2.24

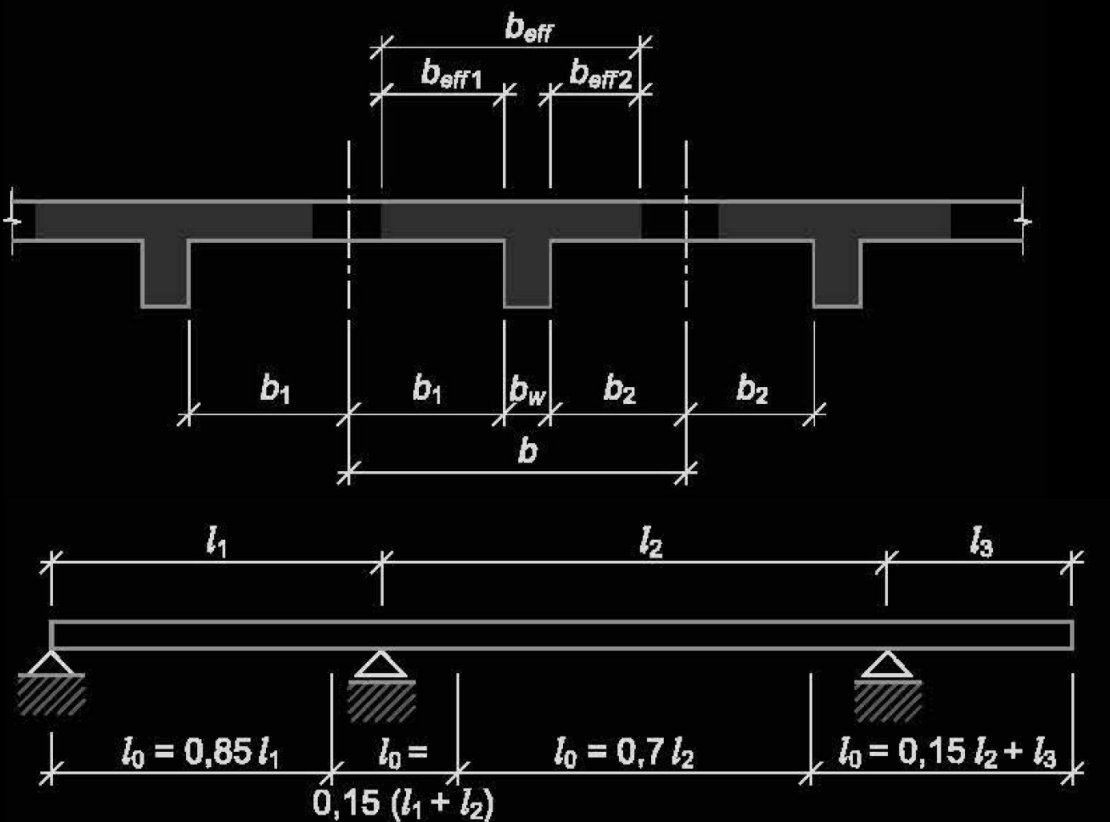
  (im Bruchzustand soll die Druckzone 0.85x ganz im Flansch liegen, siehe Biegewiderstand; Druckzone im Steg wird sonst aufgrund kleiner Breite schnell sehr gross, Hebelarm der inneren Kräfte nimmt ab → reduzierter Biege- und Querkraftwiderstand)

## Plattenbalken – Mitwirkende Breite

SIA 262, Ziff. 4.1.3.3.2 und 4.1.3.3.3

#### **Mitwirkende Plattenbreiten**

- → Vom Steg weiter entfernte Flanschbereiche entziehen sich der Mitwirkung («shear lag»)
- → Berücksichtigung durch Ansatz von mitwirkenden Plattenbreiten (Werte in Anlehnung an Elastizitätstheorie festgelegt):



$$\begin{aligned} b_{\textit{eff}} &= \sum b_{\textit{eff},i} + b_{\textit{w}} \leq b \\ b_{\textit{eff},i} &= 0.2b_{i} + 0.1l_{0} \leq 0.2l_{0} \end{aligned}$$

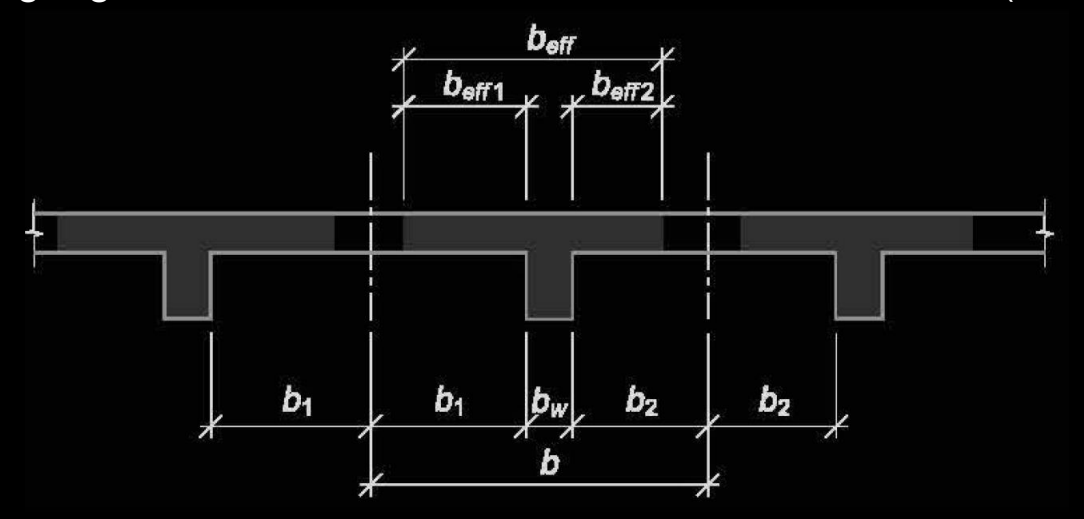
 $(l_0$ : Abstand der Momentennullpunkte)

## Plattenbalken – Mitwirkende Breite

SIA 262, Ziff. 4.1.3.3.2 und 4.1.3.3.3

#### **Mitwirkende Plattenbreiten**

- → Vom Steg weiter entfernte Flanschbereiche entziehen sich der Mitwirkung («shear lag»)
- → Berücksichtigung durch Ansatz von mitwirkenden Plattenbreiten (Werte in Anlehnung an Elastizitätstheorie festgelegt):



$$b_{eff} = \sum b_{eff,i} + b_{w} \le b$$

$$b_{eff,i} = 0.2b_{i} + 0.1l_{0} \le 0.2l_{0}$$

 $(l_0$ : Abstand der Momentennullpunkte)

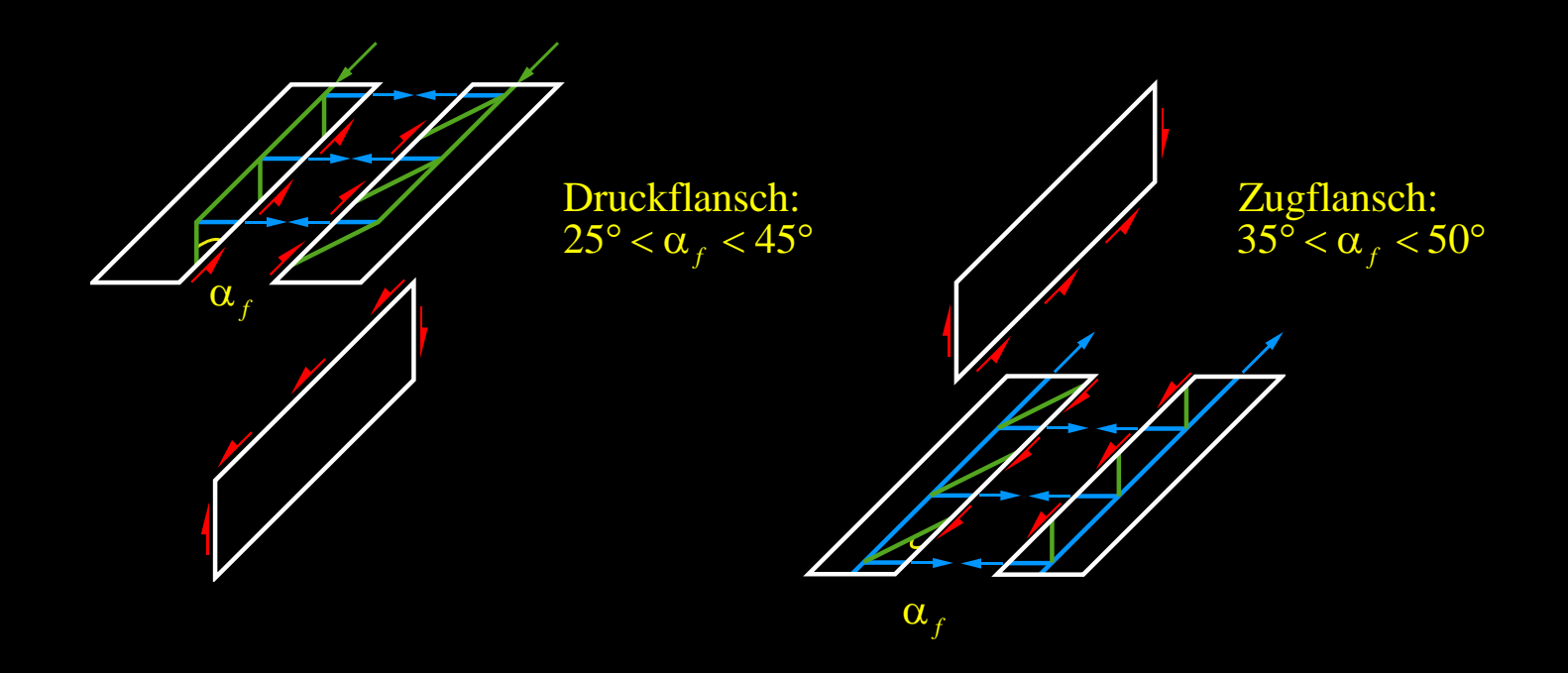
Anwendung mitwirkender Breiten nach SIA 262, Ziff. 4.1.3.3:

- → Festlegung der Steifigkeiten (Stabstatikprogramme), Berechnungen im Gebrauchszustand, insbesondere Durchbiegungen
- → Anhaltspunkt für im Grenzzustand der Tragsicherheit anzusetzende Plattenbreite (Breite nach unterem Grenzwertsatz grundsätzlich frei wählbar, Kraftausbreitung beachten)

## Plattenbalken – Schubanschluss der Flanschplatten

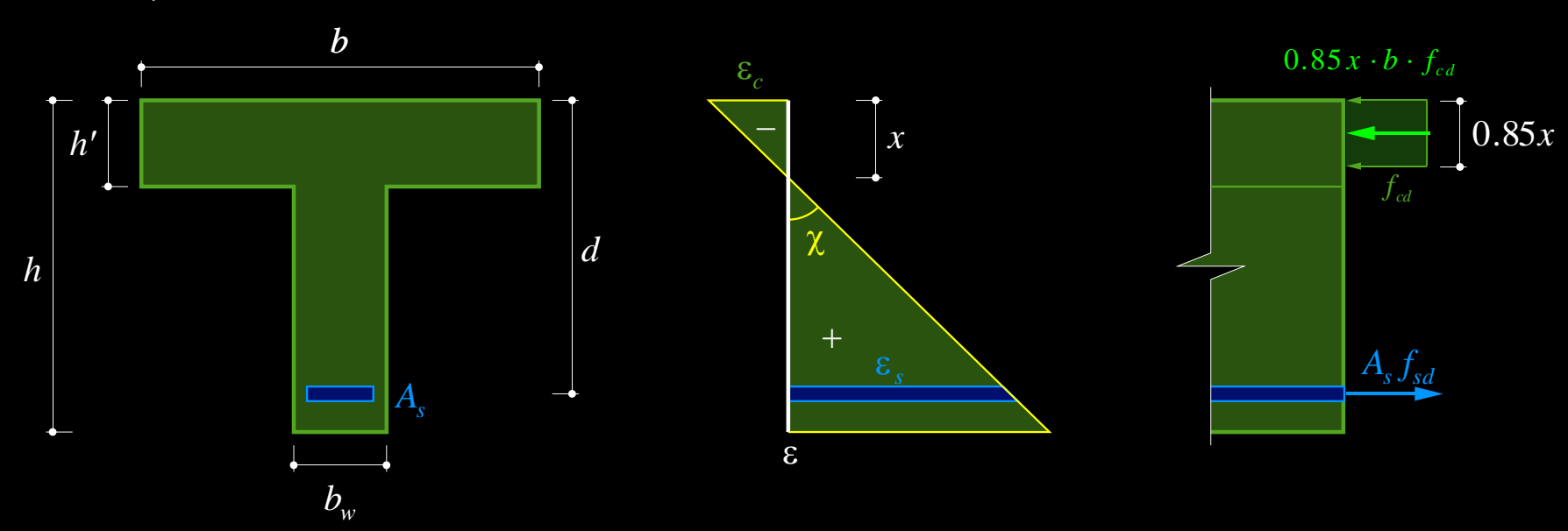
#### SIA 262, Ziff. 4.3.4.1 – Krafteinleitung in die Gurte (Schubanschluss)

- → Im Grenzzustand der Tragsicherheit ist der Schubanschluss der Flanschplatten an den Steg zu berücksichtigen
- → Einleitung von Zug-/Druckkräften in die Flansche (Gurte) erzeugt Schubkräfte im Übergang zwischen Steg und Flansch, sowie Querzug- und Druckkräfte in den Flanschen
- → Siehe Kapitel Fachwerkmodelle und SIA 262, 4.3.4.1



## Plattenbalken – Tragsicherheit

#### [1], Seite 2.24ff, Plattenbalken



#### **Biegewiderstand von Plattenbalkenquerschnitten:**

- → Für 0.85·x ≤ h' analog Rechteckquerschnitt (Regelfall), wobei der mechanische Bewehrungsgehalt ω auf die Flanschbreite zu beziehen ist
- → Die Biegedruckzone soll im Bruchzustand vollständig im Flansch liegen (Fall 0.85·x > h' vermeiden). Andernfalls kann der Schubwiderstand stark beeinträchtigt werden, da sich das Druckspannungsfeld (siehe Querkraft) nicht über die ganze Steghöhe ausbilden kann

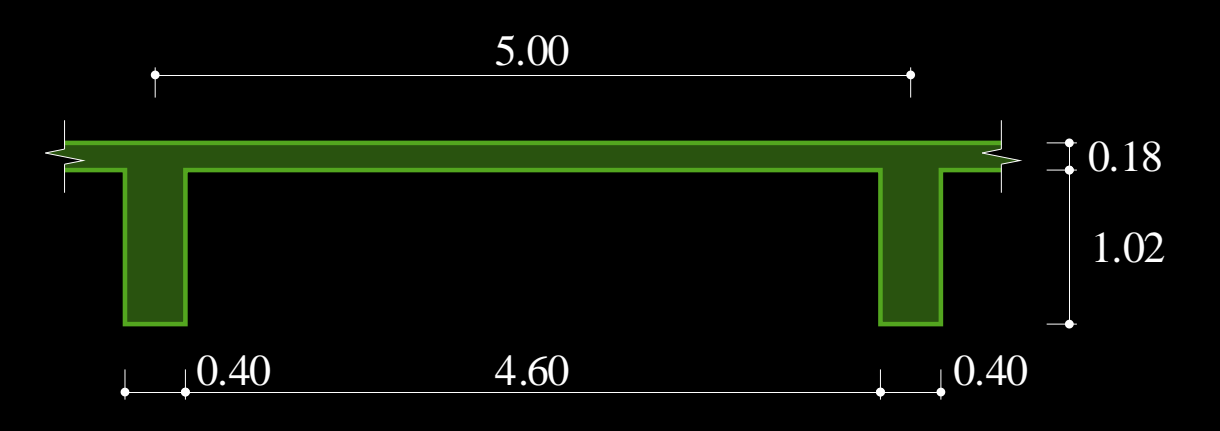
(relevant auch bei Hohlkastenträgern, insbesondere im Bereich von Zwischenauflagern bei Durchlaufträgern!)

#### Beispiel [1], Seite 2.26ff

Plattenbalken überspannt als einfacher Balken 16 m, zusätzlich zu Eigengewicht wirken eine Auflast von  $g_{a,k} = 1 \text{ kN/m}^2 \text{ und}$  eine Nutzlast von  $q_k = 3 \text{ kN/m}^2$ 

#### Geometrie

Abmessungen in [m]



#### **Baustoffe**

Beton C25/30  $\rightarrow f_{cd} = 16.5 \text{ MPa}$ 

Betonstahl B500B  $\rightarrow f_{sd} = 435 \text{ MPa}$ 

 $c_{nom} = 30 \text{ mm}$ 

#### <u>Einwirkungen</u>

Eigengewicht  $g_k$  mit  $\gamma_{Beton} = 25 \text{ kN/m}^3$ 

Auflast  $g_{a,k} = 1 \text{ kN/m}^2$ 

Nutzlast  $q_k = 3 \text{ kN/m}^2$ 

N.B.: typischen Schlankheiten:

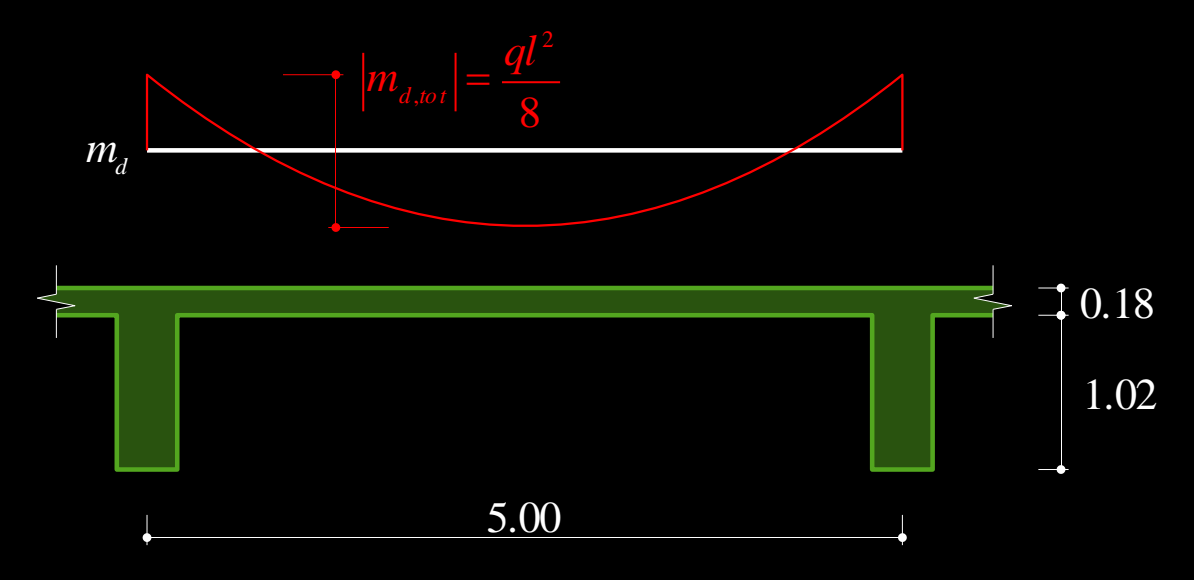
 $\rightarrow$  Platten  $h \ge 1/25$  (hier Querrichtung: 4.6/0.18...1/25.6)

→ Träger  $h \ge I/12$  (hier Längsrichtung: 16/1.2...I/13.3)

## Beispiel [1], Seite 2.26ff

Platte in Querrichtung (spannt als Durchlaufträger zwischen den Balken)

# Einwirkungen $g_{k} = 0.18 \cdot 25 = 4.5 \text{ kN/m}^{2}$ $g_{a,k} = 1 \text{ kN/m}^{2}$ $g_{d,Platte} + q_{d,Platte} = 1.35 \cdot (4.5 + 1) + 1.5 \cdot 3 = 11.9 \text{ kN/m}^{2}$ $\rightarrow |m_{d,tot}| = 11.9 \cdot 5.0^{2} / 8 = 37.2 \text{ kNm/m}$



#### Beispiel [1], Seite 2.26ff

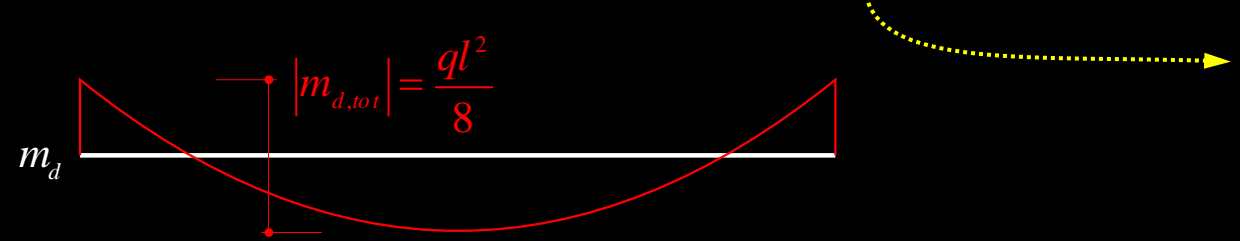
Platte in Querrichtung (spannt als Durchlaufträger zwischen den Balken)

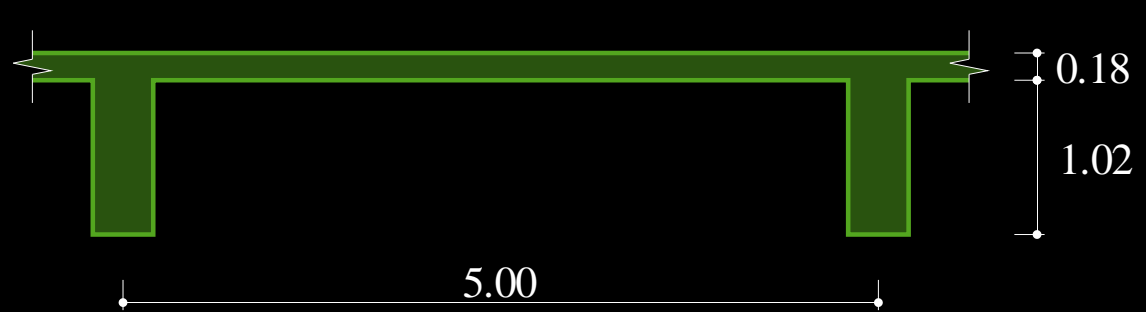
#### Widerstand

 $\rightarrow$  Wahl: Plattenbewehrung 4 Lagen Ø10/200, 1. und 4. Lage in Querrichtung,  $c_{nom}$  = 30 mm

$$m_{Rd}^{+} = a_s \cdot f_{sd} \cdot \left( d - \frac{a_s \cdot f_{sd}}{2 \cdot f_{cd}} \right) = 393 \cdot 435 \cdot \left( 145 - \frac{393 \cdot 435}{2 \cdot 1'000 \cdot 16.5} \right) = 23.9 \text{ kNm/m}$$

$$m_{Rd,erf}^- = |m_{d,tot}| - m_{Rd}^+ = 37.2 - 23.9 = 13.3 \text{kNm/m}$$





$$m_{Rd}^{-} = m_{Rd}^{+}$$
, aber:

Obere Querbewehrung muss neben neg. Moment auch Querzug aus Schubanschluss aufnehmen → Superposition der Kräfte ergibt erforderliche Bewehrung (siehe später)

## Beispiel [1], Seite 2.26ff

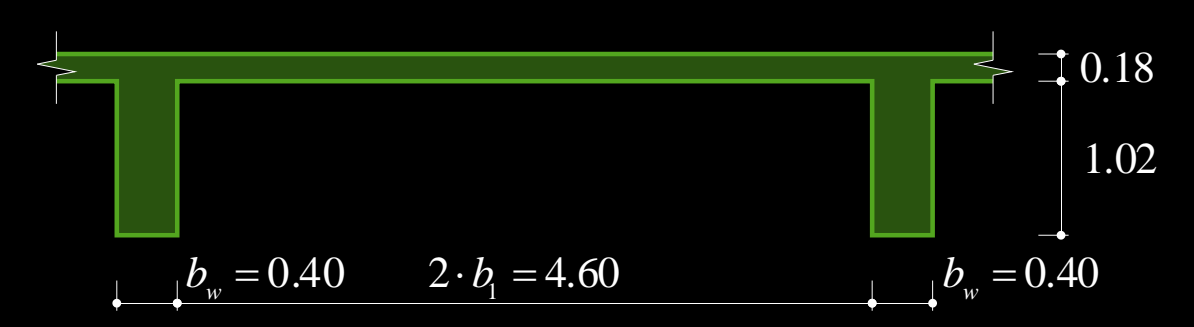
Plattenbalken in Längsrichtung - Einfacher Balken, I = 16 m

#### Einwirkungen

$$g_d + q_d = 5.00 \cdot (g_{d,Platte} + q_{d,Platte}) + 1.35 \cdot 0.4 \cdot 1.02 \cdot 25 = 73.4 \text{ kN/m}$$
  
 $\rightarrow M_d = 73.4 \cdot 16^2 / 8 = 2'349 \text{ kNm}$   
 $(\rightarrow V_d = 73.4 \cdot 16 / 2 = 587 \text{ kN})$ 

#### Mitwirkende Plattenbreite

$$b_{eff,1} = b_{eff,2} = 0.2b_1 + 0.1l_0 = 0.2 \cdot 2.3 + 0.1 \cdot 16 = 2.06 \,\mathrm{m}$$
$$b_{eff} = \sum_{eff,i} b_{eff,i} + b_{w} = 2 \cdot 2.06 + 0.4 = 4.52 \,\mathrm{m} (< b = 5.00 \,\mathrm{m})$$



#### Beispiel [1], Seite 2.26ff

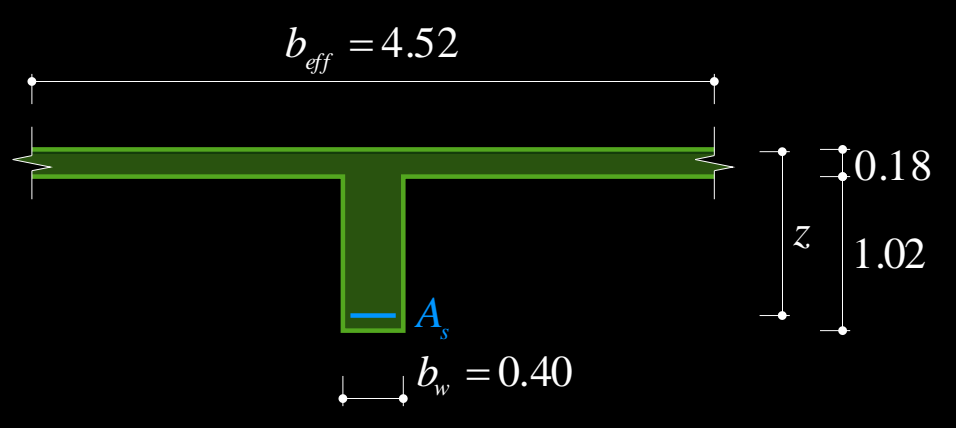
Plattenbalken in Längsrichtung - Einfacher Balken, I = 16 m

#### Abschätzung der erforderlichen Längsbewehrung

 $d \approx 1'100 \text{ mm}$  (Annahme: 2 Lagen Längsbewehrung)

 $z \approx 0.95 \cdot d \approx 1'050 \text{ mm}$  (0.95 anstatt 0.9 da bei Plattenbalken viel breitere Druckzone)

$$A_{s,erf} = \frac{M_d}{z \cdot f_{sd}} = \frac{2'349 \cdot 10^6}{1'050 \cdot 435} = 5'140 \,\text{mm}^2 \rightarrow 70/30 \triangleq 4'950 \,\text{mm}^2$$



#### Beispiel [1], Seite 2.26ff

Plattenbalken in Längsrichtung - Einfacher Balken, I = 16 m

Effektiver Biegewiderstand (Nachweis Biegetragsicherheit)

$$d = 1'200 - \frac{5 \cdot 55 + 2 \cdot 115}{7} = 1'128 \text{ mm}$$

$$M_{Rd} = A_s f_{sd} \left( d \frac{A_s f_{sd}}{2b_{eff} f_{cd}} \right) = 4'950 \cdot 435 \cdot \left( 1'128 - \frac{4'950 \cdot 435}{2 \cdot 4'520 \cdot 16.5} \right) = 2'398 \text{ kNm} \ge M_d = 2'349 \text{ kNm}$$

$$b_{eff} = 4.52$$

$$0.85 \times 2$$

$$A_s = 4'950 \text{ mm}^2 (7 \otimes 30)$$

$$A_s = 4'950 \text{ mm}^2 (7 \otimes 30)$$

$$30 + 10 + 30 / 2 = 55 \text{ mm}$$

Beispiel [1], Seite 2.26ff

Plattenbalken in Längsrichtung - Einfacher Balken, I = 16 m

#### Weitere erforderliche Nachweise (siehe später)

- Querkrafttragsicherheit der Platte (SIA 262, Ziff. 4.3.3.2)
- Querkrafttragsicherheit des Plattenbalkens (mittels Spannungsfeld, SIA 262, Ziff. 4.3.3.3)
- Schubanschluss Krafteinleitung in die Gurte (SIA 262, Ziff. 4.3.4.1)

Beispiel [1], Seite 2.31ff

Durchbiegung des behandelten Plattenbalkens

#### Gerissene Steifigkeit kurzfristig

Annahme: x < h', nur Hauptbewehrung 7Ø30 berücksichtigt

$$\rho = \frac{A_s}{b_{eff} \cdot d} = \frac{4'950}{4'520 \cdot 1'128} = 0.097 \%$$

$$E_c = 32 \text{ GPa}, E_s = 205 \text{ GPa} \rightarrow \rho n = 0.0062$$

$$\rightarrow x = 119.0 \text{ mm} < h' = 180 \text{ mm} \qquad \rightarrow EI^{II} = 1'115 \text{ MNm}^2$$

## Gerissene Steifigkeit langfristig

Annahme: x > h', nur Hauptbewehrung 7Ø30 berücksichtigt

$$\varphi = 2 \rightarrow E_c = 10.7 \text{ GPa}, \ n = \frac{205 \cdot 3}{32} = 19.2$$

$$\rightarrow x = 198.6 \text{ mm} > h' = 180 \text{ mm} \qquad \rightarrow EI_a^{II} = 1'002 \text{ MNm}^2$$

Bei der Berücksichtigung des Einflusses des Kriechens hat die Druckbewehrung einen positiven Einfluss. Mit einer entsprechenden Bewehrung können die Langzeitverformungen etwas reduziert werden. Bei Verwendung von Ø10/150 im Flansch:

$$\rightarrow EI_a^{II} = 1'014 \text{ MNm}^2$$

Beispiel [1], Seite 2.31ff

#### **Durchbiegung des behandelten Plattenbalkens**

## <u>Durchbiegungen kurzfristig infolge veränderlicher Lasten</u>

$$q_k = 5.3 = 15 \text{ kN/m}$$

$$w_q = \frac{5q_k l^4}{384EI^{II}} = \frac{5.15.16'000^4}{384.1'115.10^{12}} = 11.5 \,\text{mm}$$

#### <u>Durchbiegung langfristig infolge ständiger Lasten</u>

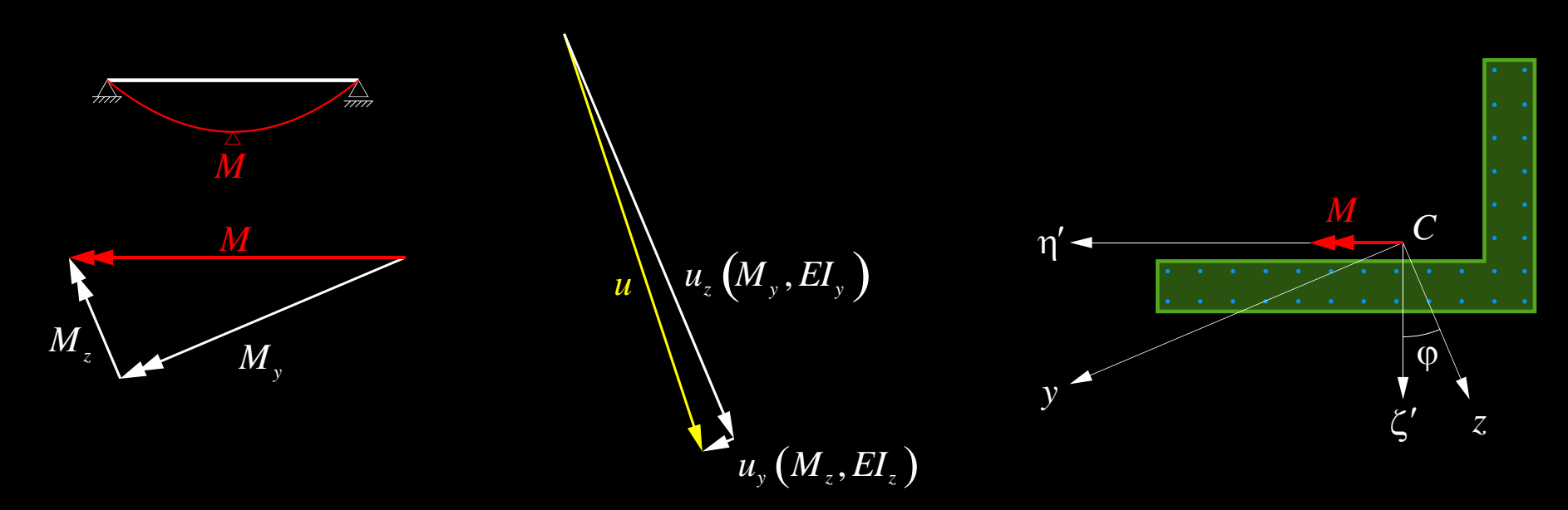
$$g_k = 5.5.5 + 0.4.1.02.25 = 37.7 \text{ kN/m}$$

$$w_g = \frac{5g_k l^4}{384EI_a^{II}} = \frac{5 \cdot 37.7 \cdot 16'000^4}{384 \cdot 1'000 \cdot 10^{12}} = 32.1 \text{ mm}$$

## Biegung allgemeiner Querschnitte – Allgemeines

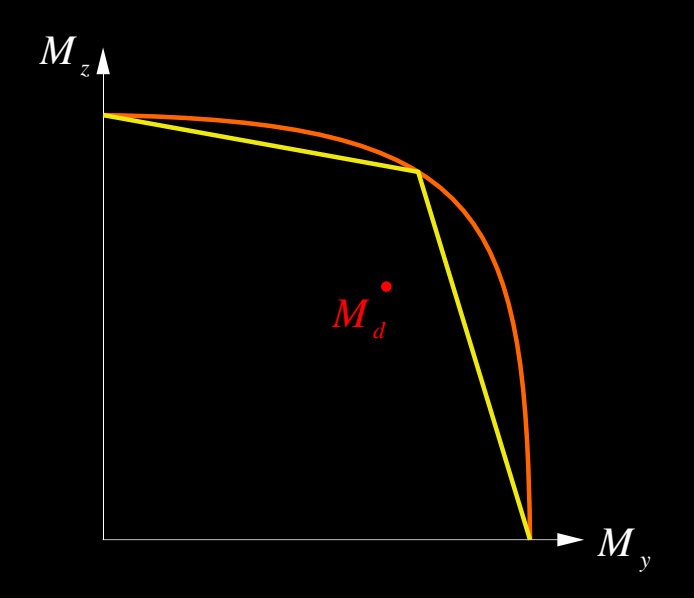
#### Verallgemeinerung auf allgemeine, unsymmetrische Querschnitte

- Überlegungen lassen sich ohne weiteres auf allgemeine Querschnitte übertragen.
- Ermittlung des Trag- und Verformungsverhaltens analog wie für Rechteckquerschnitte, in der Praxis mit Querschnittsprogrammen
- Im allgemeinen Fall resultiert schiefe Biegung
- Die statische Berechnung erfolgt in der Regel mit den Hauptachsen des Betonquerschnitts (ev. ideeller Querschnitt)
- Beispiel: Vorfabrizierte Balkonplatte mit Brüstung (einfacher Balken unter vertikaler Last = Eigengewicht und Nutzlasten), verformt sich nicht vertikal nach unten, sondern auch in Querrichtung:



#### Tragsicherheitsnachweis bei allgemeiner Biegebeanspruchung und allgemeinen Querschnitten

- Grundsätzlich kann der Biegewiderstand für eine beliebige Richtung des Momentenvektors analog wie für einfache Biegung ermittelt werden
- Tragsicherheitsnachweis erfolgt zweckmässigerweise mit  $M_v$ - $M_z$ -Interaktionsdiagrammen
- Querschnittsprogramme → genaues Interaktionsdiagramm (Fliesskurve in M<sub>v</sub>-M<sub>z</sub>-Ebene)
- Berechnung von Hand: einzelne einfach zu bestimmende Punkte berechnen, linear verbinden → unterer Grenzwert der Tragsicherheit für konvexe Fliessbedingung



 $M_{Rd}$ : effektive Fliessfigur  $Y(M_v, M_v) = 0$ , konvex

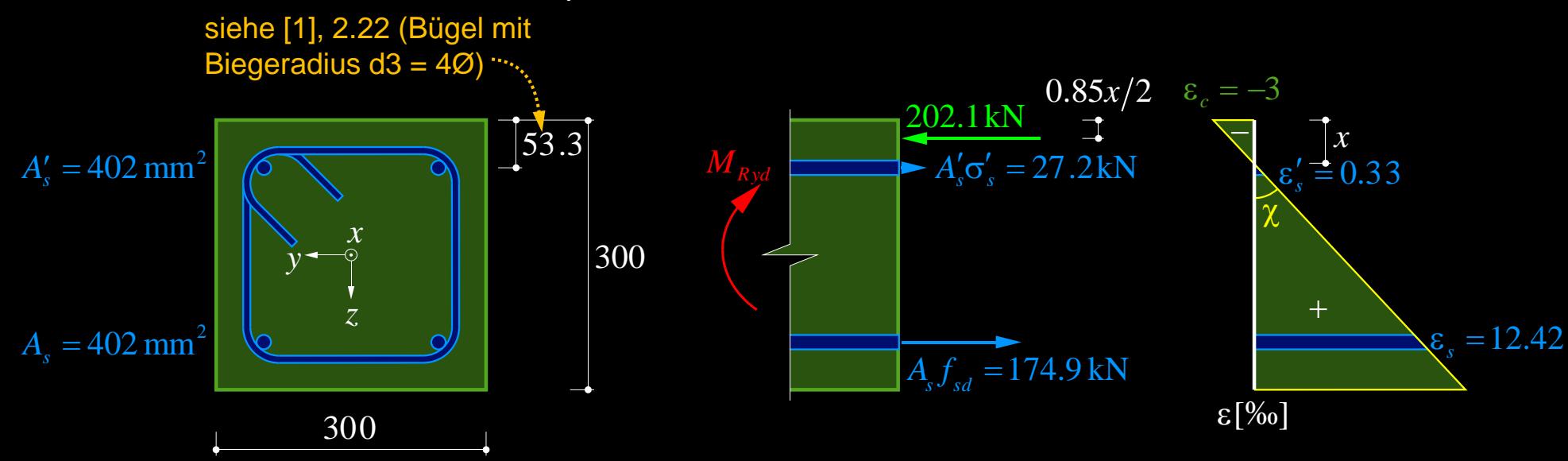
Näherung für  $M_{Rd}$  (einzelne Punkte, linear verbunden = unterer Grenzwert)

Nachweis:

 $M_d(M_{yd}, M_{zd}) < M_{Rd}$ 

#### Beispiel Interaktionsdiagramm, [1], Seite 2.22

- → Quadratquerschnitt, Beton C25/30, Bügel Ø8/100, Längsbewehrung 4Ø16
- $\rightarrow$  Einachsige Biegung um Hauptachsen ( $M_{Ryd} = M_{Rzd}$ ):

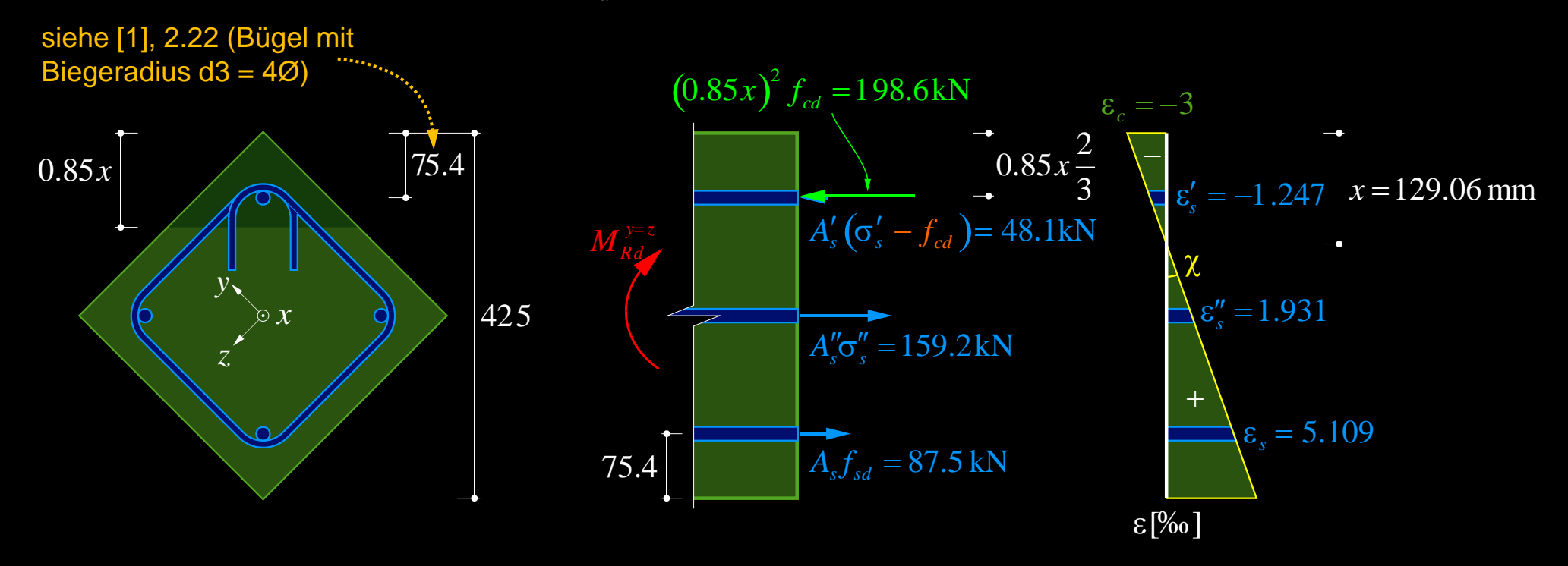


$$\sum N = 0: 0.85x \cdot 300 \cdot 16.5 - \frac{53.3 - x}{x} \cdot 0.003 \cdot 205'000 \cdot A'_{s} = 435 \cdot A_{s} \rightarrow x = 48 \text{ mm}$$

$$\rightarrow M_{Ryd} = M_{Rzd} = 174.9 \cdot (300 - 53.3) + 27.2 \cdot 53.3 - 202.1 \cdot \frac{0.85 \cdot 48}{2} = 40.5 \text{ kNm}$$

## Beispiel Interaktionsdiagramm, [1], Seite 2.22

 $\rightarrow$  Schiefe Biegung um 45°  $(M_{v,Rd} = M_{z,Rd}) \rightarrow M_{Rd}^{y=z} = 46.2 \,\mathrm{kNm}$ 



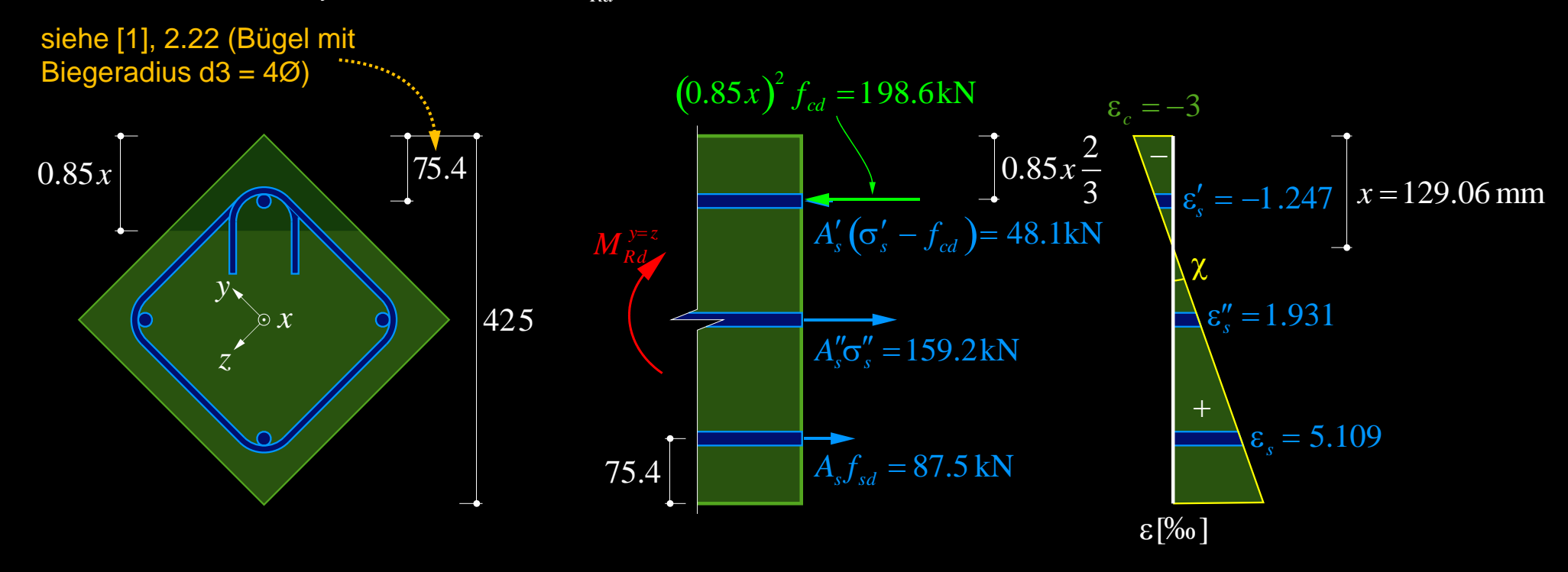
$$\sum N = 0: \quad \frac{\left(0.85x\sqrt{2}\right)^2}{2} \cdot 16.5 + 8^2\pi \cdot \left\{0.003 \cdot \frac{x - 75.4}{x} \cdot 205'000 - 16.5\right\} = 8^2\pi \left[435 + 2 \cdot 0.003 \cdot \frac{150\sqrt{2} - x}{x} \cdot 205'000\right] \quad \frac{A_s \cdot E_s \cdot \varepsilon_s}{\text{Betonkraft ohne Abzug}} \cdot 16.5 + 8^2\pi \cdot \left\{0.003 \cdot \frac{x - 75.4}{x} \cdot 205'000 - 16.5\right\} = 8^2\pi \left[435 + 2 \cdot 0.003 \cdot \frac{150\sqrt{2} - x}{x} \cdot 205'000\right] \quad \frac{A_s \cdot E_s \cdot \varepsilon_s}{\text{Betonkraft ohne Abzug}} \cdot 16.5 + 8^2\pi \cdot \left\{0.003 \cdot \frac{x - 75.4}{x} \cdot 205'000 - 16.5\right\} = 8^2\pi \left[435 + 2 \cdot 0.003 \cdot \frac{150\sqrt{2} - x}{x} \cdot 205'000\right] \quad \frac{A_s \cdot E_s \cdot \varepsilon_s}{\text{Betonkraft ohne Abzug}} \cdot 16.5 + 8^2\pi \cdot \left\{0.003 \cdot \frac{x - 75.4}{x} \cdot 205'000 - 16.5\right\} = 8^2\pi \left[435 + 2 \cdot 0.003 \cdot \frac{150\sqrt{2} - x}{x} \cdot 205'000\right] \quad \frac{A_s \cdot E_s \cdot \varepsilon_s}{\text{Betonkraft ohne Abzug}} \cdot 16.5 + 8^2\pi \cdot \left\{0.003 \cdot \frac{x - 75.4}{x} \cdot 205'000 - 16.5\right\} = 8^2\pi \left[435 + 2 \cdot 0.003 \cdot \frac{150\sqrt{2} - x}{x} \cdot 205'000\right] \quad \frac{A_s \cdot E_s \cdot \varepsilon_s}{\text{Betonkraft ohne Abzug}} \cdot 16.5 + 8^2\pi \cdot \left\{0.003 \cdot \frac{x - 75.4}{x} \cdot 205'000 - 16.5\right\} = 8^2\pi \left[435 + 2 \cdot 0.003 \cdot \frac{150\sqrt{2} - x}{x} \cdot 205'000\right] \quad \frac{A_s \cdot E_s \cdot \varepsilon_s}{\text{Betonkraft ohne Abzug}} \cdot 16.5 + 8^2\pi \cdot \left\{0.003 \cdot \frac{x - 75.4}{x} \cdot 205'000 - 16.5\right\} = 8^2\pi \left[435 + 2 \cdot 0.003 \cdot \frac{150\sqrt{2} - x}{x} \cdot 205'000\right] \quad \frac{A_s \cdot E_s \cdot \varepsilon_s}{\text{Betonkraft ohne Abzug}} \cdot 16.5 + 8^2\pi \cdot \left\{0.003 \cdot \frac{x - 75.4}{x} \cdot 205'000 - 16.5\right\} = 8^2\pi \left[435 + 2 \cdot 0.003 \cdot \frac{150\sqrt{2} - x}{x} \cdot 205'000\right] \quad \frac{A_s \cdot E_s \cdot \varepsilon_s}{\text{Betonkraft ohne Abzug}} \cdot 16.5 + 8^2\pi \cdot \left\{0.003 \cdot \frac{x - 75.4}{x} \cdot 205'000 - 16.5\right\} = 8^2\pi \left[435 + 2 \cdot 0.003 \cdot \frac{150\sqrt{2} - x}{x} \cdot 205'000\right] \quad \frac{A_s \cdot E_s \cdot \varepsilon_s}{\text{Betonkraft ohne Abzug}} \cdot 16.5 + 8^2\pi \cdot \left\{0.003 \cdot \frac{x - 75.4}{x} \cdot 205'000 - 16.5\right\} = 8^2\pi \cdot \left[0.003 \cdot \frac{x - 75.4}{x} \cdot 205'000 - 16.5\right] \cdot 16.5 + 8^2\pi \cdot \left[0.003 \cdot \frac{x - 75.4}{x} \cdot 205'000 - 16.5\right] \cdot 16.5 + 8^2\pi \cdot \left[0.003 \cdot \frac{x - 75.4}{x} \cdot 205'000 - 16.5\right] \cdot 16.5 + 8^2\pi \cdot \left[0.003 \cdot \frac{x - 75.4}{x} \cdot 205'000 - 16.5\right] \cdot 16.5 + 8^2\pi \cdot \left[0.003 \cdot \frac{x - 75.4}{x} \cdot 205'000 - 16.5\right] \cdot 16.5 + 8^2\pi \cdot \left[0.003 \cdot \frac{x - 75.4}{x} \cdot 205'000 - 16.5\right] \cdot 16.5 + 8^2\pi \cdot \left[0.003 \cdot \frac{x - 75.4}{x} \cdot 205'000 - 16.5\right] \cdot 16.5 + 8^2\pi \cdot \left[0.003 \cdot \frac{x - 75.4}{x} \cdot 205'000 - 16.5\right] \cdot$$

NB: Bewehrungskräfte: von A<sub>s</sub> gerechnet wurde)

 $\rightarrow x = 129.1 \text{mm}$ 

## Beispiel Interaktionsdiagramm, [1], Seite 2.22

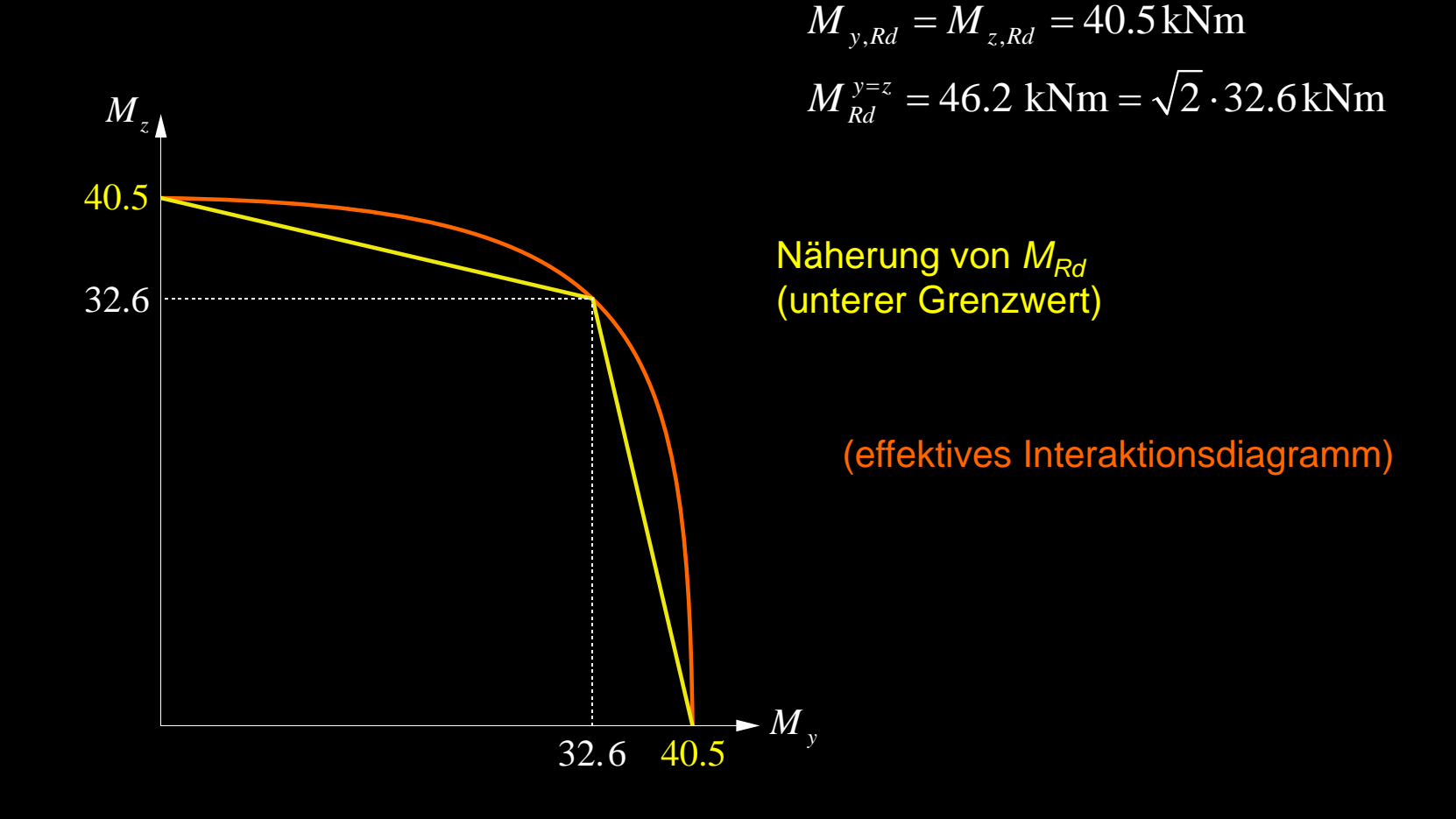
 $\rightarrow$  Schiefe Biegung um 45° ( $M_{y,Rd} = M_{z,Rd}$ )  $\rightarrow M_{Rd}^{y=z} = 46.2 \,\mathrm{kNm}$ 



$$\rightarrow M_{Rd}^{y=z} = 87.5 \cdot (300\sqrt{2} - 75.4) + 159.2 \cdot 150\sqrt{2} - 48.175.4 - 198.6 \cdot 0.85 \cdot 129.06 \cdot \frac{2}{3} = 46.2 \text{ kNm}$$

NB: Für Handrechnung ist starr-ideal plastische Idealisierung (leicht auf unsicherer Seite) wesentlich einfacher, siehe [1] Seite 2.23

Beispiel Interaktionsdiagramm, [1], Seite 2.22



## Biegung – Zusammenfassung (1)

- 1. Das Verhalten von Stahlbetonbauteilen unter Biegebeanspruchung wird durch Momenten-Krümmungsdiagramme beschrieben. Wie unter Zugbeanspruchung unterscheidet man «Zustand I» (ungerissen elastisch), «Zustand II» (gerissen, Bewehrung fliesst).
- 2. Das Verhalten im Zustand I kann mit ideellen Querschnittswerten ( $n=E_s/E_c$ ,  $\sigma_s=n\sigma_c$ ) untersucht werden. Meist ist die Betrachtung reiner Betonquerschnitte ausreichend.
- 3. Das Verhalten im Zustand II kann für linear elastisches Verhalten der Bewehrung und des Betons (auf Druck) gut erfasst werden. Die Berücksichtigung des Kriechens und des nichtlinearen Verhaltens des Betons kann durch Anpassung der Wertigkeit *n* erfolgen.
- 4. Der Bruchwiderstand (Zustand III) kann unter Voraussetzung eines ideal plastischen Verhaltens von Bewehrung und Beton ermittelt werden. Die Krümmungen werden durch die Fliessdehnung der Bewehrung (in der Zugzone) und die Bruchstauchung des Betons (in der Druckzone) begrenzt.
- 5. Die Bewehrungsgehalte sind nach unten resp. oben wie folgt zu begrenzen:
  - $\rightarrow \rho_{min}$  so, dass Bewehrung bei Rissbildung elastisch bleibt (kein Sprödbruch)
  - → p<sub>max</sub> so, dass Bewehrung fliesst, bevor Beton die Bruchstauchung erreicht (Duktilität)
- 6. Plattenbalken können analog wie Rechteckquerschnitte behandelt werden; zu beachten sind die mitwirkende Plattenbreite und der Schubanschluss. Zudem soll die Druckzone im Bruchzustand möglichst nicht in den Steg reichen.

# Biegung – Zusammenfassung (2)

- 7. Durchbiegungen können anhand des Verhaltens in Zustand I und Zustand II abgeschätzt werden, unter Berücksichtigung des Kriechens mittels abgemindertem E-Modul. Für verfeinerte Untersuchungen können gerissene und ungerissene Bereiche unterschieden werden (Rissbildung unter Nutzlasten beachten, Querschnitt bleibt danach auch für ständige Lasten gerissen), und die Zugversteifung kann mit dem Zuggurtmodell berücksichtigt werden.
- 8. Bei Bedarf können Rissabstände und Rissbreiten mit dem Zuggurtmodell abgeschätzt werden (äquivalenter Bewehrungsgehalt der Zugzone).
- 9. Das Verhalten beliebiger Querschnitte unter allgemeiner Beanspruchung kann mit Querschnittsprogrammen untersucht werden (Tabellenwerke sind nicht mehr zeitgemäss).
- 10. Plastische Schnittkraftumlagerungen sind unter Beachtung der Begrenzung x/d < 0.35 ohne Nachweis des Verformungsvermögens (→ Vorlesung «Advanced Structural Concrete») zulässig.
- 11. Ermüdungsnachweise erfolgen auf Basis der Spannungen in Beton und Bewehrung im Zustand II (bei ungerissenen Querschnitten nicht massgebend).
- 12. Empfohlenes Vorgehen in der Praxis:
  - → Tragsystem, Abmessungen und Baustoffe festlegen
  - → Überschlägige Bemessung (in Richtung des Kraftflusses)
  - → Konstruktive Details und Bauvorgang (in umgekehrter Richtung)
  - → Kontrolle, definitive Bemessung (in Richtung des Kraftflusses)
  - → Zusammenstellung getroffener Annahmen und offener Punkte für Weiterbearbeitung